



**COMUNE DI  
LUOGOSANTO**



**REGIONE AUTONOMA  
DELLA SARDEGNA**



**COMUNE DI  
AGLIENTU**

**PROGETTO PER LA REALIZZAZIONE E  
L'ESERCIZIO DI UN IMPIANTO DI  
PRODUZIONE DI ENERGIA ELETTRICA DA  
FONTE EOLICA DENOMINATO "PARCO  
EOLICO LUOGOSANTO", DELLA POTENZA DI  
95.2 MW, LOCALIZZATO NEL COMUNE DI  
LUOGOSANTO, E DELLE SOLE OPERE ED  
INFRASTRUTTURE CONNESSE PER IL  
COLLEGAMENTO IN ANTENNA 36 KV CON  
UNA NUOVA STAZIONE ELETTRICA (SE)  
DELLA RTN A 150 KV/36KV DA INSERIRE IN  
ENTRA-ESCE ALLA LINEA RTN A 150 KV  
"AGLIENTU-S. TERESA", SITA NEL COMUNE DI  
AGLIENTU.**

## PROPONENTE

**MYT EOLO 1 S.R.L.**  
Via Vecchia Ferriera 22  
36100 Vicenza (VI)  
P.IVA 04436470241  
REGISTRO IMPRESE VI-397007

## PROGETTISTI

**ING. CARLO PERUZZI**  
Via Pallone 6  
37121 Verona (VR)  
P.IVA 03555350234  
PEC carlo.peruzzi@ingpec.eu

**DR.SSA GEOL.NICOLETTA TOFFALETTI**  
viale G. Marconi 20  
37042 Caldiero (VR)  
P.IVA: 03016450235  
PEC: geonito@pec.epap.it

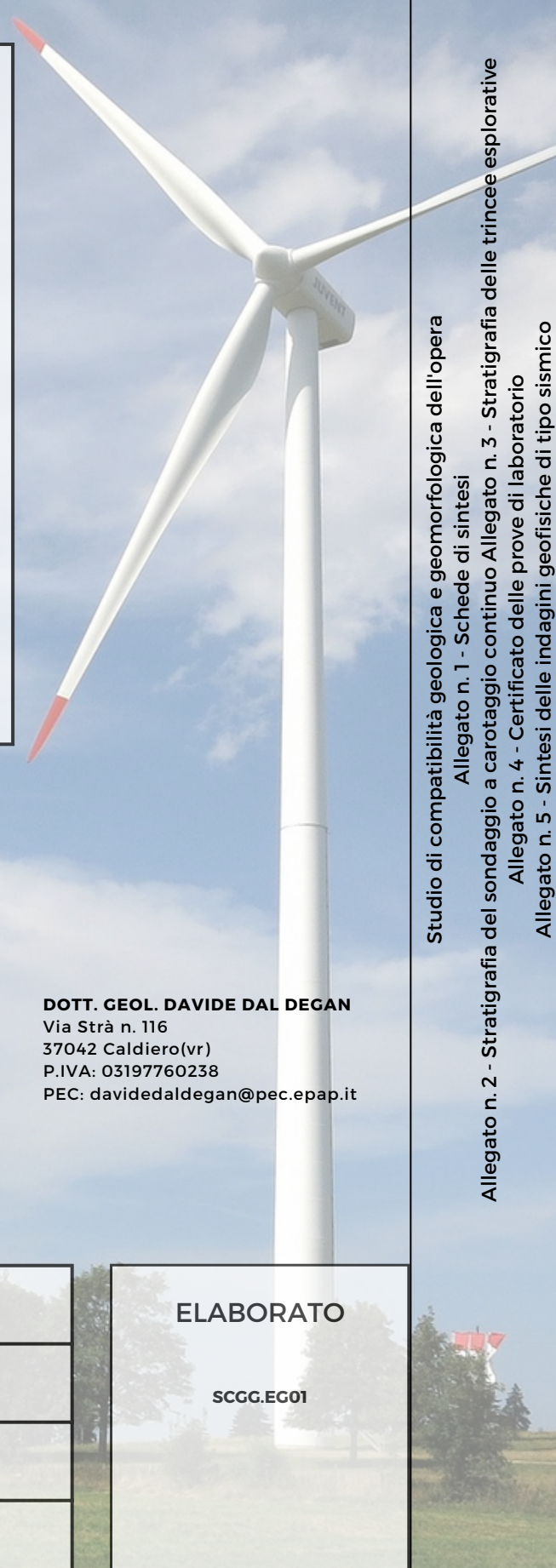
**DOTT. GEOL. DAVIDE DAL DEGAN**  
Via Strà n. 116  
37042 Caldiero(vr)  
P.IVA: 03197760238  
PEC: davidedaldegan@pec.epap.it

**RENX ITALIA S.R.L.**  
Via Vecchia Ferriera 22  
36100 Vicenza (VI)  
P.IVA 04339940241  
PEC: renx-italia@pec.it



DATA	REVISIONE

ELABORATO
SCGG.EG01



**Studio di compatibilità geologica e geomorfologica dell'opera**  
 Allegato n. 1 - Schede di sintesi  
 Allegato n. 2 - Stratigrafia del sondaggio a carotaggio continuo Allegato n. 3 - Stratigrafia delle trincee esplorative  
 Allegato n. 4 - Certificato delle prove di laboratorio  
 Allegato n. 5 - Sintesi delle indagini geofisiche di tipo sismico



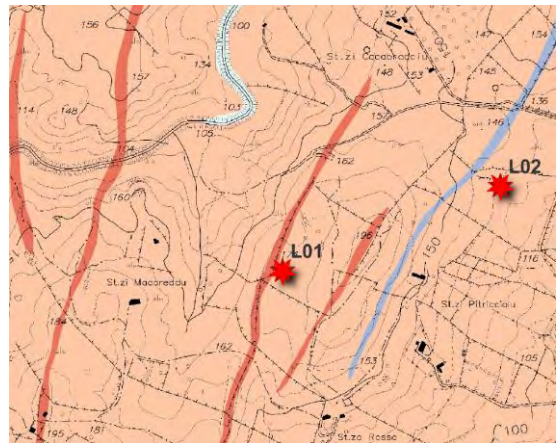
3\$5&2(2/, &2/82\*26\$172

6&+('\$	7255( (2/, &/\$B
/2&\$/,7\$¶	7UD 6W ]L 0DFDUHGGX H 6W ]L
'\$7\$ '(// ( ,1'\$*,1,	/XJOLR

326,=,21(	/DWLWXGLQH :	
	/RQJLWXGLQH	
	4XRWD V O P	\$ P V O P

/,72/2*, \$ GDHVRQL VXSHU	'LVIDFLPHQWR GHO JUDQLWR H JUDQLWR
&21',=,21, *(2025)2/2*, &+	9HUVDQWH RFFLGHQWDOH GL XQD GRUVD
9(187( '¶\$&48\$	3RWHQ]LDORHQWH D
3(5, &2/26,7\$¶ 0(2)2/2*, &\$	\$VVHQWH YLJHQWH 3\$, +J DUHD VWXGLRQ VSRWDQH SURSRVWD
3(5, &2/26,7\$¶ ,5\$8/, &\$	\$VVHQWLHHQWH 3\$,

8%, &\$=, 21( (/ \$ 7255(68 )272 \$(5(	(675\$772 &\$57, \$2/2*, &\$
--	------------------------------



&\$5\$77(5,67, &+( *(2/2*, &+( 35(6	/(*(1'\$ &\$57\$ /,72/2*, &\$
-------------------------------------	-------------------------------

3URIRQGLWGH)OXGB G¶DFT 3RWHQ]LDOPHQWH YHVHQQP		'HSRVLWL WHUULJHC FRQRLGH H SLDQD
6WUDWR DUHQL]JDWR GL V\$ VX VXEVDWURDQR WRLLRGR D VXEDIILRUDQWH		)LORQL H DPPDVV )LORQL H DPPDVV
&\$5\$77(5,67, &+( 6,60, &+( 35(6		
&DWHJRULD GL 6RWWXR &DWHJRULD WR\$RJDILF		

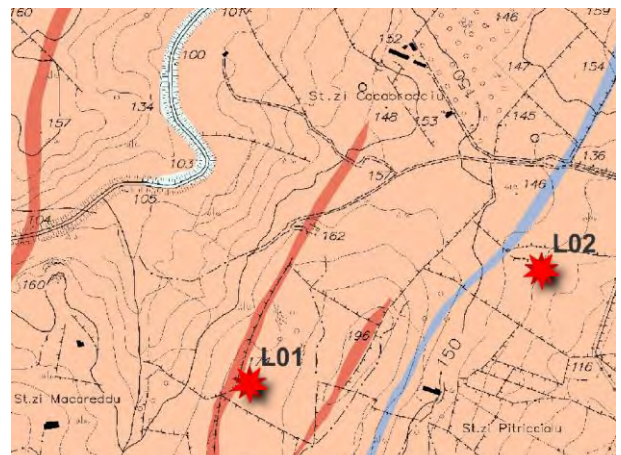
3\$5&2(2/, &2/82\*26\$172

6&+('\$	7255( (2/, &/\$
/2&\$/,7\$↑	6W ]L 3LWULFFLROX
'\$7\$ '(/( ( ,1'\$*,1,	/XJOLR

326,=,21(	/DWLWXGLQH :	
	/RQJLWXGLQH	
	4XRWD V O P	\$ P V O P

/,72/2*, \$ GD ULOLHYR GL	'LWDFLPHQWR GHO JUDQLWR H JUDQLWR
&21',=,21, *(2025)2/2*, &+	9HUVD <del>CHV</del> BOH GL XQD GRUVD OH GLUHWV
9(187( '↑\$&48\$	3RWHQJLDOPHQWH SUHVHQWL
3(5, &2/26,7\$↑ *(2025)2/2*	\$VVHQWH YLJHQWH 3\$, +J DUHD VWXGLDWD <del>QROHV</del> SJUR SR \$ W GU
3(5, &2/26,7\$↑ ,5\$8/, &\$	\$VVHQWH YLJHQWH 3\$,

8%, &\$=, 2'(/(\$ 7255(68 )272 \$(5(	(675\$772 &\$57,\$2/2*, &\$
--------------------------------------	-----------------------------



&\$5\$77(5,67, &+( *(2/2*, &+( 35(6	/(*(1'\$ &\$57\$ /,72/2*, &\$
-------------------------------------	-------------------------------

3URIRQGLWj )DOGD 9HQX 3RWH <del>QOP</del> <del>SQW</del> VHQWL GD YH		'HSRVLWL WHUULJHC FRQRLGH H SLDQD
6WUDWR DUHQJ]DWR GL VS VX VXEVWUDWR URFFLRVR JU VXEDIILRUDQWH		)LORQL H DPPDVV )LORQL H DPPDVV
&\$5\$77(5,67, &+( 6,60, &+( 35(6		
&DWHJRULD GL 6RWWXR &DWHJRULD WR\$R JUDILF		

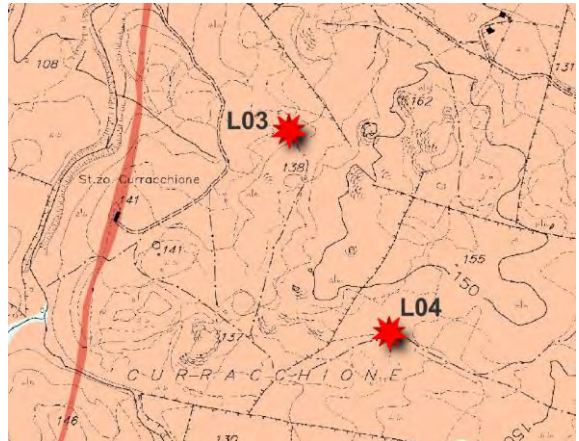
3\$5&2(2/, &2/82\*26\$172

6 & + ('\$	7 2 5 5 ( ( 2 / , & \$ B
/ 2 & \$ / , 7 \$ ¶	6 W R X U U D F F K L R Q H
' \$ 7 \$ ' ( / ( , 1 ' \$ * , 1 ,	/ X J O L R

3 2 6 , = , 2 1 (	/ D W L W X G L Q H :	
	/ R Q J L W X G L Q H	
	4 X R W D V O P	\$ P V O P

/ , 7 2 / 2 * , \$ G D U L O L H Y R G L	' L V D F L P H Q W R G H O J U D Q L W R H J U D Q L W R
& 2 1 ' , = , 2 1 , * ( 2 0 2 5 ) 2 / 2 * , & +	3 L D Q R U R L Q D U H D G D O O D P R U I R O R J L D L U H G H V X P D W H
9 ( 1 8 7 ( ' ¶ \$ & 4 8 \$	3 R W H Q J L D O P H Q W H D
3 ( 5 , & 2 / 2 6 , 7 \$ ¶ * ( 2 0 2 5 ) 2 / 2 *	\$ V V H Q W H Y L J H Q W H 3 \$ , + J D U H D V W X G M B W D Q R S R W I U D Q H S U R S
3 ( 5 , & 2 / 2 6 , 7 \$ ¶ , ' 5 \$ 8 / , & \$	\$ V V H Q W H Y L J H Q W H 3 \$ ,

8 % , & \$ = , 2 1 ( / / \$ 7 2 5 5 ( 6 8 ) 2 7 2 \$ ( 5 (	( 6 7 5 \$ 7 7 2 & \$ 5 7 , \$ 2 / 2 * , & \$
--	---



& \$ 5 \$ 7 7 ( 5 , 6 7 , & + ( * ( 2 / 2 * , & + ( 3 5 ( 6	/ ( * ( 1 ' \$ & \$ 5 7 \$ / , 7 2 / 2 * , & \$
---	---

3 U R I R Q G L W j ) D H G D F 9 H Q X 3 R W H Q J L D O P H Q W H Y H V W H I Q F	0 R Q J R J U D Q L W L O H X F 3 * U D Q R G L R U L W L P R Q J
6 W U D W R D U H Q L J J D W R G L V S V X V X E V W U D W R U R F O L R F V D R O B U V X E D I I L R U D Q W H	) L O R Q L H D P P D V V
& \$ 5 \$ 7 7 ( 5 , 6 7 , & + ( 6 , 6 0 , & + ( 3 5 ( 6 8	
& D W H J R U L D G L 6 R W W X R & D W H J R U L D W R \$ R J U D I L F	

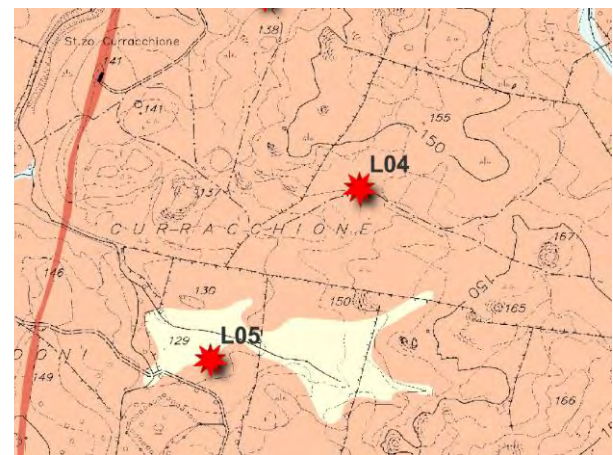
3\$5&2(2/, &2/82\*26\$172

6 & + (' \$	7 2 5 5 ( ( 2 / , & / \$ B
/ 2 & \$ / , 7 \$ ¶	6 W R X U U D F F K L R Q H
' \$ 7 \$ ' ( / ( , 1 ' \$ * , 1 ,	/ X J O L R

3 2 6 , = , 2 1 (	/ D W L W X G L Q H :	
	/ R Q J L W X G L Q H	
	4 X R W D V O P	\$ P V O P

/ , 7 2 / 2 * , \$ G D U L O L H Y R G L	' L V D F L P H Q W R G H O J U D Q L W R H J U D Q L W R
& 2 1 ' , = , 2 1 , * ( 2 0 2 5 ) 2 / 2 * , & +	3 L D Q R U R L Q D U H D G D O O D P R U I R O R J L D L U H G H V X P D W H
9 ( 1 8 7 ( ' ¶ \$ & 4 8 \$	3 R W H Q J L D O P H Q W H D
3 ( 5 , & 2 / 2 6 , 7 \$ ¶ * ( 2 0 2 5 ) 2 / 2 *	+ J D U H D D S H U L F R O R V L W J H G W H U B S D O H G I + J D U H D V W X G L D W D Q R Q V R J J D S R W I U
3 ( 5 , & 2 / 2 6 , 7 \$ ¶ , ' 5 \$ 8 / , & \$	\$ V V H Q W H Y L J H Q W H 3 \$ ,

8 % , & \$ = , 2 1 ( / \$ 7 2 5 5 ( 6 8 ) 2 7 2 \$ ( 5 (	( 6 7 5 \$ 7 7 2 & \$ 5 7 , \$ 2 / 2 * , & \$
--	---



& \$ 5 \$ 7 7 ( 5 , 6 7 , & + ( * ( 2 / 2 * , & + ( 3 5 ( 6	/ ( * ( 1 ' \$ & \$ 5 7 \$ / 2 7 2 * , & \$
---	---

3 U R I R Q G L W j ) D O G D 9 H Q X 3 R W H Q J L D O P H Q W H D V V H Q W		' H S R V L W L W H U U L J H Q F R Q R L G H H S L D Q D
6 W U D W R D U H Q L J J D W R G L V S V X V X E V W U B W R J U R F O L R F R O L G H V X E D I I L R U D Q W H		' H S R V L W L W H U U L J H Q I D J U D Y L W j
		0 R Q J R J U D Q L W L O H X I 3 * U D Q R G L R U L W L P R Q J
		) L O R Q L H D P P D V V
& \$ 5 \$ 7 7 ( 5 , 6 7 , & + ( 6 , 6 0 , & + ( 3 5 ( 6		
& D W H J R U L D G L 6 R W W X R & D W H J R U L D W R S R J U D I L		

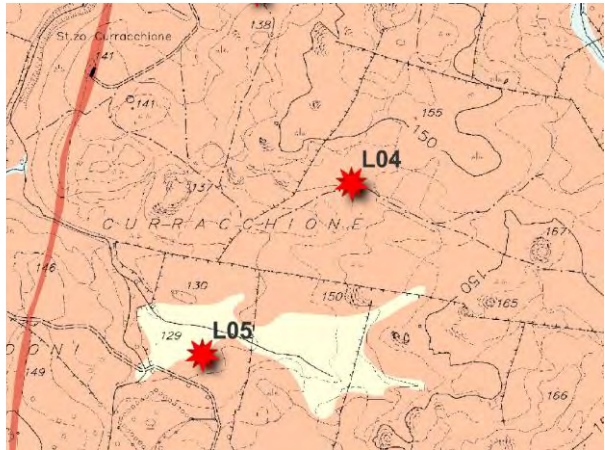
3\$5&2(2/, &2/82\*26\$172

6 & + ('\$	7 2 5 5 ( ( 2 / , & \$ B
/ 2 & \$ / , 7 \$ ¶	6 WR J X Q G R Q L
' \$ 7 \$ ' ( / / ( , 1 ' \$ * , 1 ,	/ X J O L R

3 2 6 , = , 2 1 (	/ D W L W X G L Q H :	
	/ R Q J L W X G L Q H	
	4 X R W D V O P	\$ P V O P

/ , 7 2 / 2 * , \$ G D U L O L H Y R G L	' L V I D H Q P W R G H O J U D Q L W R H J U D Q L W R
& 2 1 ' , = , 2 1 , * ( 2 0 2 5 ) 2 / 2 * , & +	3 L D Q R U R L Q D U H D G D O O D P R U I R O R J L D L U H G H V X P D W H
9 ( 1 8 7 ( ' ¶ \$ & 4 8 \$	3 R W H Q J L D O P H Q W H S U H V H Q W L
3 ( 5 , & 2 / 2 6 , 7 \$ ¶ * ( 2 0 2 5 ) 2 / 2 *	+ J D U H D D S H U L F R O R V L W j G D 3 1 J D Q D 0 H G I + J D U H D V W X G L D W D Q R Q V R J J D S R W I U
3 ( 5 , & 2 / 2 6 , 7 \$ ¶ , ' 5 \$ 8 / , & \$	\$ V V H Q W H Y L J H Q W H 3 \$ ,

8 % , & \$ = , 2 1 ( / / \$ 7 2 5 5 ( 6 8 ) 2 7 2 \$ ( 5 (	( 6 7 5 \$ 7 7 2 & \$ 5 7 , \$ 2 / 2 * , & \$
--	---



& \$ 5 \$ 7 7 ( 5 , 6 7 , & + ( * ( 2 / 2 * , & + ( 3 5 ( 6	/ ( * ( 1 ' \$ & \$ 5 7 \$ / , 7 2 / 2 & \$
---	---

3 U R I R Q G L W j ) D O G D 9 H Q X 3 R W H Q J L D O P H Q W H S U H V H Q		' H S R V L W L W H U U L J H Q F R Q R L G H H S L D Q D
6 W U D W R D U H Q L J J D W R G L V S V X V X E V W U D W R J U D Q R E D U R E G P I V X E D I I L R U D Q W H		' H S R V L W L W H U U L J H Q I D J U D Y L W j
		0 R Q J R J U D Q L W L O H X I 3 * U D Q R G L R U L W L P R Q J
		) L O R Q L H D P P D V V
& \$ 5 \$ 7 7 ( 5 , 6 7 , & + ( 6 , 6 0 , & + ( 3 5 ( 6		
& D W H J R U L D G L 6 R W W X R & D W H J R U L D W R S R J U D I L		

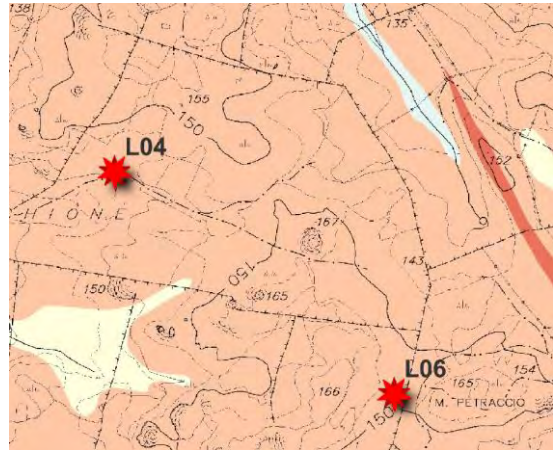
3\$5&2(2/, &2/82\*26\$172

6 & + (' \$	7 2 5 5 ( ( 2 / , & \$ B
/ 2 & \$ / , 7 \$ ¶	6 W R J X 0 R F X 0 3 H W U D F F L R
' \$ 7 \$ ' ( / / ( , 1 ' \$ * , 1 ,	/ X J O L R

3 2 6 , = , 2 1 (	/ D W L W X G L Q H :	
	/ R Q J L W X G L Q H	
	4 X R W D V O P	\$ P V O P

/ , 7 2 / 2 * , \$ G D U L O L H V R F G L	' L V I D F L P H Q W R G H O J U D Q L W R H J U D Q L W R
& 2 1 ' , = , 2 1 , * ( 2 0 2 5 ) 2 / 2 * , & +	3 L D Q R D R Y L D O O D P H Q W R U D F F K L U X V R W D O O G L U U H J R O D U H F R Q I R U P H H U R V L Y H U H V L G X
9 ( 1 8 7 ( ' ¶ \$ & 4 8 \$	3 R W H Q J L D O P H Q W H S U H V H Q W L
3 ( 5 , & 2 / 2 6 , 7 \$ ¶ * ( 2 0 2 5 ) 2 / 2 * , & \$	+ J D U H D D S H U L F R O R V L W j G D I U D Q D 0 H G I + J D U H D V W X G L D W D Q R Q V R J J D S R W I U
3 ( 5 , & 2 / 2 6 , 7 \$ ¶ , ' 5 \$ 8 / , & \$	\$ V V H Q W H Y L J H Q W H 3 \$ ,

8 % , & \$ = , 2 1 ( / / \$ 7 2 5 5 ( 6 8 ) 2 7 2 \$ ( 5 (	( 6 7 5 \$ 7 7 2 & \$ 5 7 , \$ 2 / 2 * , & \$
--	---



& \$ 5 \$ 7 ( 5 , 6 7 , & + ( * ( 2 / 2 * , & + ( 3 5 ( 6 8	/ ( * ( 1 ' \$ & \$ 5 7 \$ / , 7 2 / 2 * , & \$
---	---

3 U R I R Q G L W j ) D O G D 9 H Q X 3 R W H Q J L D S U P H Q H Q W Y H U L I L F		' H S R V L W L W H U U L J H Q F R Q R L G H H S L D Q D
		' H S R V L W L W H U U L J H Q I D J U D Y L W j
6 W U D W H R Q L j j D W R G L V S H V V F V X V X E V W U D W R U R F O L R F V D R O B U V X E D I I L R U D Q W H		0 R Q J R J U D Q L W L O H X I 3 * U D Q R G L R U L W L P R Q j
		) L O R Q L H D P P D V V
& \$ 5 \$ 7 ( 5 , 6 7 , & + ( 6 , 6 0 , & + ( 3 5 ( 6		
& D W H J R U L D G L 6 R W W X R & D W H J R U L D W R \$ R J U D I L F		

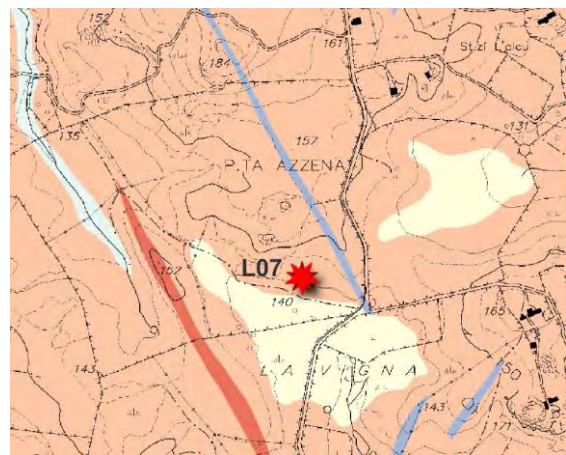
3\$5&2(2/, &2/82\*26\$172

6 & + (' \$	7 2 5 5 ( ( 2 / , & \$ B
/ 2 & \$ / , 7 \$ ¶	3 W D \$ ] ] H Q D
' \$ 7 \$ ' ( / / ( , 1 ' \$ * , 1 ,	/ X J O L R

326, =, 21 (	/ D W L W X G L Q H :	
	/ R Q J L W X G L Q H	
	4 X R W D V O P	\$ P V O P

/, 72/2*, \$ GD ULOLHYR GL	'LVIDFVPHCHO JUDQLWR H JUDQLWR
&21', =, 21, *(2025)2/2*, &+	9HUVDQWH PHULGLRQDDUHHGLGDDWDD\$P]R]Q]D FRQ IRUPH HURVLYH UHVLGXDOL HG HVXP
9(187( ' ¶ \$ & 48 \$	'D YHULILFDUH SRWHQJLDOPHQWH SUHVH
3(5, &2/26, 7\$ ¶ * (2025)2/2*, &\$	\$VVHQWH YLJHQWH 3\$, +J DUHD VWXGLDWD QRQ VRJJ D SRW O I B
3(5, &2/26, 7\$ ¶ , '5\$8/, &\$	\$VVHQW L H H Q W H 3 \$ ,

8%, &\$ =, 21( ( / \$ 7 2 5 5 ( 6 8 ) 2 7 2 \$ ( 5 (	( 6 7 5 \$ 7 7 2 & \$ 5 7 , \$ 2 / 2 * , & \$
--	---



&\$5\$77(5,67,&+( *(2/2*( 35(6817	/(*(1'\$ &\$57\$ /,72/2*, &\$
3URIRQGLWj )DOGD 9HQX 3RWHQJLDOPHQWHGLDWDPHQ GD YHULILFDUH	'HSRVLWL WHUULJHQ FRQRLGH H SLDQD
6WDWR DUHQLJ]DWHQKYLDSRHWV VX VXEVDWUR URFFLRV	'HSRVLWL WHUULJHQ D JUDYLWj
	ORQJRJUDQLWL OHX 3*UDQRGLRULWL PRQJ
&\$5\$77(5,67,&+( 6,60,&+( 35(6	)LORQL H DPPDVV
&DWHJRULD GL 6RWWXR &DWHJRULD WR\$R]UDILF	)LORQL H DPPDVV

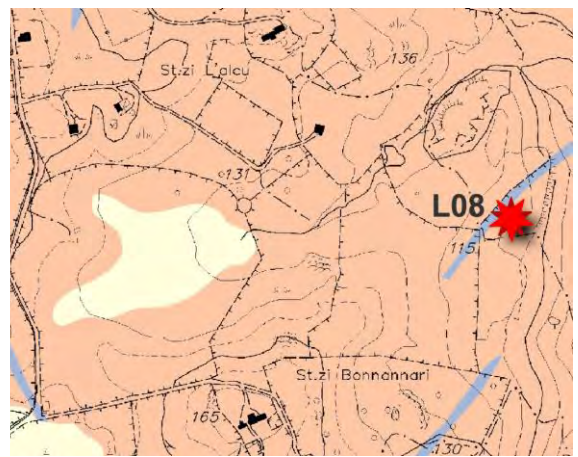
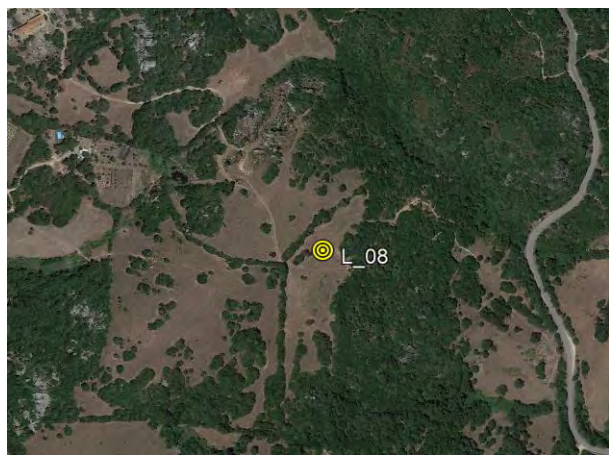
3\$5&2(2/, &2/82\*26\$172

6 & + ('\$	7 2 5 5 ( ( 2 / , & \$ B
/ 2 & \$ / , 7 \$ ¶	6 W ] L % R Q Q D Q Q D U L
' \$ 7 \$ ' ( // ( , 1 ' \$ * , 1 ,	/ X J O L R

3 2 6 , = , 2 1 (	/ D W L W X G L Q H :	
	/ R Q J L W X G L Q H	
	4 X R W D V O P	\$ P V O P

/ , 7 2 / 2 * , \$ G D U L O L H Y R G L	' L V F L P H Q W R G H O J U D Q L W R H J U D Q L W R
& 2 1 ' , = , 2 1 , * ( 2 0 2 5 ) 2 / 2 * , & +	& L J O L R U G / D O W H R O W R D G ( V W Y H U V R O D U M G D O O D P R U I R O R J L D L U U H J R O D U H
9 ( 1 8 7 ( ' ¶ \$ & 4 8 \$	3 R W H Q ] L D O P H Q Q W H L
3 ( 5 , & 2 / 2 6 , 7 \$ ¶ * ( 2 0 2 5 ) 2 / 2 *	\$ V V H Q W H Y L J H Q W H 3 \$ , + J D U H D V W X G L D W D Q R Q V R J J D S R W I U
3 ( 5 , & 2 / 2 6 , 7 \$ ¶ , ' 5 \$ 8 / , & \$	\$ V V H Q W H Y L J H Q W H 3 \$ ,

8 % , & \$ = , 2 1 ( // \$ 7 2 5 5 ( 6 8 ) 2 7 2 \$ ( 5 (	( 6 7 5 \$ 7 7 2 & \$ 5 / , \$ 2 / 2 * , & \$
---	---



& \$ 5 \$ 7 7 ( 5 , 6 7 , & + ( * ( 2 / 2 * , & + ( 3 5 ( 6		/( * ( 1 ' \$ & \$ 5 7 \$ / , 7 2 / 2 * , & \$
3 U R I R Q Q D O G D 9 H Q X W H C 3 R W H Q ] L D O P H Q Q W H Y H W H I Q F		' H S R V L W L W H U U L J H Q I D J U D Y L W j
6 W U D W R D U H Q L ] ] D W R G L V S H V V X V X E V W F L D W R U R B Q L W R		) L O R Q L H D P P D V V
		) L O R Q L H D P P D V V
& \$ 5 \$ 7 7 ( 5 , 6 7 , & + ( 6 , 6 0 , & + ( 3 5 ( 6		
& D W H J R U L D G L 6 R W W X R & D W H J R U L D W R S R J U D I L		

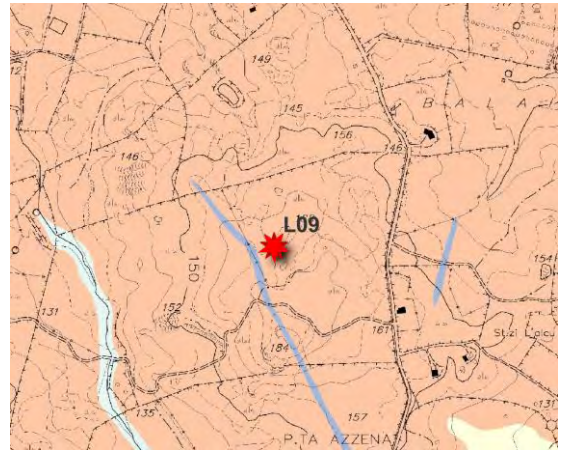
3\$5&2(2/, &2/82\*26\$172

6 & + ('\$	7255( (2/, &/\$B
/2&\$/,7\$¶	6W /¶DOFX
'\$7\$ '(// ( ,1'\$*,1,	/XJOLR

326, =, 21(	/DWLWXGLQH :	
	/RQJLWXGLQH	
	4XRWD V O P	\$ P V O P

/,72/2*, \$ GD ULOLHYR GL	'LVIDFQWR GHQ JUDQLWR H JUDQLWR
&21', =, 21, *(2025)2/2*, &+	'HEROH DYYDOODPHQWR DL SLHGL GHQ Y GDOOD PRUIRORJLD LUUHJRODUH FRQ IRU
9(187( '¶\$&48\$	3RWHQJLDSUPHWHQWL
3(5, &2/26,7\$¶ *(2025)2&2\$	\$VVHQWH YLJHQWH 3\$, +J DUHD VWXGLDWD QRQ VRJJ D SRW IU
3(5, &2/26,7\$¶ , '5\$8/, &\$	\$VVHQWH YLJHQWH 3\$,

8%, &\$ =, 21( (/ \$ 7255(68 )272 \$(5( (675\$772 &\$57, \$2/2\*, &\$



&\$5\$77(5,67, &+( \*(2/2\*, &+( 35(6 /(\* (1'\$ &\$57\$ /,72/2\*, &\$

3URIRQGLWj )DOGD 9HQX 3RWHQJLDSUPHWHQWL		'HSRVLWL WHUULJHQ FRQRLGH H SLDQD
6WUDWR DUHQJLJ]DWR LQLEMS VX VXEVDWR URFFLRVR WDORUD VXEDIILRUD		0RQJRJUDQLWL OHX 3*UDQRGLRULWL PRQJ )LORQL H DPPDVV
&\$5\$77(5,67, &+( 6,60, &+( 35(6		
&DWHJRULD GL 6RWWXR &DWHJRULD WRSRJUDIL		

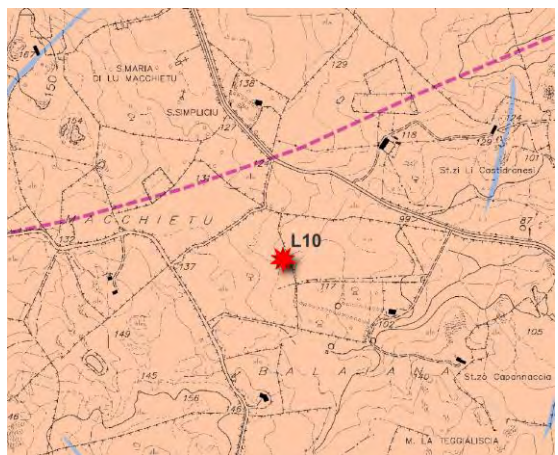
3\$5&2(2/, &2/82\*26\$172

6 & + ('\$	7255( (2/, &/\$B
/2&\$/,7\$¶	6WR&DSDQQDFFLD
'\$7\$ '(// ( ,1'\$*,1,	/XJOLR

326, =, 21(	/DWLWXGLQH :	
	/RQJLWXGLQH	
	4XRWD V O P	\$ P V O P

/,72/2*, \$ GD ULOLHYR GL	'LWDFLPHQWR GHO JUDQLWR H JUDQLWR
&21', =, 21, *(2025)2/2*, &+	3LDQRUR LDUHDLV BLOD PRUIRORJLD LUU UHVLGXDOL HG HVXPDWH
9(187( '¶\$&48\$	3RWHQJLDOPH QVHF KDV WHHQSWLHVHQLWL SRFR
3(5, &2/26,7\$¶ *(2025)2/2*	\$VVWH YLJHQWH 3\$, +J DUHD VWXGLDWD QRQ VRJJ D SRW IU
3(5, &2/26,7\$¶ ,5\$8/, &\$	\$VVHQWH YLJHQWH 3\$,

8%, &\$ =, 21( (/ \$ 7255(68 )272 \$(5(	(675\$772 &\$5/7, \$2/2*, &\$
---	-------------------------------

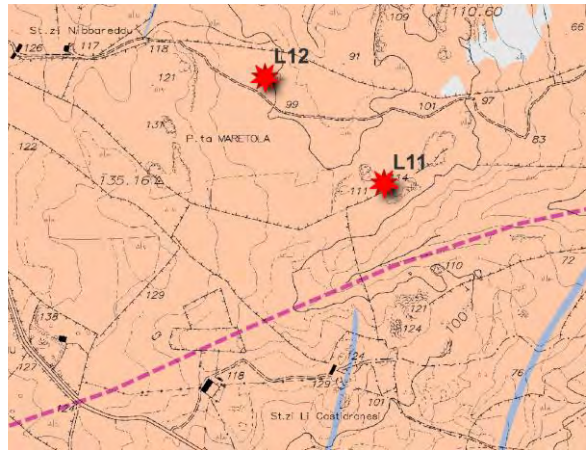


&\$5\$77(5,67, &+( *(2/2*, &+( 35(6	/(*(1'\$ &\$57\$ /,72/2*, &\$
-------------------------------------	-------------------------------

3URIRQGLWj )DOGD 9HQX 3RWHQJLDOPH QVHF KDV WHHQSWLHVHQLWL SRFR	ORQJRJUDQLWL OHX 3*UDQRGLRULWL PRQJ
6WUDWR DUHQLJJDWR GL VS VX VXEVWUDWR BRGFLRV WDORUD VXEDIILRUDC	)LORQL H DPPDVV )DJOLD WUDVFRUUHQV
&\$5\$77(5,67, &+( 6,60, &+( 35(6	
&DWHJRULD GL 6RWWXR &DWHJRULD WRSRJUDIL	

3 \$ 5 & 2 ( 2 / , & 2 % \$ 6 6 \$ & 8 7 ( 1 \$	
6 & + ( ' \$	7 2 5 5 ( ( 2 / , & \$
/ 2 & \$ / , 7 \$ ¶	7 U D W ¶ L E E D U H G G X
' \$ \$ ' ( / / ( , 1 ' \$ * , 1 ,	/ X J O L R
3 2 6 , = , 2 1 (	/ D W L W X G L Q H :
	/ R Q J L W X G L Q H
	4 X R W D V O P \$ P V O P
/ , 7 2 / 2 * , \$ G D U L O L H Y R G L	' L V I D F L P H Q W R G H O J U D Q L W R H J U D Q L W R
& 2 1 ' , = , 2 1 , * ( 2 0 2 5 ) 2 / 2 * , & +	& L J O L R G L Y H R V D W D W H \$ R F R H Y L G H Q W H L U U H J R O D U H F R Q I R U P H H U R V L Y H U H V L G
9 ( 1 8 7 ( ' ¶ \$ & 4 8 \$	\$ V V H Q W L
3 ( 5 , & 2 / 2 6 , 7 \$ ¶ * ( 2 0 2 5 ) 2 / 2 *	\$ V V H Q W H \$ L J H Q W H 3 + J D U H D V W X G L D W D Q R Q V R J J D S R W I U
3 ( 5 , & 2 / 2 6 , 7 \$ ¶ , ' 5 \$ 8 / , & \$	\$ V V H Q W H Y L J H Q W H 3 \$ ,
, 1 ' \$ * , 1 , ( 6 ( * 8 , 7 (	Q 7 R P R J U D I L D V L V P L F D / P Q 6 W H Q G L P H Q W R J H R I L V L F R G L V L V P L F Q 0 L V X U P R U L H V L V P L F R D P E L H Q W D O H + Q U Z Q F H H H V S O R U D W L Y H H G L F D B S L R Q B

8 % , & \$ = , 2 1 ( / / \$ 7 2 5 5 ( 6 8 ) 2 7 2 \$ ( 5 (	( 6 7 5 \$ 7 7 2 & \$ 5 7 , \$ 2 / 2 * , & \$
--	---



8 % , & \$ = , 2 1 ( ' ( / / ( 3 5 2 9 (	/ ( * ( 1 ' \$ & \$ 5 7 \$ / , 7 2 / 2 * , & \$
--	---



' H S R V L W L W H U U L J H  
G L V F D U L F K H P L Q

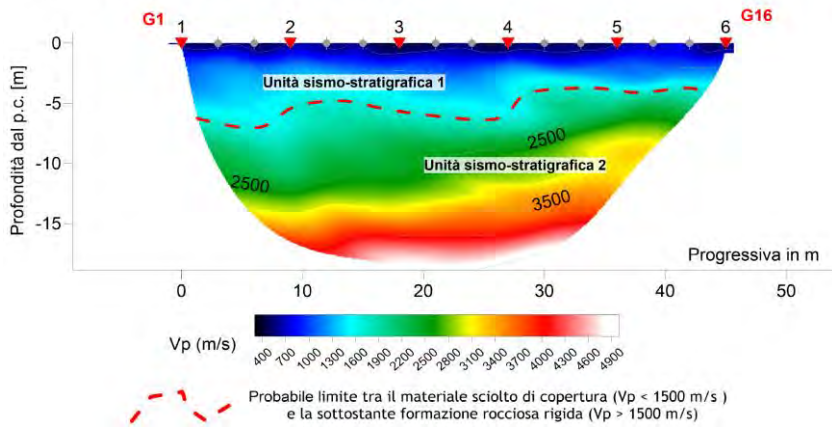
0 R Q J R J U D Q L W L O H X  
3 \* U D Q R G L R U L W L P R Q J

) L O R Q L H D P P D V V

--- ) D J O L D W U D V F R U U H Q V

6( = , 21( ' \$ 7 2 0 2 \* 5 \$ ) , \$ 6 , 6 0 , 8 5 \$ = , 2 1 ( 1

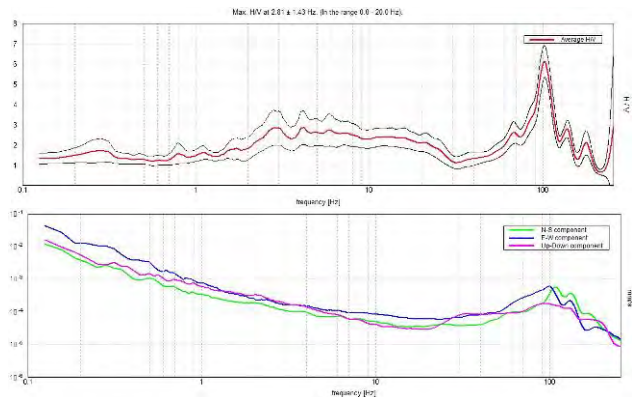
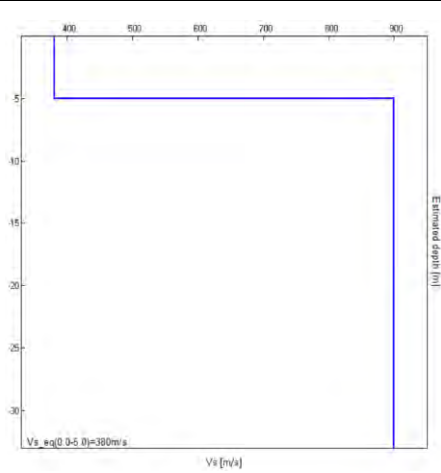
Indagine tomografica sismica in onde P: RIF L11



6 7 5 \$ 7 , \* 5 \$ ) , \$ 0 ( ' , \$ ' \$ , 1 ' \$ \* , 1 , ' , 5 ( 7 7 ' ( , 5 ( 7 7 ( H 3 5 2 ) , / 2 / , 7 2 7 ( & 1 ,

3 U R I P	/ L W R O R J L D	J D W N 1 P	J D W N 1 P	I f	F N 3 D
±	6 X R O R O L P R V R V D E				
± ±	= R Q D D G H Q J L J R D Ø R F D O P L Q W H U V H F D W D G D H S				
! ±	6 X E V W W R U R F F L R V				
3 U R I R Q G L W j ) D O G D 9 H Q X W H					

6 , 6 0 2 6 7 5 \$ 7 , \* 5 \$ ) , \$ ( 0 , 6 8 5 \$ 6 , 6 0 , & \$ \$ 6 7 \$ = , 2 1 ( 6 , 1 \* 2 / \$ + 9



/ D P L V X U D V L G S V M A X H U C E V D D H G L Q S D U W L F F V L U L V F R Q W U D Q R L G F H L Q P R O D F R P P S R Q H Q W H Y H

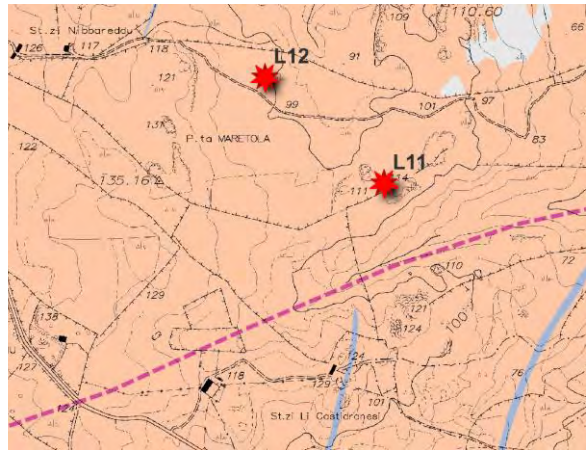
& D W H J R U L 6 R W R V X	%	& D W H J R U L 7 R S R J	7
-----------------------------	---	---------------------------	---

& 5 , 7 , & , 7 \$ ¶  
6 S H V V R U E Y Ø W L G H O O R V W U D W R ³ D U H Q L ] ] D W R ´

\$ = , 2 1 , & 2 5 5 ( 7 7 , 9 ( \$ F F H U W D U H G L U H W W D P H Q W H O H F R Q G L ] L R Q L V W U D W L J U D I L F K H

3 \$ 5 & 2 ( 2 / , & 2 % \$ 6 6 \$ & 8 7 ( 1 \$	
6 & + ( ' \$	7 2 5 5 ( ( 2 / , & \$
/ 2 & \$ / , 7 \$ ¶	7 U 0 W ¶ L E E D U H G G X
' \$ \$ ' ( / / ( , 1 ' \$ * , 1 ,	/ X J O L R
3 2 6 , = , 2 1 (	/ D W L W X G L Q H :
	/ R Q J L W X G L Q H
	4 X R W D V O P \$ P V O P
/ , 7 2 / 2 * , \$ G D U L O L H Y R G L	' L V I D F L P H Q W R G H O J U D Q L W R H J U D Q L W R
& 2 1 ' , = , 2 1 , * ( 2 0 2 5 ) 2 / 2 * , & +	3 L D Q R Q D U H D G D O O D P R U I R O R J L D L U U H J R H G H V X P D W H
9 ( 1 8 7 ( ' ¶ \$ & 4 8 \$	\$ V V H Q W L
3 ( 5 , & 2 / 2 6 , 7 \$ ¶ * ( 2 0 2 5 ) 2 / 2 *	\$ V V H Q W H Y L J H Q W H 3 \$ , + J D U H D V W X G L D W R Q R Q D R H S U B S R V W D
3 ( 5 , & 2 / 2 6 , 7 \$ ¶ , ' 5 \$ 8 / , & \$	\$ V V H Q W H Y L J H Q W H 3 \$ ,
, 1 ' \$ * , 1 , ( 6 ( * 8 , 7 (	Q 7 R P R J U D I L D V L V P L F D / P Q 6 W H Q G L P H Q W R J H R I L V L F R G L V L V P L F Q 0 L V X U D G L U X P R U H V L V P L F R D P E L H Q V Q 6 R Q G D J J L R D F D U R W D J J L R F R Q W L Q X R Q U Z Q F H H H V S O R U D W L Y H H G L F D B S L R Q B

8 % , & \$ = , 2 1 ( / / \$ 7 2 5 5 ( 6 8 ) 2 7 2 \$ ( 5 (	( 6 7 5 \$ 7 7 2 & \$ 5 7 , \$ 2 / 2 * , & \$
--	---



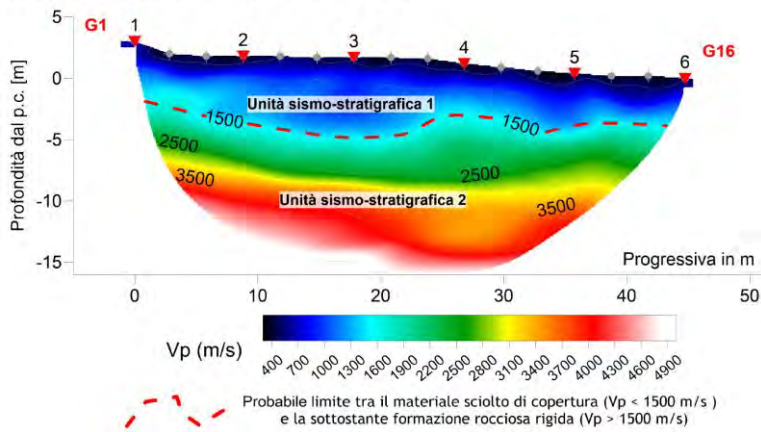
8 % , & \$ = , 2 1 ( ' ( / / ( 3 5 2 9 (	/ ( * ( 1 ' \$ & \$ 5 7 \$ / , 7 2 / 2 * , & \$
--	---



	' H S R V L W L W H U U L J H G L V F D U L F K H P L Q
	0 R Q J R J U D Q L W L O H X 3 * U D Q R G L R U L W L P R Q J
	) L O R Q L H D P P D V V
---	) D J O L D W U D V F R U U H Q V

6(=,21(' \$ 7202\*5\$), \$ 6,60',8\$ =,21( 1

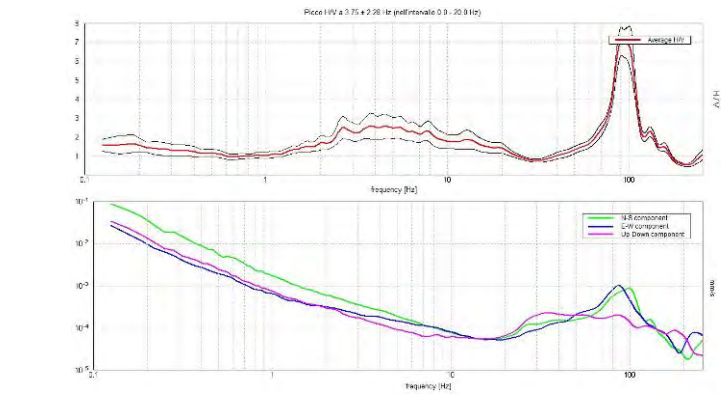
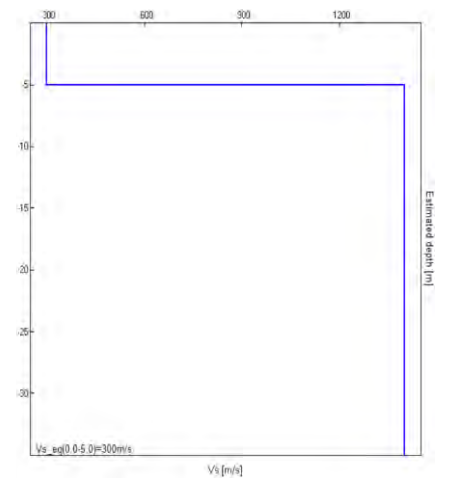
Indagine tomografica sismica in onde P: RIF L12



675\$7,\*5\$), \$ 0(',\$ '\$ ,1'\$\*, (77(5H ,1',5(77( H 352),/2 /,727(& 1

3URI P	/LWRORJLD	J <sub>DW</sub> N1 P	J <sub>DW</sub> N1 P	I f	F N3D
±	6XROR OLPRVR VDE				
± ±	=RQDDGHQJLJRQØRFDOP LQWHUVHFDWD GD HS				
! ±	6ÆVWUDWR URFFI				
3URIRQGLWj )DOGD 9HQXWH					

6,602675\$7,\*5\$), \$ ( 0,685\$ 6,60,&\$ \$ 67\$ =,21( 6,1\*2/\$ + 9



/D PLVXUD QRQ SUHVHQWD HOHYDWL UDSSRUWL + 9 D  
YHUWLFDOH GHO PIRQRE DVEPRUFRVWHYLLQ RQDQJH QHJOL LJC  
6L ULVFRQWUD OD GHULYD VWUXPHQWDOH D

&DWHJRULD GL 6RM (

&DWHJRULD 7RSRJ

7

&5,7,&,7\$¶

6SHVVRUHEYØWLGHOOR VWUDWR ³DUHQLJ]DWR´

\$ =,21, &255(77,9(

\$FFHUWDUH GLUHWWD PHQWH OH FRQGL]LRQL VWUDWLJUDILFKH

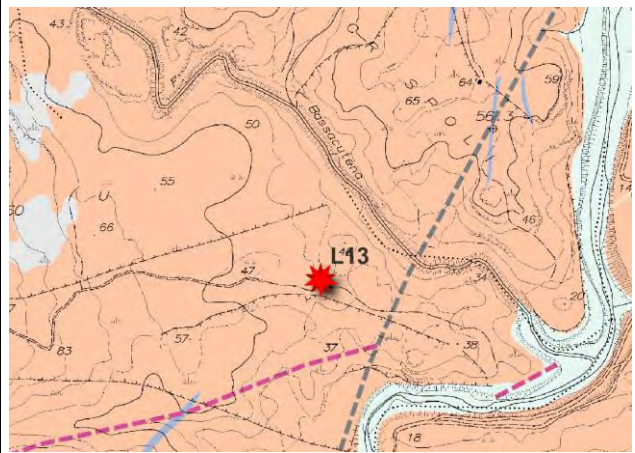
3 \$ 5 & 2 ( 2 / , & 2 / 8 2 \* 2 6 \$ 1 7 2

6 & + ( ' \$	7 2 5 5 ( ( 2 / , & \$ B
/ 2 & \$ / , 7 \$ ¶	6 W L ¶ L E E D U H G G X
' \$ 7 \$ ' ( / / ( , 1 ' \$ * , 1 ,	/ X J O L R

3 2 6 , = , 2 1 (	/ D W L W X G L Q H :	
	/ R Q J L W X G L Q H	
	4 X R W D V O P	\$ P V O P

/ , 7 2 / 2 * , \$ G D U L O L H Y R G L	' L V I D ¶ H Q W R G H O J U D Q L W R H J U D Q L W R
& 2 1 ' , = , 2 1 , * ( 2 0 2 5 ) 2 / 2 * , & +	& L J O L R G L P R G H V W R Y H U V D Q W H U L Y R O W % D V V D F X W H Q D D U H D G D O O D P R U I R O R J L D
9 ( 1 8 7 ( ' ¶ \$ & 4 8 \$	3 R W H Q ¶ L D O P H Q W H D V V H Q W L
3 ( 5 , & 2 / 2 6 , 7 \$ ¶ * ( 2 0 2 5 ) 2 / 2 *	\$ V V H Q W H 3 \$ L J H Q W H + J D U H D V W X G L D W D Q R Q V R J J D S R W I U
3 ( 5 , & 2 / 2 6 , 7 \$ ¶ , ' 5 \$ 8 / , & \$	\$ V V H Q W H Y L J H Q W H 3 \$ ,

8 % , & \$ = , 2 1 ( / / \$ 7 2 5 5 ( 6 8 ) 2 7 2 \$ ( 5 ( ( 6 7 5 \$ 7 7 2 & \$ 5 7 , \$ 2 / 2 \* , & \$



& \$ 5 \$ 7 7 ( 5 , 6 7 , & + ( \* ( 2 / 2 \* , & + ( 3 5 ( 6 / ( \* ( 1 ' \$ & \$ 5 7 \$ / , 7 2 / 2 \* \$

3 U R I R Q G L W j ) D O G D 9 H Q X 3 R W H Q ¶ L D D V P H C O M P L Y H U L I L F		' H S R V L W L W H U U L J H G L V F D U L F K H P L Q
6 W U D W R D U H Q L ¶ ¶ D W O R H G L W R S R D V X V W E U D W R U R F F L R V R J U		' H S R V L W L W H U U L J H C F R Q R L G H H S L D Q D
& \$ 5 \$ 7 7 ( 5 , 6 7 , & + ( 6 , 6 0 , & + ( 3 5 ( 6	— — —	0 R Q ¶ R J U D Q L W L O H X ¶ 3 * U D Q R G L R U L W L P R Q ¶
& D W H J R U L D G L 6 R W W X R & D W H J R U L D W R S R J U D I L	— — —	) L O R Q L H D P P D V V
	— — —	) D J O L D W U D V F R U U H Q
	— — —	) D J O L D W U D V F R U U H Q

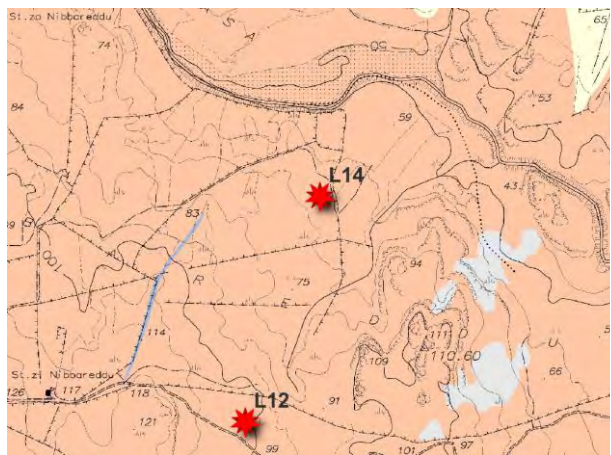
3\$5&2(2/, &2/82\*26\$172

6&+('\$	7255( (2/, &/\$
/2&\$/,7\$¶	6WL1LEEDUHGGX
'\$7\$ '(// ( ,1'\$*,1,	/XJOLR

326,=,21(	/DWLWXGLQH :	
	/RQJLWXGLQH	
	4XRWD V O P	\$ P V O P

/,72/2*, \$ GD ULOLHYR GL	'LVIDFHQWR GHO JUDQLWR H JUDQLWR
&21',=,21, *(2025)2/2*, &+	3LDQRUR LQ SURVVLPLWHG L LXQHWHW DEXW GDOOD PRUIRORFJLQ LUWHJ RQDRWHYH UHVL
9(187( '¶\$&48\$	3RWHQJLDOPHQWH DVVHQWL
3(5, &2/26,7\$¶ *(2025)2/2\$	\$VVHQWH YLJHQWH 3\$, +J DUHD VWXGLDWD QRQ VRJJ D SRW IU
3(5, &2/26,7\$¶ ,5\$8/, &\$	\$VVHQWH YLJHQWH 3\$,

8%, &\$=, 2'(/\$ 7255(68 )272 \$(5(	(675\$772 &\$57, \$2/2*, &\$
-------------------------------------	------------------------------



&\$5\$77(5,67, &+( *(2/2*, &+( 35(6	/(*(1'\$ &\$57\$ /,72/2*, &\$
-------------------------------------	-------------------------------

3URIRQGLWj )DOGD 9HQX 3RWHQJLDDVHCOVPL YHULILF		'HSRVLWL WHUULJH GLVFDULFKH PLQ
6WUDWR DUHQLJ]DWR LGLE V\$ VX VXE WVRV WRVR JO D QD WRHL VXEDIILRUDQWH		0RQJRJUDQLWL OHX 3*UDQRGLRULWL PRQJ  )LORQL H DPPDVV
&\$5\$77(5,67, &+( 6,60, &+( 35(6		
&DWHJRULD GL 6RWWXR &DWHJRULD WRSRJUDIL		

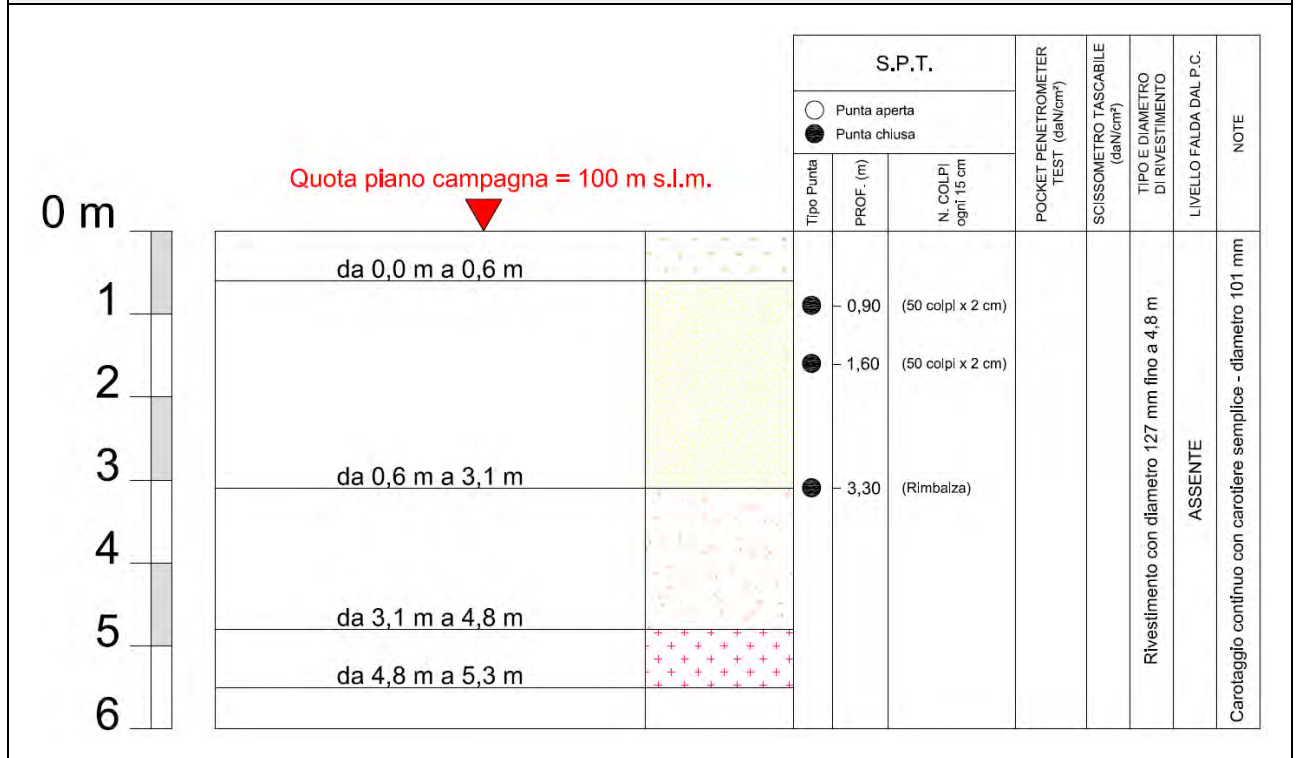
&RPPLWWH	0\W (ROR 6 U O	'DWD	6 R Q G D J J	6 B /
&DQWLHUH	3 DUFR H X Q L J R R / D Q W 7 2 5 ( ( 2 / , & \$ B			

352) '\$/ 3 P	'(6&5, =, 21( / , 72/2* , & \$	/ 6 P
±	6XROR OLPRVR VDEELRVR	
±	6DEELD JURVVD VDEELD JKLDLR	
±	*UDQLWR DOWHUDWR DUHQLJJDWR FKH PDG DSSDUH FRPH XQD VDEELD JURVVD V GRWDWD GL XQD FHUWD SVHXGRF	
±	6XEVWUDWR URFFLRVR *UDQLWR URVDWR	

3 &SLDQR FDPDJDQR D R V B F D Q H W 3 H Q I H W 3 U R P H D W F R Q V F L V V R P H W U R W D V F D E L / 6 / L Y H O O R V W 3 U R I R R G D W G B D O S F

&RRUGLQDWH : *6	1RWH
/DWLWXG	1RQ VL VRQR YHULILFDWH
/RQJLWXG	

675\$7, \*5\$), \$ 6&+(0\$7, &\$



3 URIR QVRLW	P
6 R Q G D W R	*HRWHU 6 D V GL &XFFX 9LWWRULR &
6 X S H U Y L V	'RWW VVD *HRO 1LF R D W W W D H R R O I D D Y H V G M L ' D O ' H
6 R Q G D	&LQJRODWD 3XQWHO

&RPPLWWH	0\W (ROR 6 U O	'DWD	6RQGDJJ	6 B
&DQWLHUH	3DUFR HROLFR /XR2B5(DQWR&\$ /B			

&\$66(77\$±3URIRQGLWj GD P D P



&\$66(77\$±3URIRQGLWj GDP P D



&RPPLWWH	0\W (ROR 6 U O	'DWD	6 R Q G L R J	6 B
&DQWLHUH	3DUFR HROLFR /X R 2 5 (D Q W R & \$ / B			

8 % , & \$ = , 2 1 ( ' ( / 6 2 1 ' \$ \* \* , 2



Committente	Myt Eolo 1 S.r.l.	Data 06/07/23	Trincea esplorativa	L02a 1
Cantiere	Parco eolico Luogosanto - <b>TORRE EOLICA L_02</b>			

PROF. DAL P.C. (m)	DESCRIZIONE LITOLOGICA	PP (kPa)	VT (kPa)	L.S. (m)
0,00 – 0,40	Suolo limoso sabbioso di colore nocciola	-	-	-
0,40 – 1,80	Roccia granitoida "arenizzata", coerente, di colore marrone	-	-	

P.C. piano campagna attuale PP Prova Pocket Penetrometer VT Prova con scissometro tascabile  
L.S. Livello statico falda - Profondità dal p.c.

Coordinate WGS 84		Note
Latitudine	41,09998	Verticalità dello scavo mantenuta a breve termine
Longitudine	9,23430	Non si sono verificate venute d'acqua
		<b>Indagini eseguite a circa 230 m di distanza dalla torre</b>

TRINCEA ESPLORATIVA	CUMULI DI SCAVO
	 da 0,00 m a 0,40 m
	 da 0,40 m a 1,80 m

UBICAZIONE DELLA TRINCEA



Committente	Myt Eolo 1 S.r.l.	Data 06/07/23	Trincea esplorativa	L02a 2
Cantiere	Parco eolico Luogosanto - <b>TORRE EOLICA L_02</b>			

PROF. DAL P.C. (m)	DESCRIZIONE LITOLOGICA	PP (kPa)	VT (kPa)	L.S. (m)
0,00 – 0,50	Suolo limoso sabbioso di colore nocciola	-	-	-
0,50 – 1,10	Roccia granitoida "arenizzata", di color marrone	-	-	
1,10 – 2,00	Roccia granitoida alterata, di color marrone rossastro	-	-	

P.C. piano campagna attuale PP Prova Pocket Penetrometer VT Prova con scissometro tascabile  
L.S. Livello statico falda - Profondità dal p.c.

Coordinate WGS 84		Note
Latitudine	41,10005	Verticalità dello scavo mantenuta a breve termine
Longitudine	9,23416	Non si sono verificate venute d'acqua
		<b>Indagini eseguite a circa 230 m di distanza dalla torre</b>

TRINCEA ESPLORATIVA	CUMULI DI SCAVO
	 da 0,00 m a 0,50 m
	 da 0,50 m a 2,00 m

UBICAZIONE DELLA TRINCEA



Committente	Myt Eolo 1 S.r.l.	Data 06/07/23	Trincea esplorativa	L02a 3
Cantiere	Parco eolico Luogosanto - <b>TORRE EOLICA L_02</b>			

PROF. DAL P.C. (m)	DESCRIZIONE LITOLOGICA	PP (kPa)	VT (kPa)	L.S. (m)
0,00 – 0,60	Suolo limoso sabbioso di colore nocciola	-	-	-
0,60 – 1,80	Sabbia di disfacimento di filone di color bruno rossastro	-	-	

P.C. piano campagna attuale PP Prova Pocket Penetrometer VT Prova con scissometro tascabile  
L.S. Livello statico falda - Profondità dal p.c.

Coordinate WGS 84		Note
Latitudine	41,09997	Verticalità dello scavo mantenuta a breve termine Non si sono verificate venute d'acqua
Longitudine	9,23442	
		<b>Indagini eseguite a circa 230 m di distanza dalla torre</b>

TRINCEA ESPLORATIVA	CUMULI DI SCAVO
	 da 0,00 m a 0,60 m
	 da 0,60 m a 1,80 m

UBICAZIONE DELLA TRINCEA



Committente	Myt Eolo 1 S.r.l.	Data 03/07/23	Trincea esplorativa	L11_1
Cantiere	Parco eolico Luogosanto - <b>TORRE EOLICA L_11</b>			

PROF. DAL P.C. (m)	DESCRIZIONE LITOLOGICA	PP (kPa)	VT (kPa)	L.S. (m)
0,00 – 0,40	Suolo limoso sabbioso di colore bruno	-	-	-
0,40 – 0,70	Sabbione granitico, sciolto, di colore nocciola giallastro	-	-	
0,70 – 1,20	Sabbione granitico addensato / pseudocoesivo, marrone	-	-	
1,20 – 1,70	Roccia granitoida "arenizzata", di color marrone	-	-	

P.C. piano campagna attuale PP Prova Pocket Penetrometer VT Prova con scissometro tascabile  
L.S. Livello statico falda - Profondità dal p.c.

Coordinate WGS 84		Note	
Latitudine	41,10007	Verticalità dello scavo mantenuta a breve termine	
Longitudine	9,28255	Presenza di umidità al fondo della trincea	
		Indagini eseguite in corrispondenza dalla torre	

TRINCEA ESPLORATIVA	CUMULI DI SCAVO
	 da 0,00 m a 0,40 m
	 da 0,40 m a 1,70 m

UBICAZIONE DELLA TRINCEA



Committente	Myt Eolo 1 S.r.l.	Data 03/07/23	Trincea esplorativa	L11_2
Cantiere	Parco eolico Luogosanto - <b>TORRE EOLICA L_11</b>			

PROF. DAL P.C. (m)	DESCRIZIONE LITOLOGICA	PP (kPa)	VT (kPa)	L.S. (m)
0,00 – 0,30	Suolo limoso sabbioso di colore bruno	-	-	-
0,30 – 0,60	Sabbione granitico addensato / pseudocoesivo, marrone	-	-	

P.C. piano campagna attuale PP Prova Pocket Penetrometer VT Prova con scissometro tascabile  
L.S. Livello statico falda - Profondità dal p.c.

Coordinate WGS 84		Note	
Latitudine	41,10013	Verticalità dello scavo mantenuta a breve termine	
Longitudine	9,28243	Non si sono verificate venute d'acqua	
		Indagini eseguite in corrispondenza dalla torre	

TRINCEA ESPLORATIVA	CUMULI DI SCAVO
	 da 0,00 m a 0,30 m
	 da 0,30 m a 0,60 m

UBICAZIONE DELLA TRINCEA



Committente	Myt Eolo 1 S.r.l.	Data 03/07/23	Trincea esplorativa	L11_3
Cantiere	Parco eolico Luogosanto - <b>TORRE EOLICA L_11</b>			

PROF. DAL P.C. (m)	DESCRIZIONE LITOLOGICA	PP (kPa)	VT (kPa)	L.S. (m)
0,00 – 0,35	Suolo limoso sabbioso di colore nocciola	-	-	-
0,35 – 0,80 (settore Est)	Sabbione granitico, più o meno sciolto, di colore marrone	-	-	
0,80 – 1,00 (settore Est)	Sabbione granitico addensato / pseudocoesivo, marrone	-	-	
<b>0,40 – 1,00 (settore Ovest)</b>	<b>Basalto argillificato di color bruno rossastro con blocchi</b>	-	-	

P.C. piano campagna attuale PP Prova Pocket Penetrometer VT Prova con scissometro tascabile  
L.S. Livello statico falda - Profondità dal p.c.

Coordinate WGS 84		Note	
Latitudine	41,10001	Verticalità dello scavo mantenuta a breve termine	
Longitudine	9,28243	Non si sono verificate venute d'acqua	
		Indagini eseguite in corrispondenza dalla torre	

TRINCEA ESPLORATIVA	CUMULI DI SCAVO
	 <p>da 0,00 m a 0,35 ÷ 0,40 m</p>
	 <p>da 0,35 ÷ 0,40 m a 1,00 m</p>

UBICAZIONE DELLA TRINCEA



Committente	Myt Eolo 1 S.r.l.	Data 03/07/23	Trincea esplorativa	L12_1
Cantiere	Parco eolico Luogosanto - <b>TORRE EOLICA L_12</b>			

PROF. DAL P.C. (m)	DESCRIZIONE LITOLOGICA	PP (kPa)	VT (kPa)	L.S. (m)
0,00 – 0,50	Suolo limoso sabbioso di colore nocciola	-	-	-
0,50 – 0,90	Sabbione granitico, sciolto, di colore marrone	-	-	
0,90 – 1,60	Sabbione granitico addensato / pseudocoesivo, rossastro	-	-	
1,60 – 2,20	Roccia granitoida "arenizzata", di color giallo rossastro	-	-	

P.C. piano campagna attuale PP Prova Pocket Penetrometer VT Prova con scissometro tascabile  
L.S. Livello statico falda - Profondità dal p.c.

Coordinate WGS 84		Note	
Latitudine	41,10278	Verticalità dello scavo mantenuta a breve termine	
Longitudine	9,27961	Non si sono verificate venute d'acqua	
		Indagini eseguite in corrispondenza dalla torre	

TRINCEA ESPLORATIVA	CUMULI DI SCAVO
	 <p>da 0,00 m a 2,20 m</p>

UBICAZIONE DELLA TRINCEA



Committente	Myt Eolo 1 S.r.l.	Data 03/07/23	Trincea esplorativa	L12_2
Cantiere	Parco eolico Luogosanto - <b>TORRE EOLICA L_12</b>			

PROF. DAL P.C. (m)	DESCRIZIONE LITOLOGICA	PP (kPa)	VT (kPa)	L.S. (m)
0,00 – 0,30	Suolo limoso sabbioso di colore nocciola	-	-	-
0,30 – 0,80	Sabbione granitico addensato / pseudocoesivo, rossastro	-	-	
0,80 – 1,40	Roccia granitoida "arenizzata", di color bruno rossastro	-	-	

P.C. piano campagna attuale PP Prova Pocket Penetrometer VT Prova con scissometro tascabile  
L.S. Livello statico falda - Profondità dal p.c.

Coordinate WGS 84		Note
Latitudine	41,10250	Verticalità dello scavo mantenuta a breve termine Non si sono verificate venute d'acqua Indagini eseguite in corrispondenza dalla torre
Longitudine	9,27906	

TRINCEA ESPLORATIVA	CUMULI DI SCAVO
	 da 0,00 m a 0,30 m
	 da 0,30 m a 1,40 m

UBICAZIONE DELLA TRINCEA



Committente	Myt Eolo 1 S.r.l.	Data 03/07/23	Trincea esplorativa	L12_3
Cantiere	Parco eolico Luogosanto - <b>TORRE EOLICA L_12</b>			

PROF. DAL P.C. (m)	DESCRIZIONE LITOLOGICA	PP (kPa)	VT (kPa)	L.S. (m)
0,00 – 0,45	Suolo limoso sabbioso di colore nocciola	-	-	-
0,45 – 0,90	Sabbione granitico, sciolto, di colore bruno rossastro	-	-	
0,90 – 1,20	Sabbione granitico addensato / pseudocoesivo, marrone	-	-	
1,20 – 1,60	Roccia granitoida "arenizzata", di color marrone	-	-	

P.C. piano campagna attuale PP Prova Pocket Penetrometer VT Prova con scissometro tascabile  
L.S. Livello statico falda - Profondità dal p.c.

Coordinate WGS 84		Note
Latitudine	41,10249	Verticalità dello scavo mantenuta a breve termine
Longitudine	9,27942	Non si sono verificate venute d'acqua
		Indagini eseguite in corrispondenza dalla torre

TRINCEA ESPLORATIVA	CUMULI DI SCAVO
	 da 0,00 m a 0,45 m
	 da 0,45 m a 1,60 m

UBICAZIONE DELLA TRINCEA



Committente	Myt Eolo 1 S.r.l.	Data 03/07/23	Trincea esplorativa	L13_1
Cantiere	Parco eolico Luogosanto - <b>TORRE EOLICA L_13</b>			

PROF. DAL P.C. (m)	DESCRIZIONE LITOLOGICA	PP (kPa)	VT (kPa)	L.S. (m)
0,00 – 0,35	Suolo limoso sabbioso di colore nocciola	-	-	-
0,35 – 0,45	Roccia granitoida "arenizzata", coerente, di colore giallastro	-	-	

P.C. piano campagna attuale PP Prova Pocket Penetrometer VT Prova con scissometro tascabile  
L.S. Livello statico falda - Profondità dal p.c.

Coordinate WGS 84		Note
Latitudine	41,10248	Verticalità dello scavo mantenuta a breve termine Non si sono verificate venute d'acqua <b>Indagini eseguite a circa 300 m di distanza dalla torre</b>
Longitudine	9,28994	

TRINCEA ESPLORATIVA	CUMULI DI SCAVO
	 da 0,00 m a 0,35 m
	 da 0,35 m a 0,45 m

UBICAZIONE DELLA TRINCEA



Committente	Myt Eolo 1 S.r.l.	Data 03/07/23	Trincea esplorativa	L13_2
Cantiere	Parco eolico Luogosanto - <b>TORRE EOLICA L_13</b>			

PROF. DAL P.C. (m)	DESCRIZIONE LITOLOGICA	PP (kPa)	VT (kPa)	L.S. (m)
0,00 – 0,40	Suolo limoso sabbioso di colore bruno	-	-	-
0,40 – 0,80	Sabbione granitico addensato / pseudocoesivo, marrone	-	-	
0,80 – 1,10	Roccia granitoida "arenizzata", di color marrone rossastro	-	-	

P.C. piano campagna attuale PP Prova Pocket Penetrometer VT Prova con scissometro tascabile  
L.S. Livello statico falda - Profondità dal p.c.

Coordinate WGS 84		Note
Latitudine	41,10254	Verticalità dello scavo mantenuta a breve termine
Longitudine	9,28983	Non si sono verificate venute d'acqua
		<b>Indagini eseguite a circa 300 m di distanza dalla torre</b>

TRINCEA ESPLORATIVA	CUMULI DI SCAVO
	 da 0,00 m a 0,40 m
	 da 0,40 m a 1,10 m

UBICAZIONE DELLA TRINCEA



Committente	Myt Eolo 1 S.r.l.	Data 03/07/23	Trincea esplorativa	L13_3
Cantiere	Parco eolico Luogosanto - <b>TORRE EOLICA L_13</b>			

PROF. DAL P.C. (m)	DESCRIZIONE LITOLOGICA	PP (kPa)	VT (kPa)	L.S. (m)
0,00 – 0,40	Suolo limoso sabbioso di colore nocciola	-	-	-
0,40 – 1,00	Roccia granitoida "arenizzata", coerente, di colore giallastro	-	-	
1,00 – 1,20	Roccia granitoida "arenizzata", a blocchi, di colore rossastro	-	-	

P.C. piano campagna attuale PP Prova Pocket Penetrometer VT Prova con scissometro tascabile  
L.S. Livello statico falda - Profondità dal p.c.

Coordinate WGS 84		Note
Latitudine	41,10261	Verticalità dello scavo mantenuta a breve termine
Longitudine	9,29003	Non si sono verificate venute d'acqua
		<b>Indagini eseguite a circa 300 m di distanza dalla torre</b>

TRINCEA ESPLORATIVA	CUMULI DI SCAVO
	 da 0,00 m a 0,40 m
	 da 0,40 m a 1,20 m

UBICAZIONE DELLA TRINCEA






# TECHNOPROVE Srl

Prove di laboratorio / in sito e controlli per l'industria delle costruzioni - Laboratorio geotecnico e chimico

Viale dell'Industria 22 - 36100 VICENZA  
Tel./Fax: 0444 966121 / 966129 - Email: [techno@technoprove.it](mailto:techno@technoprove.it) - Internet: [www.technoprove.it](http://www.technoprove.it)  
Cod. fisc.: 04635880588 - Part. IVA: 01869370245 - Soc. Unipersonale - PEC: [technoprove@pec.it](mailto:technoprove@pec.it)

Laboratorio autorizzato dal Min. Infrastrutture per prove sui materiali da costruzione e le terre - L.1086/71 - DPR 380/01  
Sistema Qualità certificato UNI EN ISO 9001:2015

**Rapporto di prova n° 228 I/3/01**

Data di emissione: 30/08/23

E' vietata la riproduzione anche parziale del presente documento senza l'autorizzazione di Technoprove

Richiedente:	Geotechna S.r.l.	Torri di Quartesolo	VI
Intestatario fattura:	Geotechna S.r.l.	Torri di Quartesolo	VI
Data della richiesta:	03/08/23	Data di accettazione:	04/08/23

Campioni consegnati il: 03/08/23

Ident. int.	Identificazione / descrizione fornita dal Richiedente	Descrizione / aspetto
A	Campione di roccia sigla S1/L23	Campione di roccia

**Compressione di materiali lapidei**

Norma: **UNI EN 1926**

Ver.: **2007**

Cod.: GEO203

Risultati di prova:

int.	Identificazione del provino	Dimensioni del provino			Sezione mm <sup>2</sup>	Massa Kg	Massa volumica apparente Kg/m <sup>3</sup>	Carico massimo kN	Resistenza unitaria MPa
		larg./ $\phi$ mm	lung. mm	alt. mm					
A	S1/L23	78.67		79.47	4861	0.102	265	826.6	170.1

Note:

1. Condizionamento: provino essiccato in forno a 70 °C per 24 ore.
2. La prova è stata eseguita in deroga alla norma su un numero di provini inferiore a quello indicato dalla norma stessa (n° 10).

Data di prova: 30/08/23

Attrezzature principali:

Pressa automatica da 3000 kN Controls	Controls S.p.A.	n° interno:	615
Calibro digitale Mitutoyo da 200 mm - 3	Mitutoyo		669
Bilancia Sartorius centesimale - 2	Sartorius AG		192

Lo sperimentatore  
Dott. Alessandro Frison

Il responsabile  
Dott. Alessandro Frison

Rapporto di prova n° 228 I/3/01

MSTC19c

pag. 1 di 1



# Ubicazione delle indagini eseguite



## Legenda

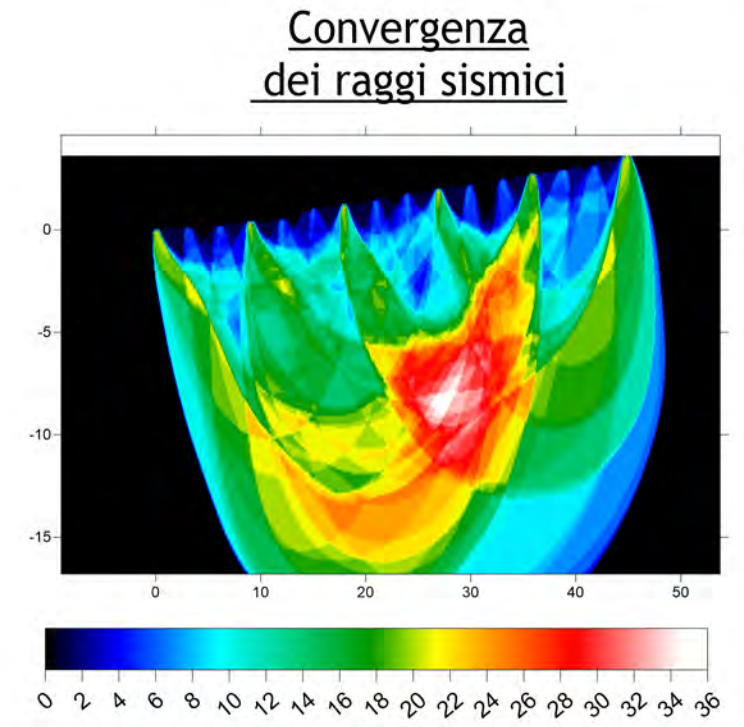
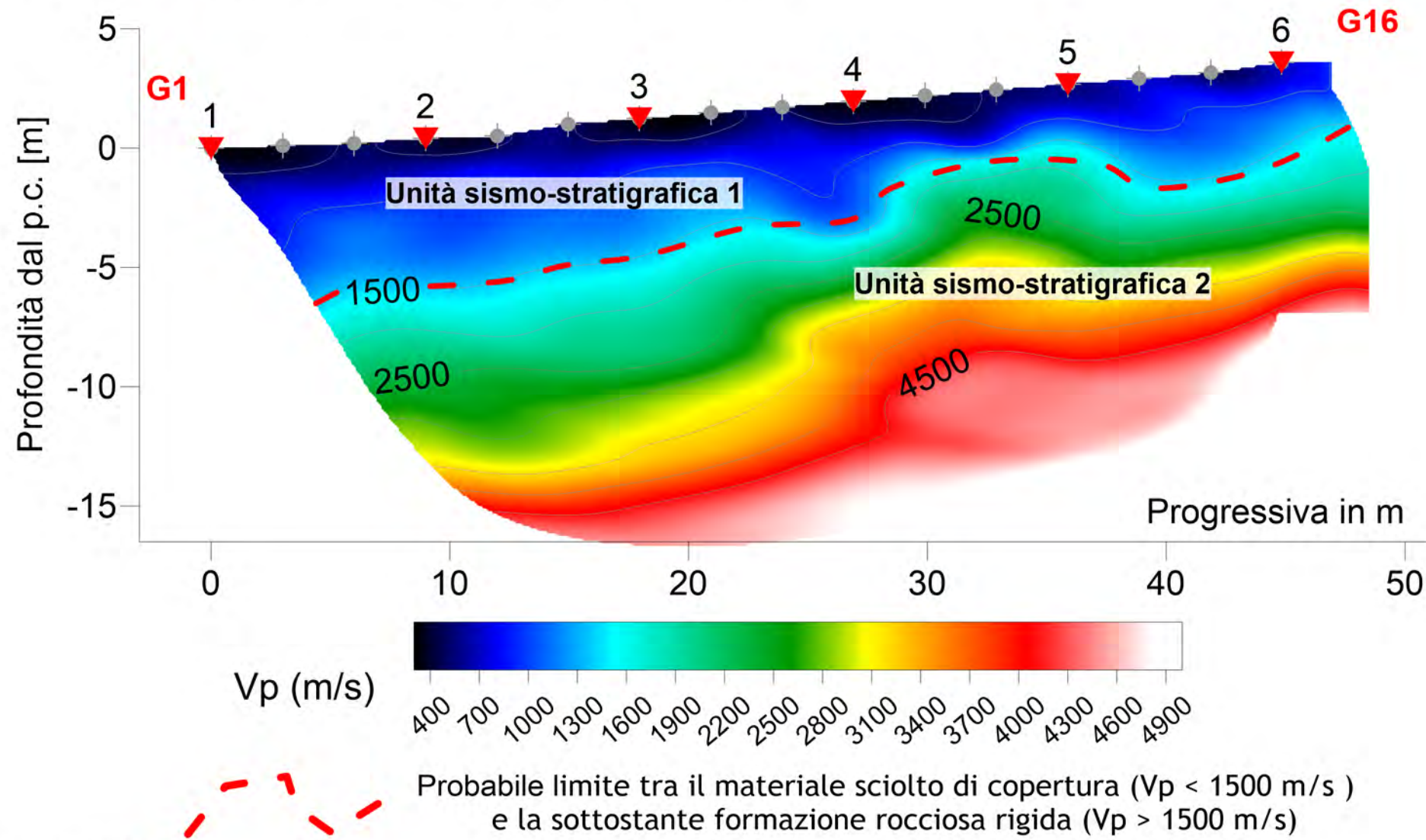
-  Indagini sismiche eseguite in prossimità delle aree accessibili
-  Indagini sismiche eseguite in prossimità delle aree in esame non ancora accessibili
-  Altre indagini sismiche eseguite

**CAMPAGNA DI  
INDAGINE GEOFISICA**

**Comune di Luogosanto (SS)**

Tav. 01

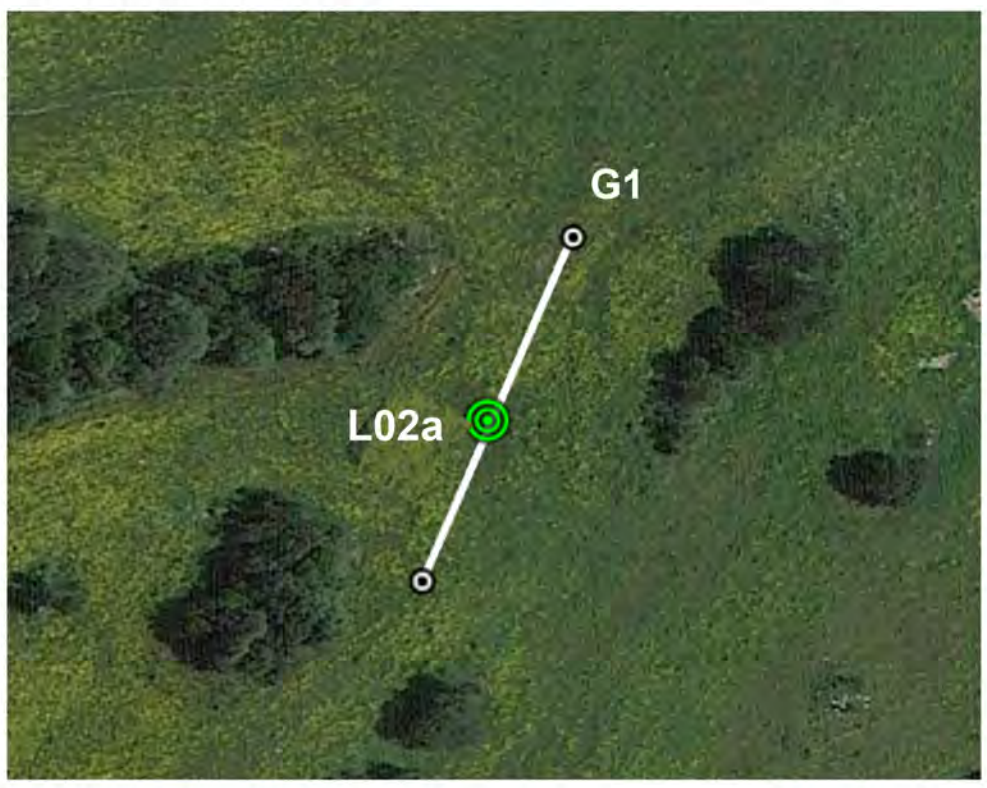
# Indagine tomografica sismica in onde P: RIF L02a



- ▼ Posizione degli shot
- Posizione dei geofoni

Strumento: SoilSpy Rosina  
 Geofoni: 16  
 Energizzazione: mazza 5 kg  
 Elaborazione 2D: Rayfract  
 Tempi di arrivo validi = tutti  
 Errore finale di inversione = < 2%

## Ubicazione indagine

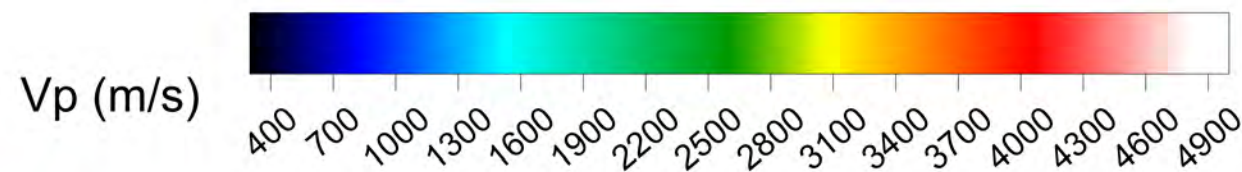
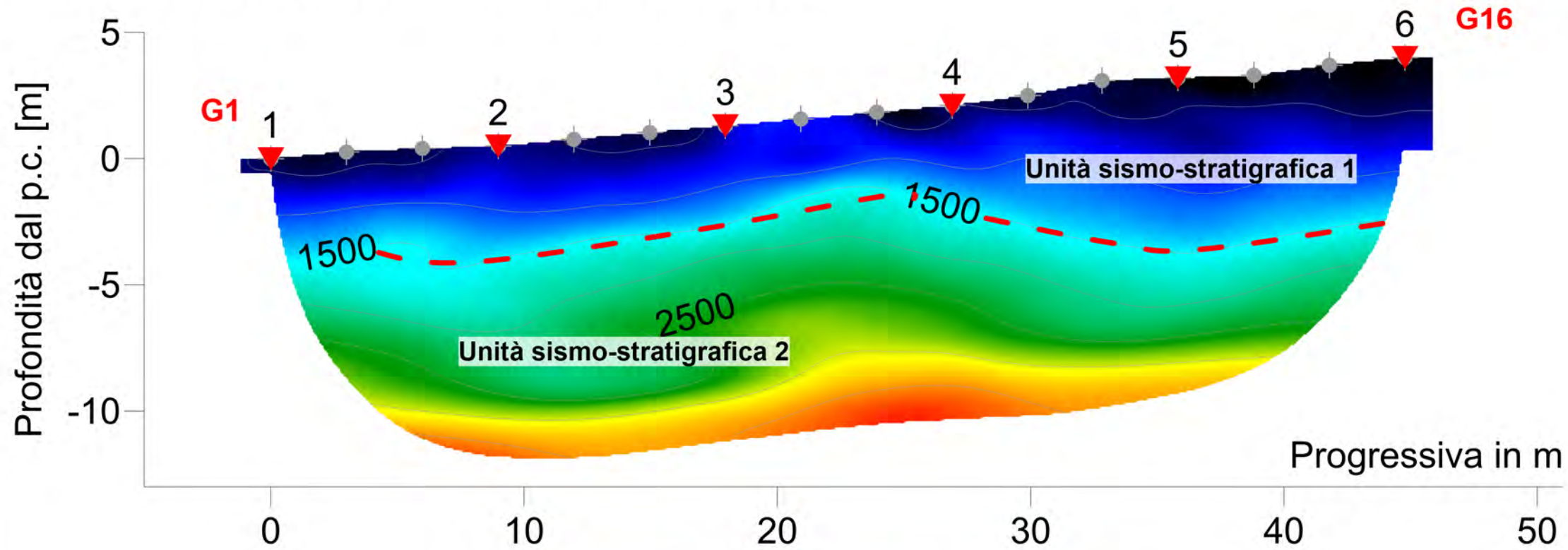


## Documentazione fotografica



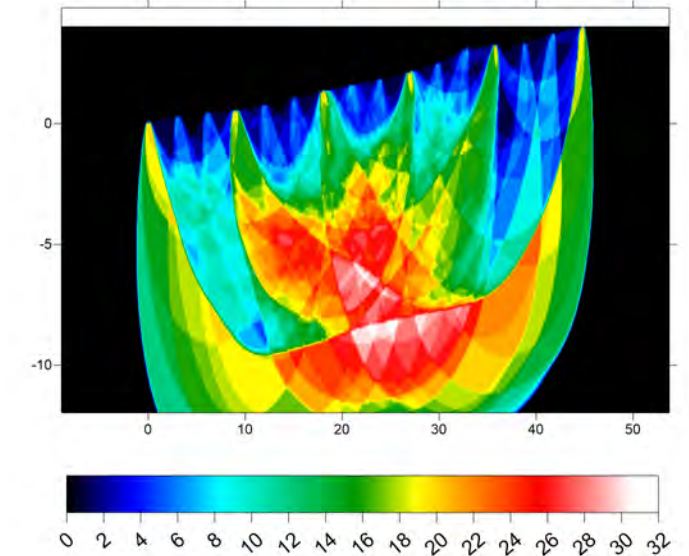
<b>INDAGINE GEOFISICA</b>
<b>Indagine sismica tomografica in onde P</b>
Coord.G1: Lat. 41.100059° N - Lon. 9.234249° E (WGS-84)
<b>Comune di Luogosanto (SS)</b>
<b>SEZIONE GEO-SISMICA 2D</b> <b>Linea RIF L02a</b>
<b>Tav. 02</b>

# Indagine tomografica sismica in onde P: RIF L02b



Probabile limite tra il materiale sciolto di copertura ( $V_p < 1500$  m/s) e la sottostante formazione rocciosa rigida ( $V_p > 1500$  m/s)

## Convergenza dei raggi sismici



- Posizione degli shot
- Posizione dei geofoni

Strumento: SoilSpy Rosina  
 Geofoni: 16  
 Energizzazione: mazza 5 kg  
 Elaborazione 2D: Rayfract  
 Tempi di arrivo validi = tutti  
 Errore finale di inversione = 3.5%

## Ubicazione indagine



## Documentazione fotografica



## INDAGINE GEOFISICA

Indagine sismica tomografica in onde P

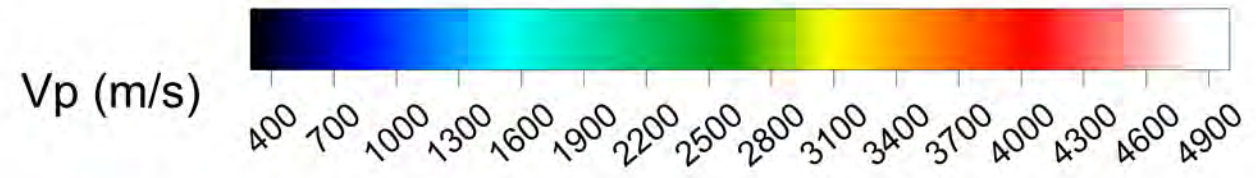
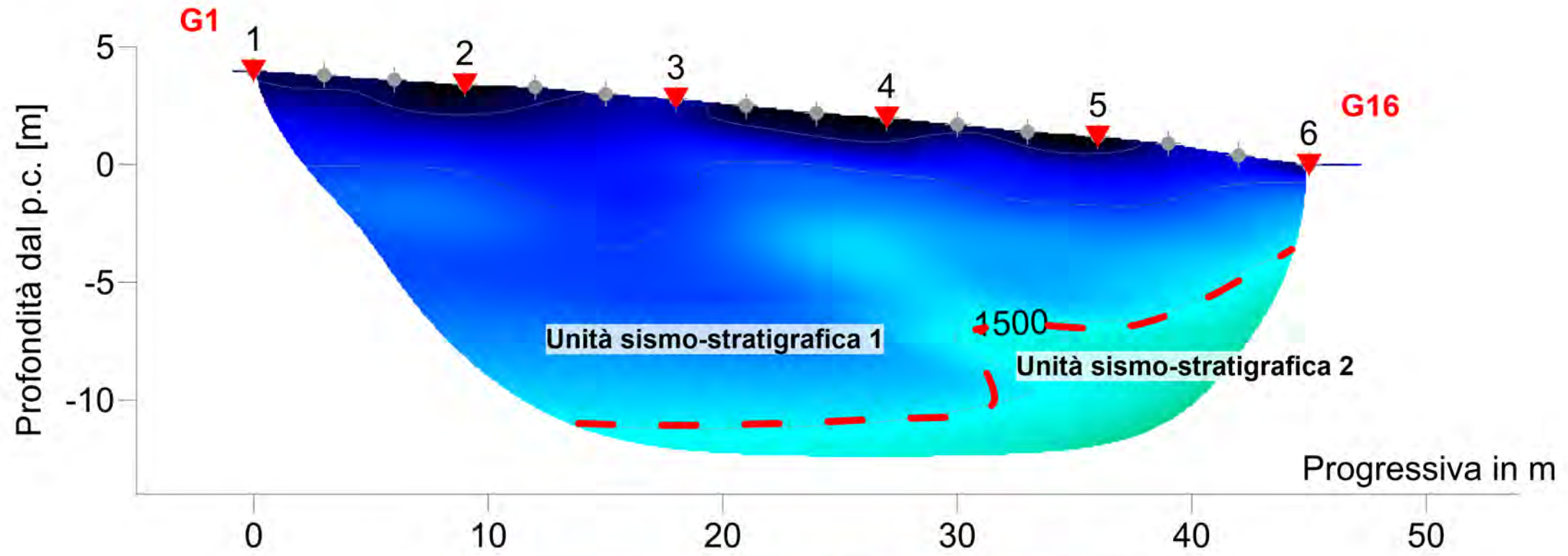
Coord.G1: Lat. 41.097455° N - Lon. 9.239188° E (WGS-84)

Comune di Luogosanto (SS)

**SEZIONE GEO-SISMICA 2D**  
 Linea RIF L02b

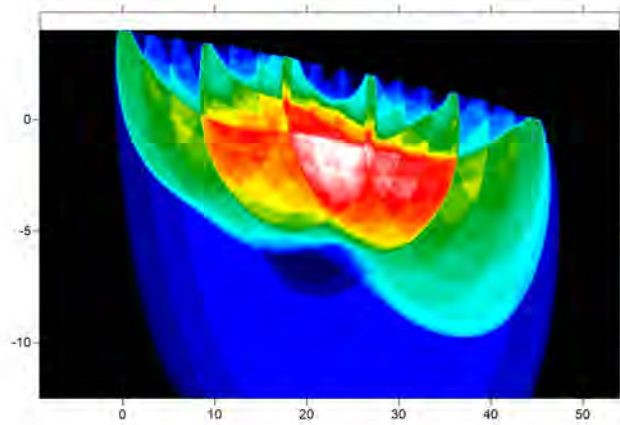
Tav. 03

Indagine tomografica sismica in onde P: RIF L07



Probabile limite tra il materiale sciolto di copertura ( $V_p < 1500$  m/s) e la sottostante formazione rocciosa rigida ( $V_p > 1500$  m/s)

Convergenza dei raggi sismici

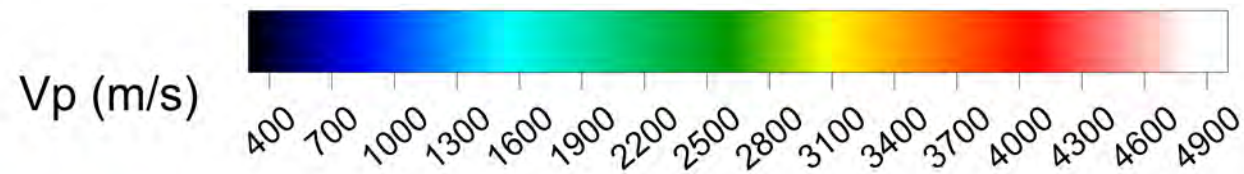
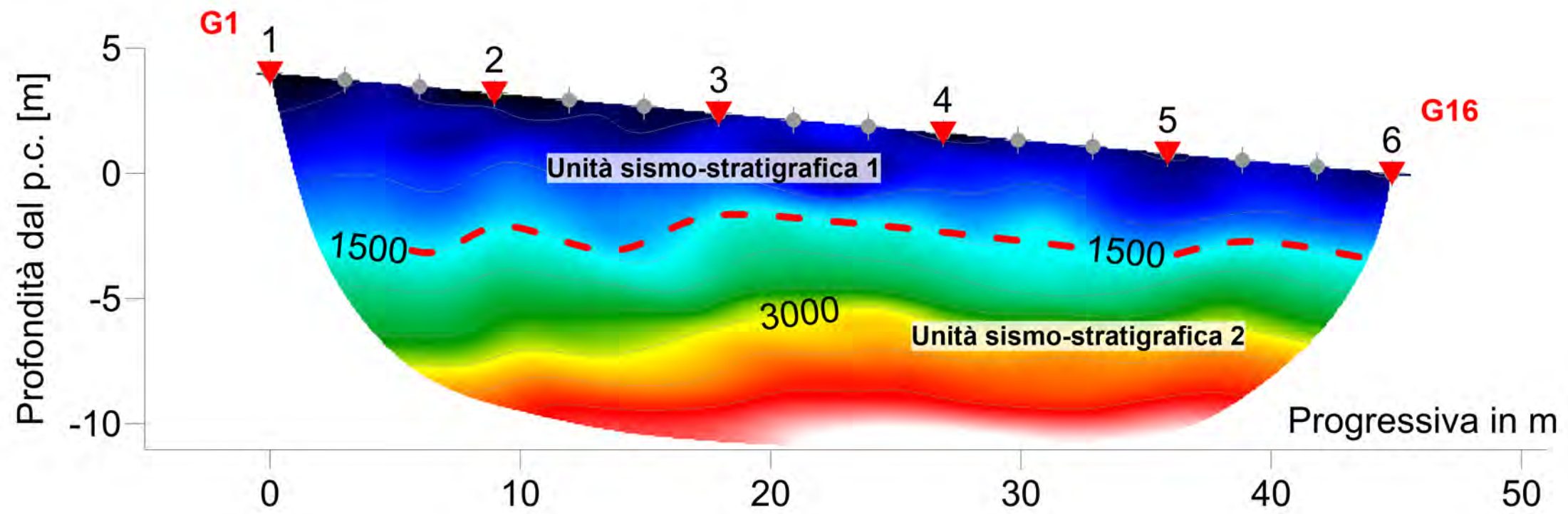


- Posizione degli shot
- Posizione dei geofoni

Strumento: SoilSpy Rosina  
 Geofoni: 16  
 Energizzazione: mazza 5 kg  
 Elaborazione 2D: Rayfract  
 Tempi di arrivo validi = tutti  
 Errore finale di inversione = < 4%

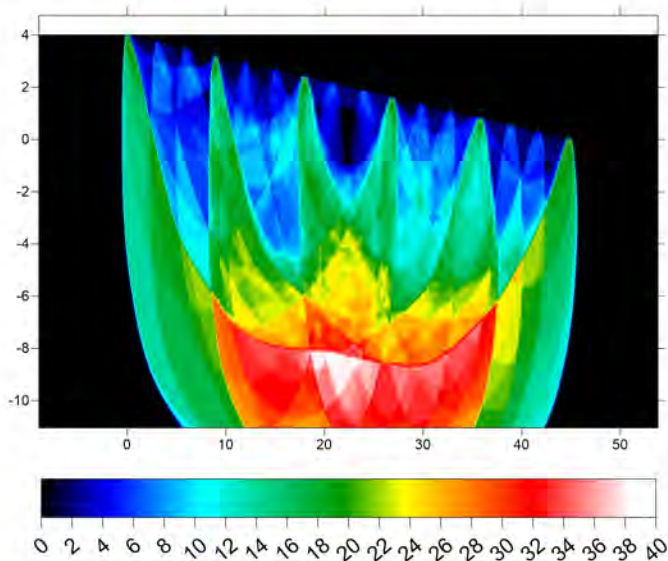
<b>INDAGINE GEOFISICA</b>
Indagine sismica tomografica in onde P
Comune di Luogosanto (SS)
<b>SEZIONE GEO-SISMICA 2D</b> Linea RIF L07
Tav. 04

Indagine tomografica sismica in onde P: RIF L09



Probabile limite tra il materiale sciolto di copertura ( $V_p < 1500$  m/s )  
e la sottostante formazione rocciosa rigida ( $V_p > 1500$  m/s)

Convergenza  
dei raggi sismici



- Posizione degli shot
- Posizione dei geofoni

Strumento: SoilSpy Rosina  
Geofoni: 16  
Energizzazione: mazza 5 kg  
Elaborazione 2D: Rayfract  
Tempi di arrivo validi = tutti  
Errore finale di inversione = < 2%

**INDAGINE GEOFISICA**

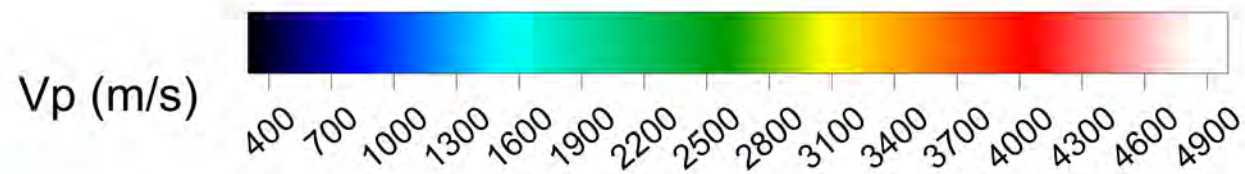
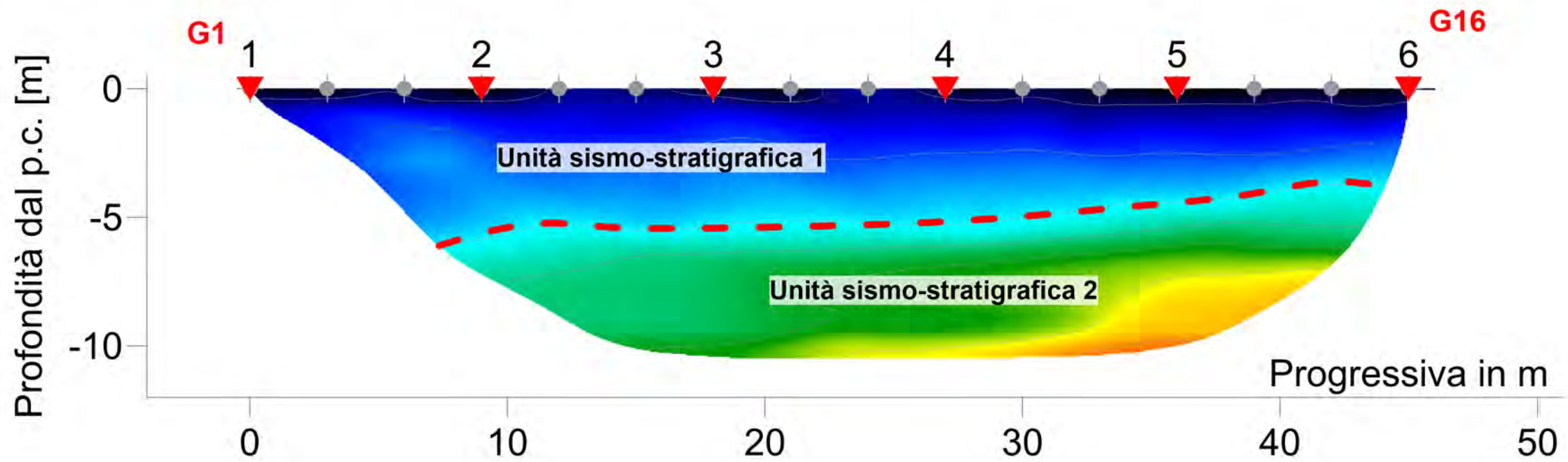
Indagine sismica tomografica in onde P

Comune di Luogosanto (SS)

**SEZIONE GEO-SISMICA 2D  
Linea RIF L09**

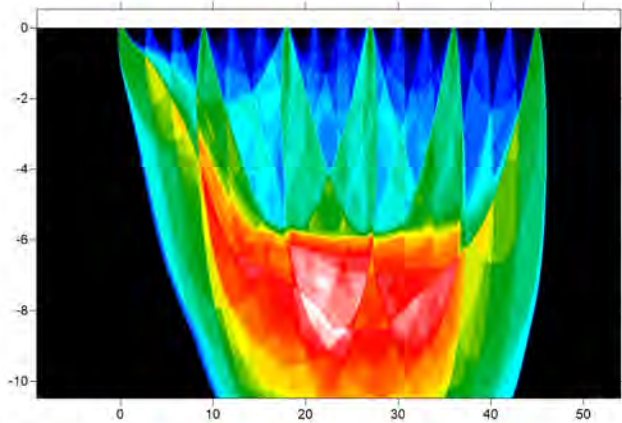
Tav. 05

Indagine tomografica sismica in onde P: RIF L10



Probabile limite tra il materiale sciolto di copertura ( $V_p < 1500$  m/s )  
e la sottostante formazione rocciosa rigida ( $V_p > 1500$  m/s)

Convergenza  
dei raggi sismici



- Posizione degli shot
- Posizione dei geofoni

Strumento: SoilSpy Rosina  
Geofoni: 16  
Energizzazione: mazza 5 kg  
Elaborazione 2D: Rayfract  
Tempi di arrivo validi = tutti  
Errore finale di inversione = < 3%

**INDAGINE GEOFISICA**

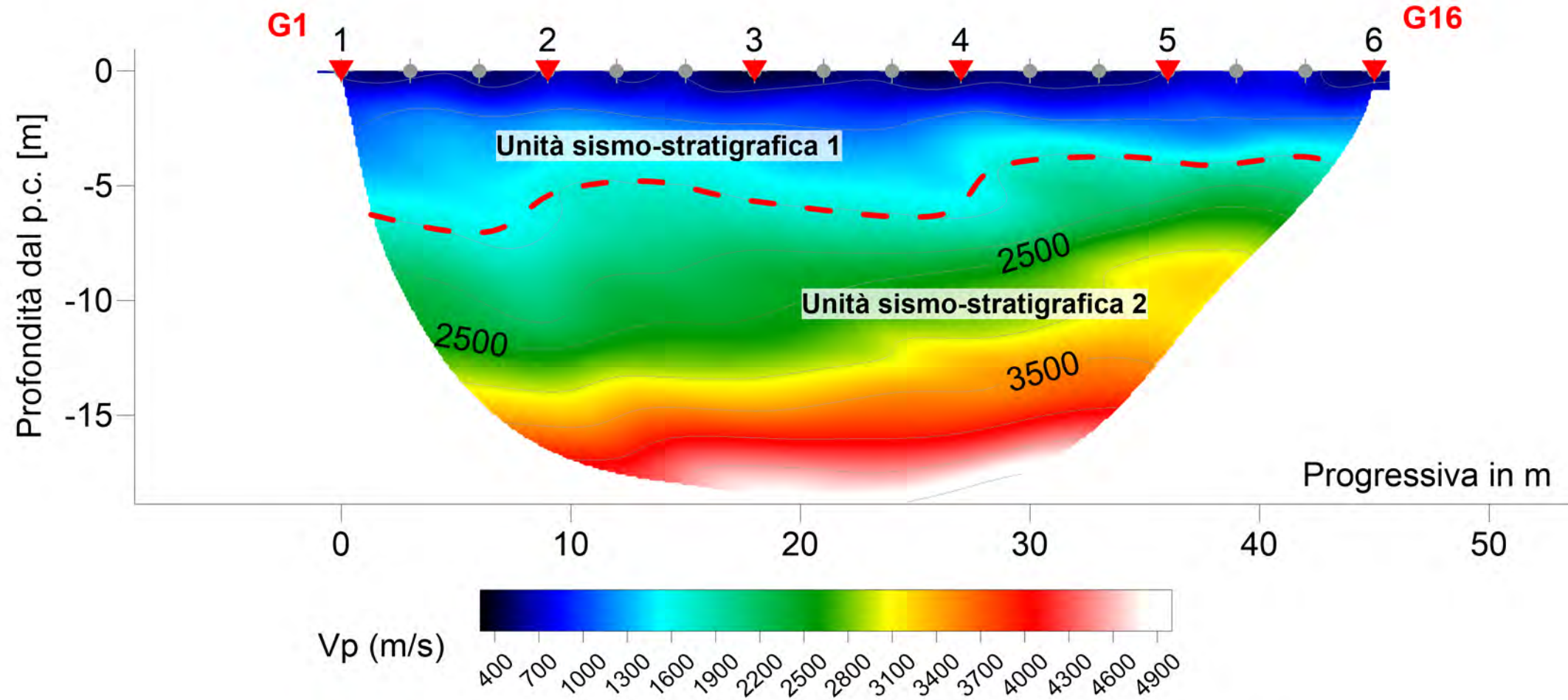
Indagine sismica tomografica in onde P

Comune di Luogosanto (SS)

**SEZIONE GEO-SISMICA 2D  
Linea RIF L10**

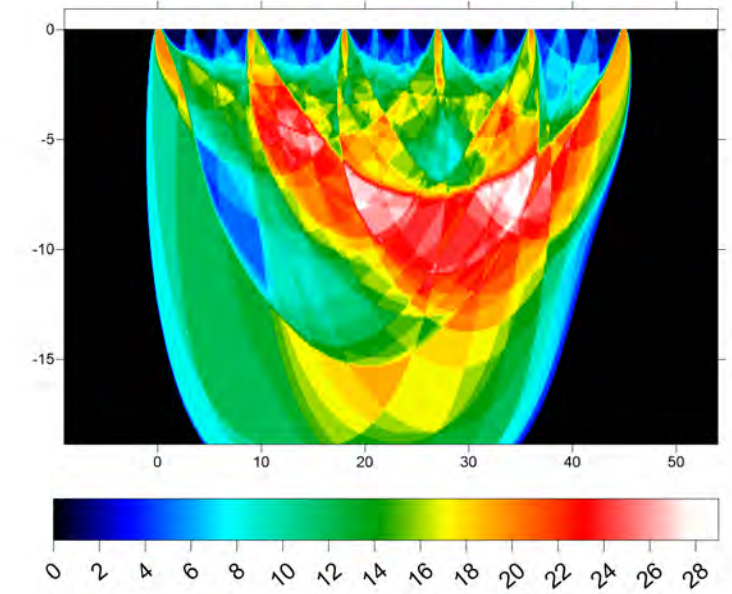
Tav. 06

# Indagine tomografica sismica in onde P: RIF L11



Probabile limite tra il materiale sciolto di copertura ( $V_p < 1500$  m/s) e la sottostante formazione rocciosa rigida ( $V_p > 1500$  m/s)

## Convergenza dei raggi sismici



- ▼ Posizione degli shot
- Posizione dei geofoni

Strumento: SoilSpy Rosina  
 Geofoni: 16  
 Energizzazione: mazza 5 kg  
 Elaborazione 2D: Rayfract  
 Tempi di arrivo validi = tutti  
 Errore finale di inversione = < 6%

## Ubicazione indagine



## Documentazione fotografica



## INDAGINE GEOFISICA

Indagine sismica tomografica in onde P

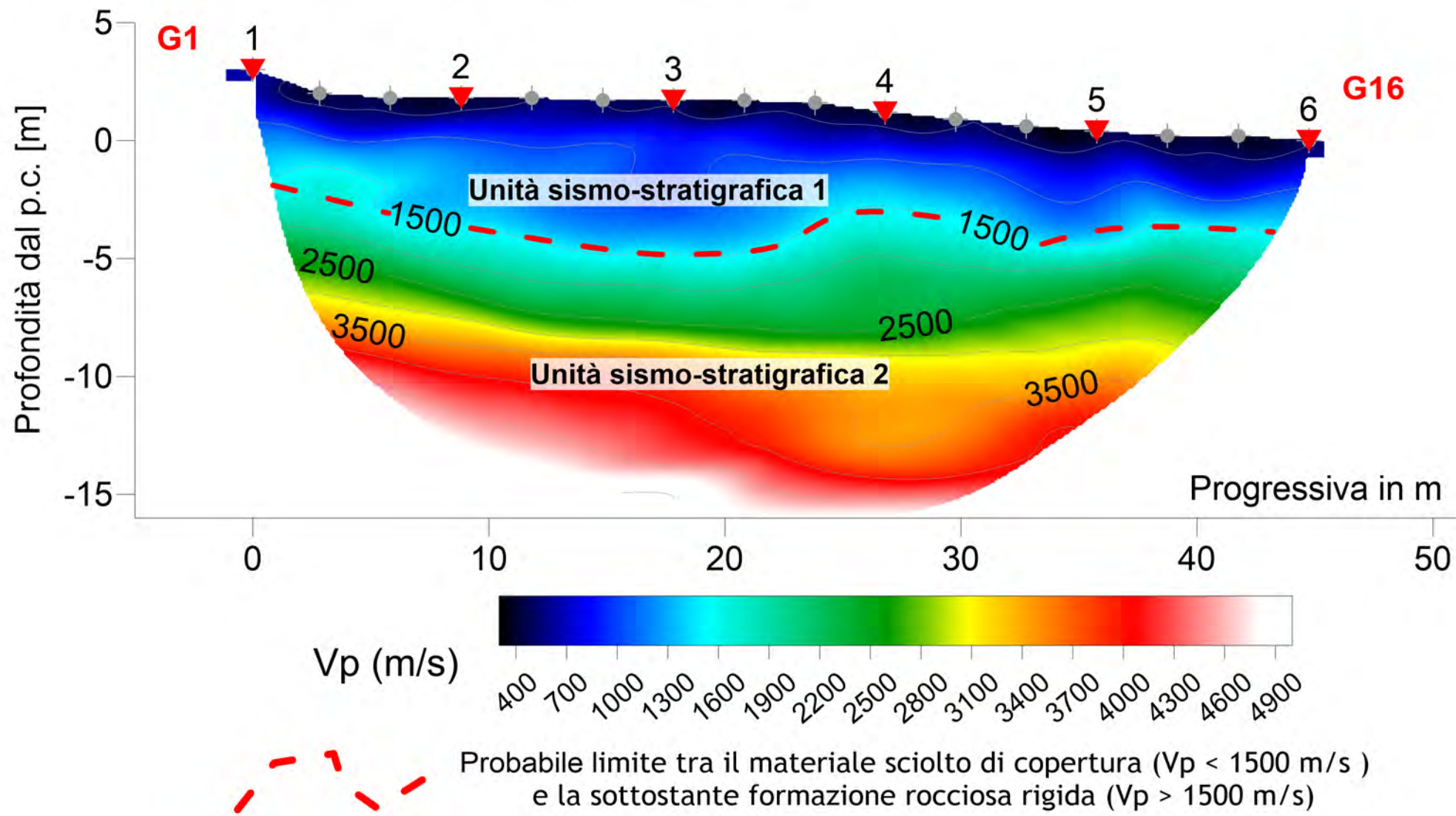
Coord.G1: Lat. 41.100066° N - Lon. 9.282531° E (WGS-84)

Comune di Luogosanto (SS)

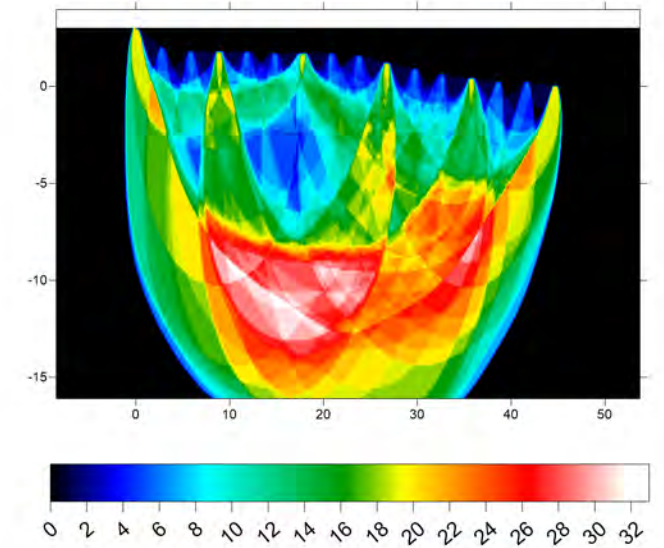
**SEZIONE GEO-SISMICA 2D**  
**Linea RIF L11**

Tav. 07

# Indagine tomografica sismica in onde P: RIF L12



## Convergenza dei raggi sismici



- Posizione degli shot
- Posizione dei geofoni

Strumento: SoilSpy Rosina  
 Geofoni: 16  
 Energizzazione: mazza 5 kg  
 Elaborazione 2D: Rayfract  
 Tempi di arrivo validi = tutti  
 Errore finale di inversione = < 3%

## Ubicazione indagine



## Documentazione fotografica



## INDAGINE GEOFISICA

Indagine sismica tomografica in onde P

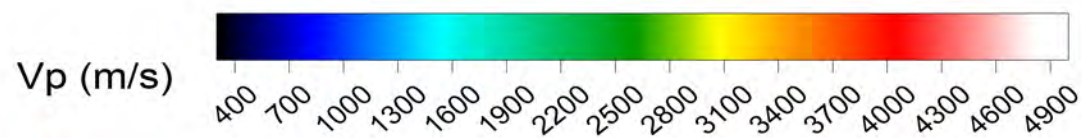
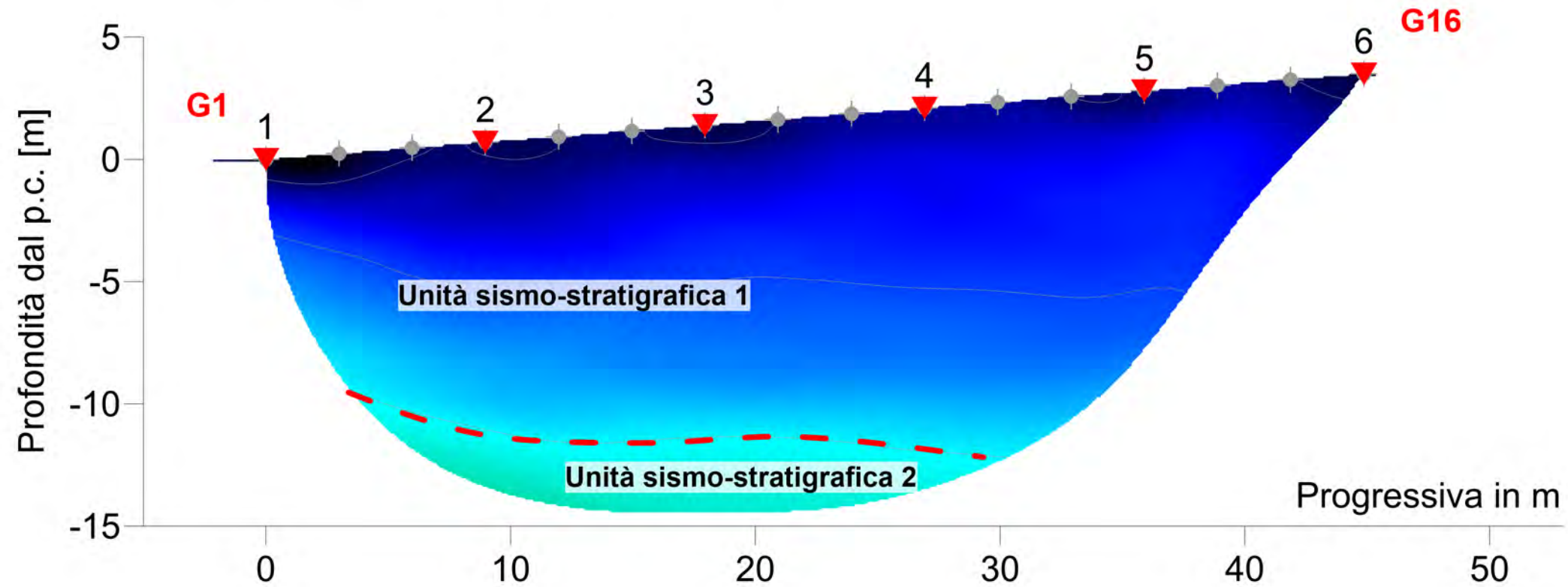
Coord.G1: Lat. 41.102574° N - Lon. 9.279255° E (WGS-84)

Comune di Luogosanto (SS)

**SEZIONE GEO-SISMICA 2D**  
 Linea RIF L12

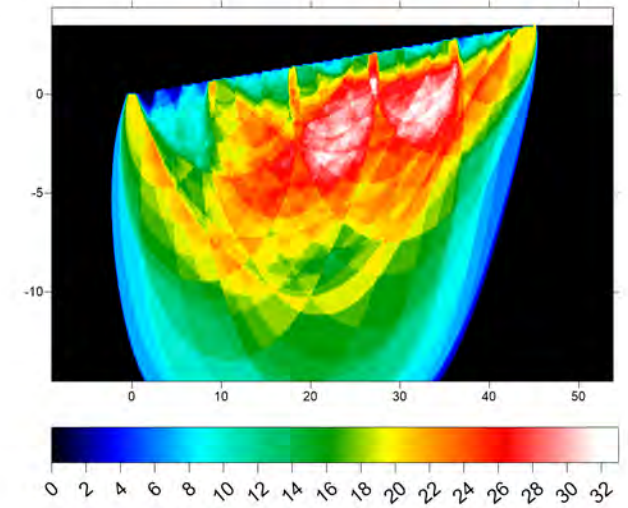
Tav. 08

# Indagine tomografica sismica in onde P: RIF L13



Probabile limite tra il materiale sciolto di copertura ( $V_p < 1500$  m/s) e la sottostante formazione rocciosa rigida ( $V_p > 1500$  m/s)

## Convergenza dei raggi sismici



- Posizione degli shot
- Posizione dei geofoni

Strumento: SoilSpy Rosina  
 Geofoni: 16  
 Energizzazione: mazza 5 kg  
 Elaborazione 2D: Rayfract  
 Tempi di arrivo validi = tutti  
 Errore finale di inversione = < 4%

## Ubicazione indagine



## Documentazione fotografica



## INDAGINE GEOFISICA

Indagine sismica tomografica in onde P

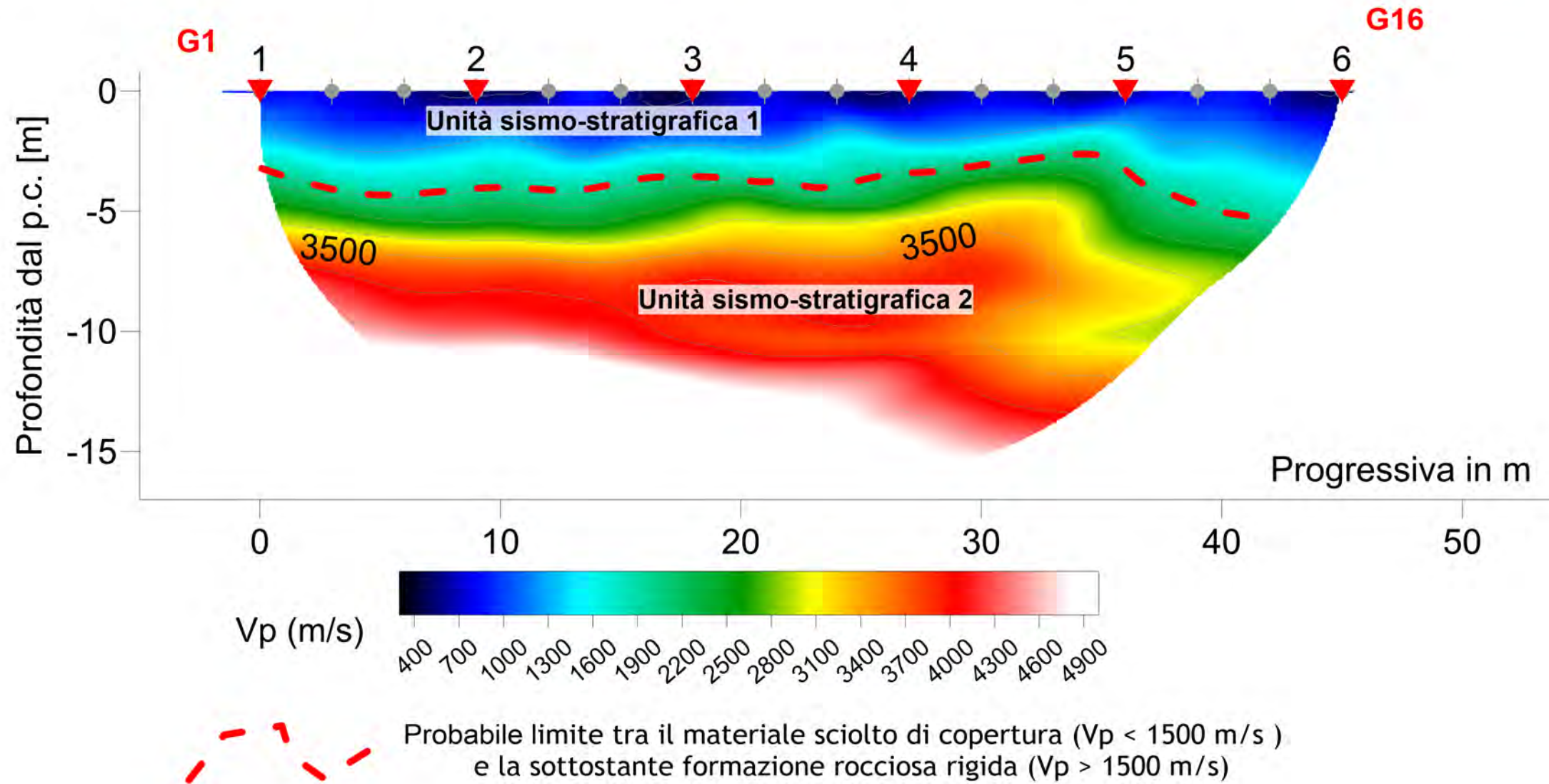
Coord.G1: Lat. 41.102503° N - Lon. 9.289890° E (WGS-84)

Comune di Luogosanto (SS)

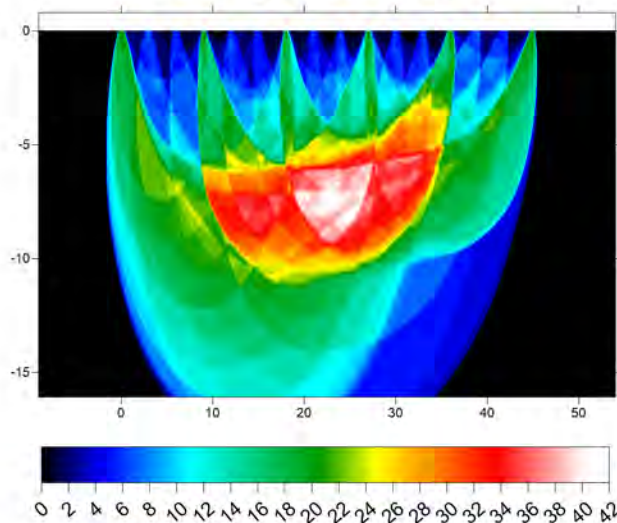
**SEZIONE GEO-SISMICA 2D**  
**Linea RIF L13**

Tav. 09

Indagine tomografica sismica in onde P: RIF A



Convergenza  
dei raggi sismici

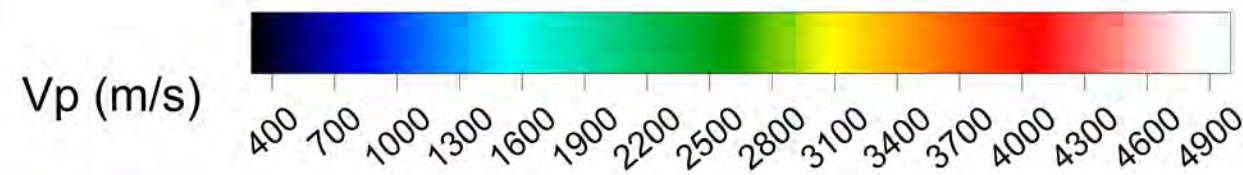
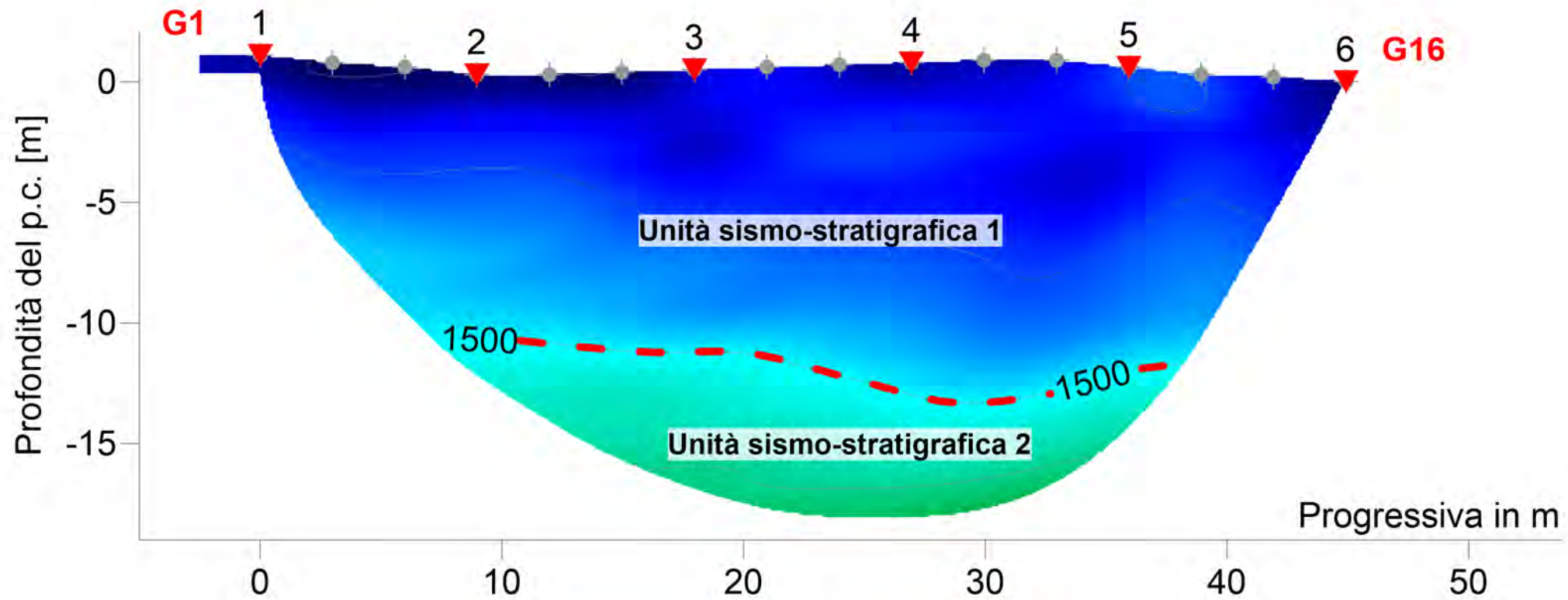


-  Posizione degli shot
-  Posizione dei geofoni

Strumento: SoilSpy Rosina  
 Geofoni: 16  
 Energizzazione: mazza 5 kg  
 Elaborazione 2D: Rayfract  
 Tempi di arrivo validi = tutti  
 Errore finale di inversione = < 4%

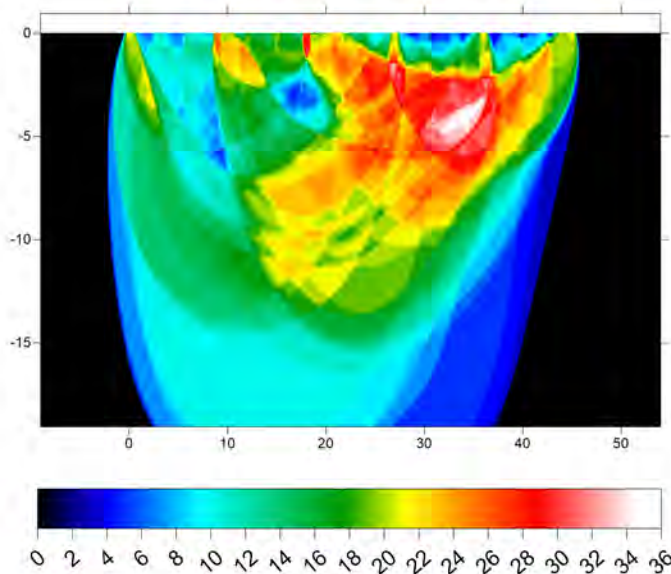
<b>INDAGINE GEOFISICA</b>
Indagine sismica tomografica in onde P
Comune di Luogosanto (SS)
<b>SEZIONE GEO-SISMICA 2D Linea RIF A</b>
Tav. 10

# Indagine tomografica sismica in onde P: RIF B



Probabile limite tra il materiale sciolto di copertura ( $V_p < 1500$  m/s) e la sottostante formazione rocciosa rigida ( $V_p > 1500$  m/s)

## Convergenza dei raggi sismici

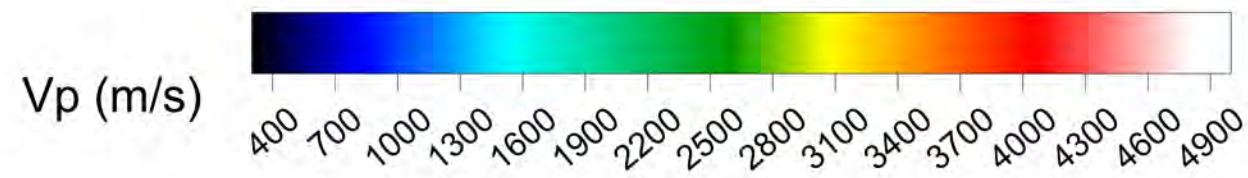
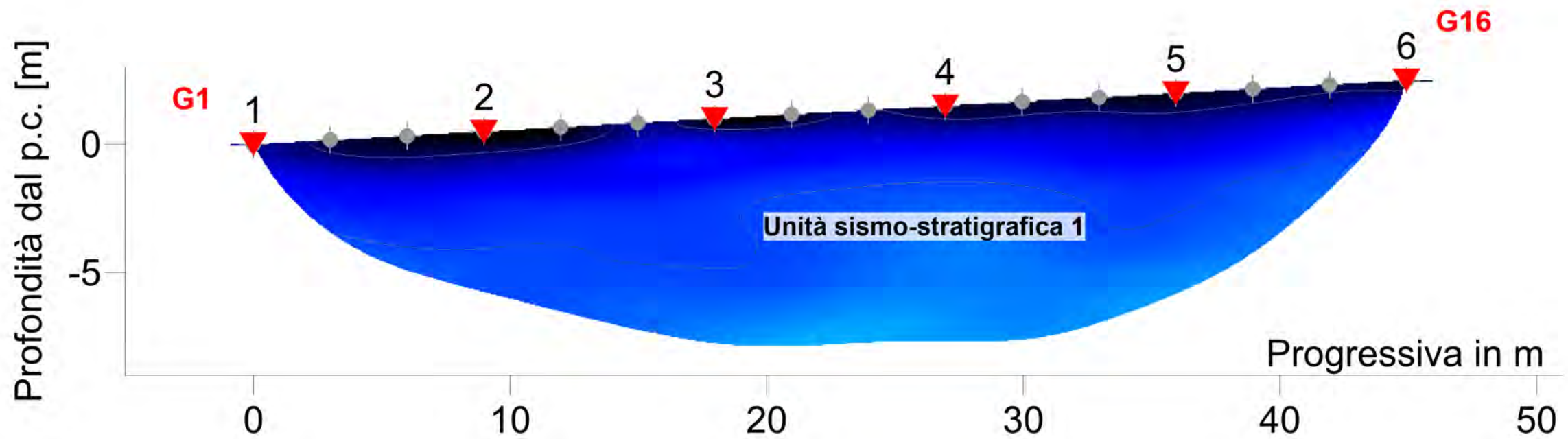


- Posizione degli shot
- Posizione dei geofoni

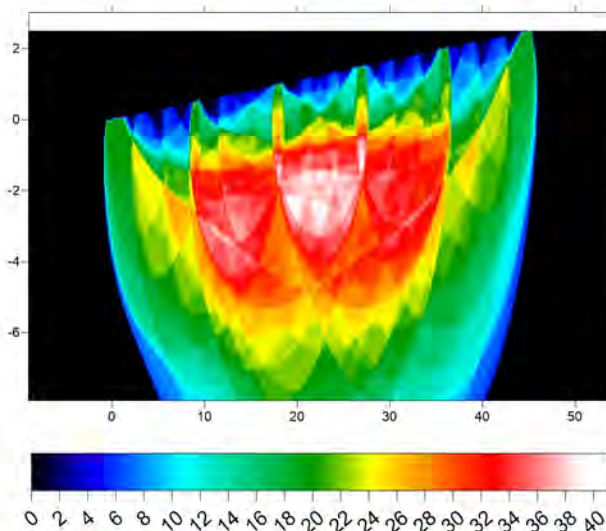
Strumento: SoilSpy Rosina  
 Geofoni: 16  
 Energizzazione: mazza 5 kg  
 Elaborazione 2D: Rayfract  
 Tempi di arrivo validi = tutti  
 Errore finale di inversione = < 2%

<b>INDAGINE GEOFISICA</b>
Indagine sismica tomografica in onde P
Comune di Luogosanto (SS)
<b>SEZIONE GEO-SISMICA 2D</b> Linea RIF B
Tav. 11

Indagine tomografica sismica in onde P: RIF C



Convergenza  
dei raggi sismici

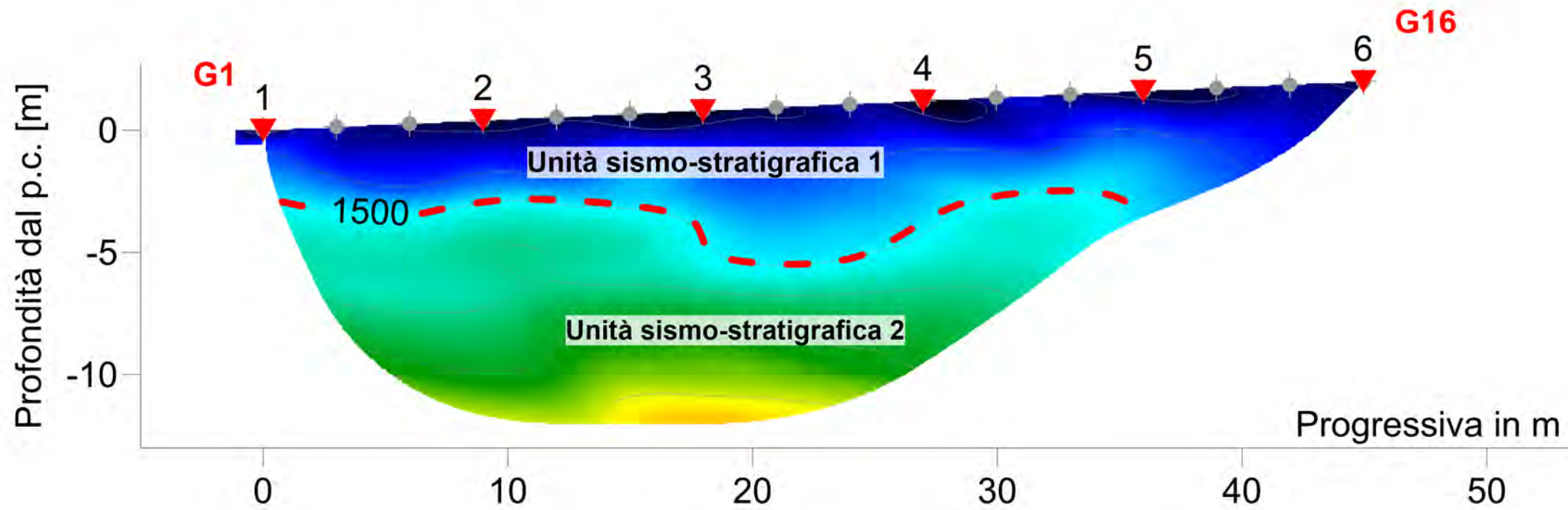


- Posizione degli shot
- Posizione dei geofoni

Strumento: SoilSpy Rosina  
 Geofoni: 16  
 Energizzazione: mazza 5 kg  
 Elaborazione 2D: Rayfract  
 Tempi di arrivo validi = tutti  
 Errore finale di inversione = < 3%

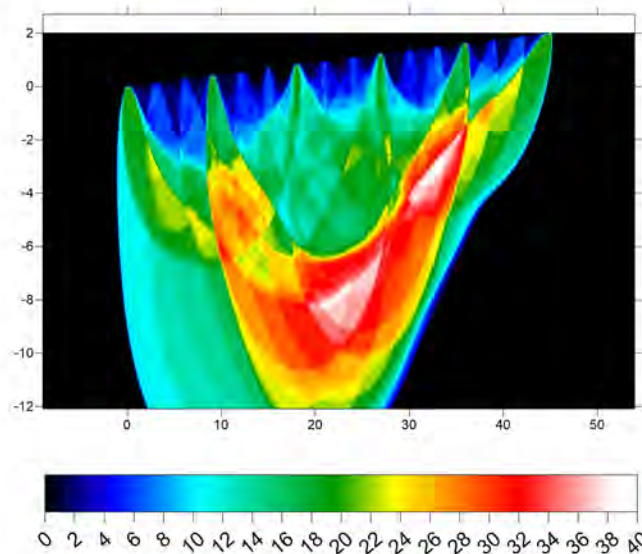
<b>INDAGINE GEOFISICA</b>
Indagine sismica tomografica in onde P
Comune di Luogosanto (SS)
<b>SEZIONE GEO-SISMICA 2D</b> Linea RIF C
Tav. 12

Indagine tomografica sismica in onde P: RIF D



Probabile limite tra il materiale sciolto di copertura ( $V_p < 1500$  m/s) e la sottostante formazione rocciosa rigida ( $V_p > 1500$  m/s)

Convergenza dei raggi sismici

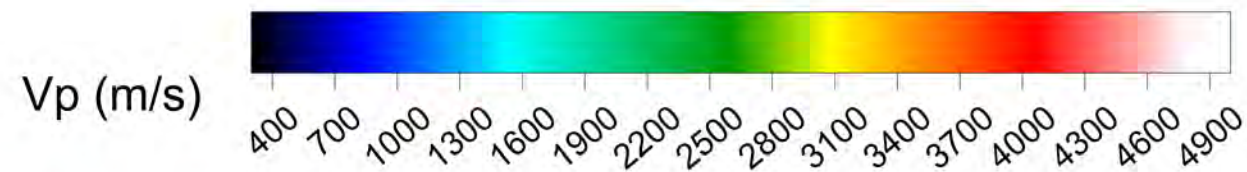
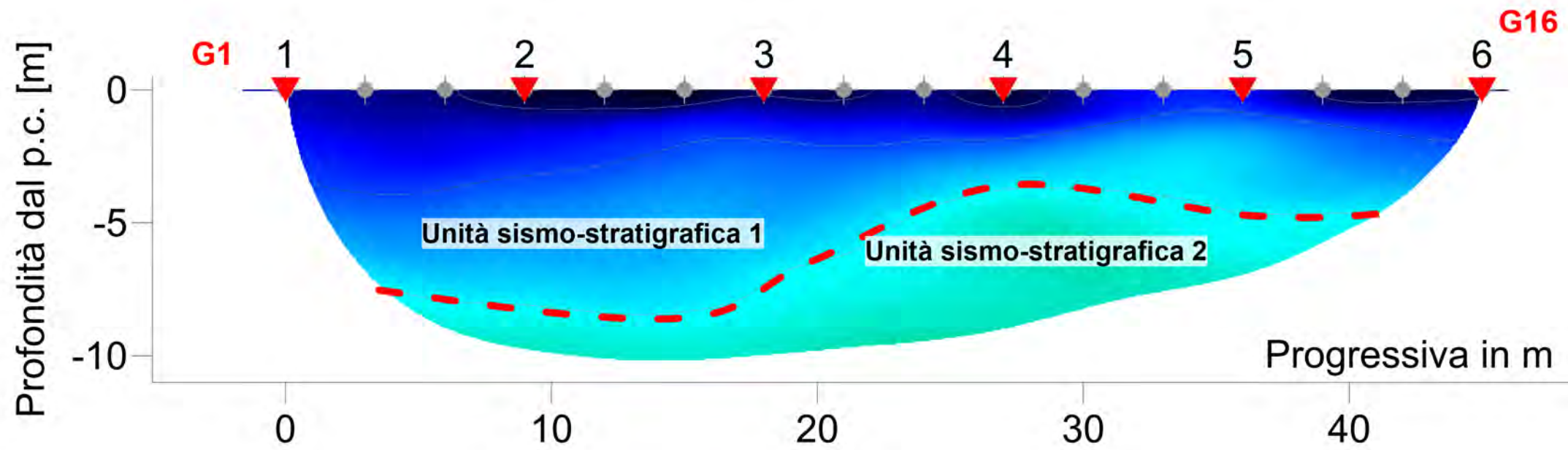


-  Posizione degli shot
-  Posizione dei geofoni

Strumento: SoilSpy Rosina  
 Geofoni: 16  
 Energizzazione: mazza 5 kg  
 Elaborazione 2D: Rayfract  
 Tempi di arrivo validi = tutti  
 Errore finale di inversione = < 4%

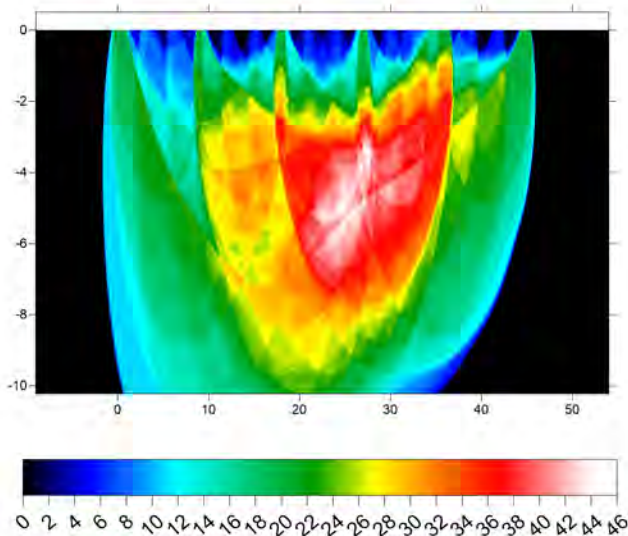
<b>INDAGINE GEOFISICA</b>
Indagine sismica tomografica in onde P
Comune di Luogosanto (SS)
<b>SEZIONE GEO-SISMICA 2D</b> Linea RIF D
Tav. 13

Indagine tomografica sismica in onde P: RIF E



Probabile limite tra il materiale sciolto di copertura ( $V_p < 1500$  m/s) e la sottostante formazione rocciosa rigida ( $V_p > 1500$  m/s)

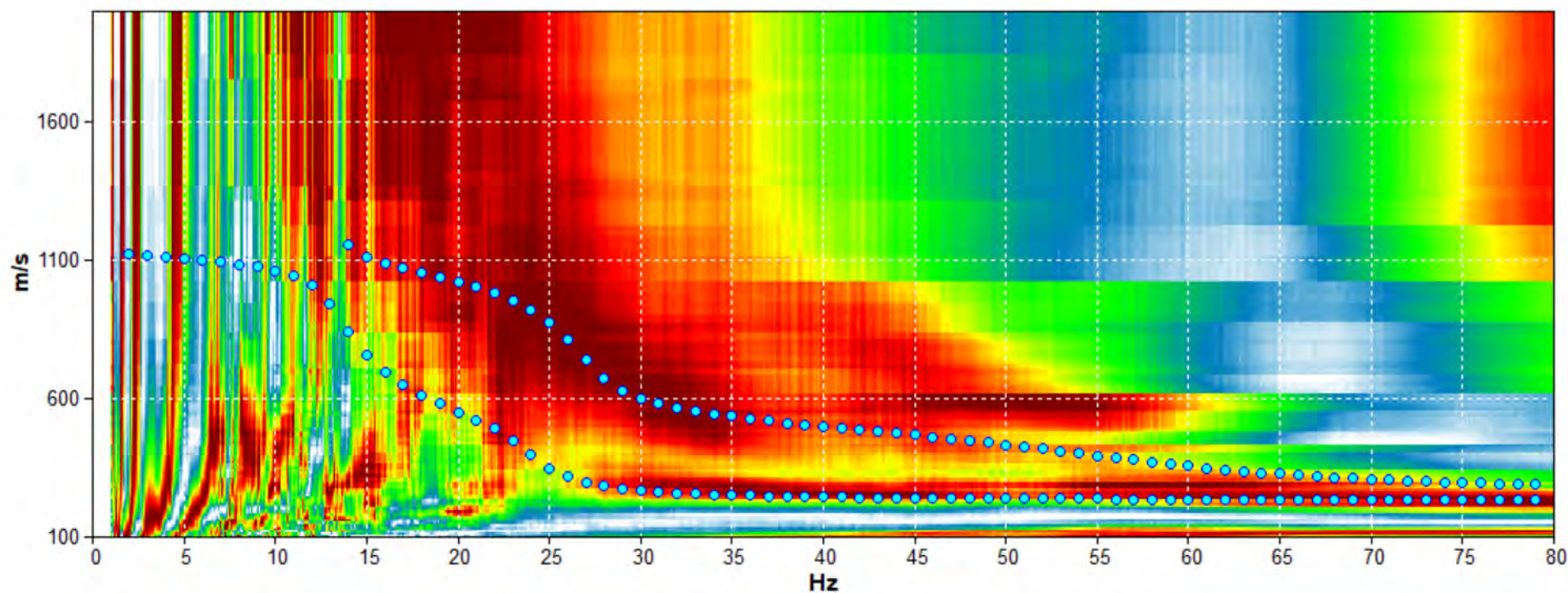
Convergenza dei raggi sismici



- Posizione degli shot
- Posizione dei geofoni

Strumento: SoilSpy Rosina  
 Geofoni: 16  
 Energizzazione: mazza 5 kg  
 Elaborazione 2D: Rayfract  
 Tempi di arrivo validi = tutti  
 Errore finale di inversione = < 5%

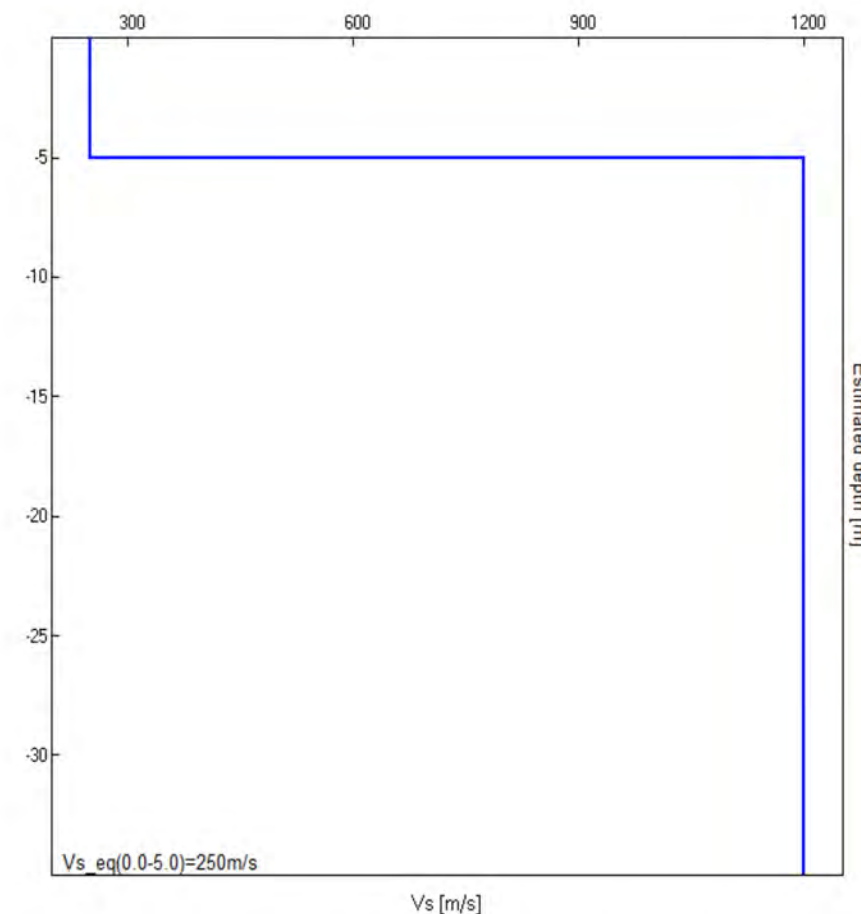
<b>INDAGINE GEOFISICA</b>
Indagine sismica tomografica in onde P
Comune di Luogosanto (SS)
<b>SEZIONE GEO-SISMICA 2D</b> Linea RIF E
Tav. 14



**Spettro di velocità e curve sintetiche da indagine sismica in array (Re.Mi.)**

Indagine sismica Re.Mi. L02a	Velocità onde di taglio [m/s]	Spessori [m]	Profondità [m]
I SISMOSTRATO	250	5	0,0 - 5,0
II SISMOSTRATO	1200	Semisp.	5,0 - Semisp.

**Modello sismo-stratigrafico interpretativo**



**Profilo verticale onde S (Vs)**

*Vs,eq calcolato dal p.c.*

0 m dal p.c.	250 m/s	<b>Categoria E</b>
--------------	---------	--------------------

Ubicazione indagine



Documentazione fotografica



**INDAGINE GEOFISICA**

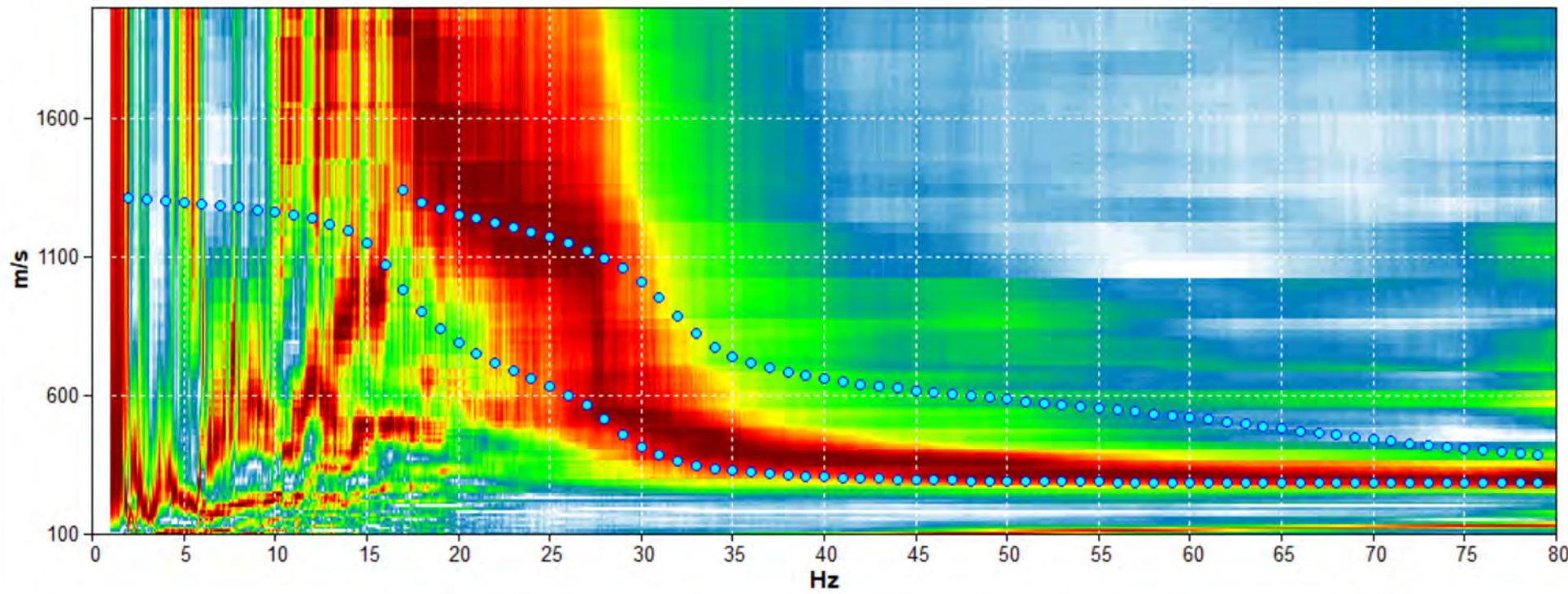
**Indagine sismica in array lineare**

Coord.: Lat. 41.100059° N - Lon. 9.234249° E (WGS-84)

**Comune di Luogosanto (SS)**

**Indagine sismica  
Re.Mi. L02a**

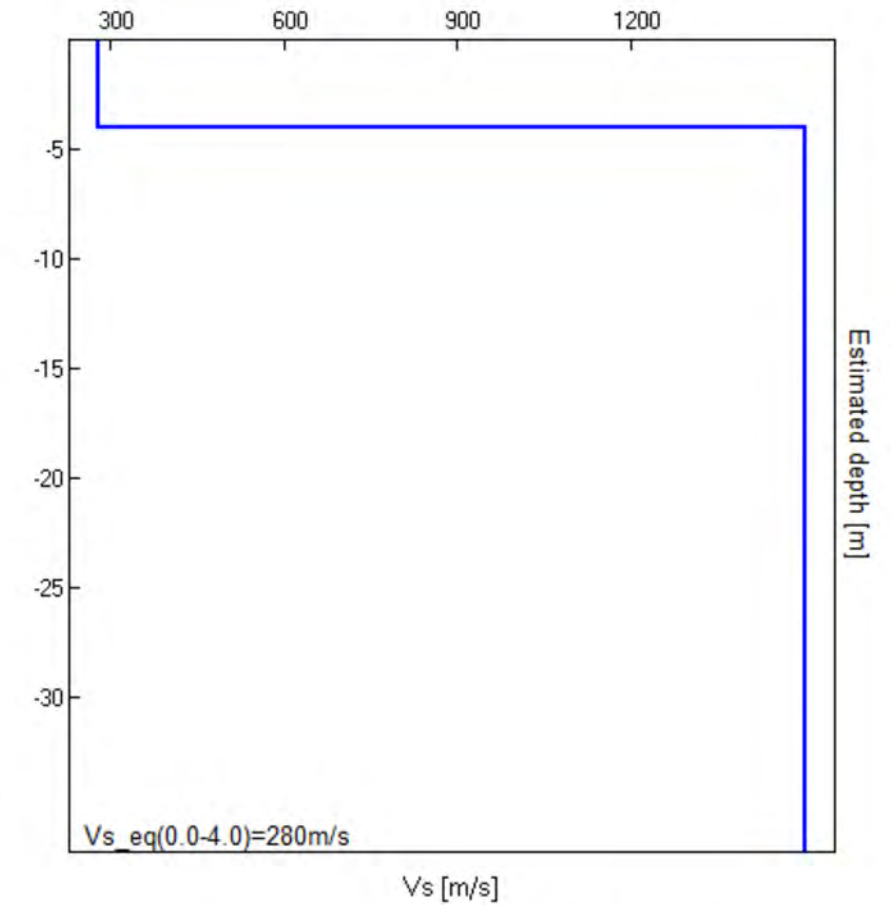
**Tav. 15**



**Spettro di velocità e curve sintetiche da indagine sismica in array (Re.Mi.)**

Indagine sismica Re.Mi. L02b	Velocità onde di taglio [m/s]	Spessori [m]	Profondità [m]
I SISMOSTRATO	280	4	0,0 - 4,0
II SISMOSTRATO	1500	Semisp.	4,0 - Semisp.

**Modello sismo-stratigrafico interpretativo**



**Profilo verticale onde S (Vs)**

*Vs,eq calcolato dal p.c.*

0 m dal p.c.	280 m/s	<b>Categoria E</b>
--------------	---------	--------------------

Ubicazione indagine



Documentazione fotografica



**INDAGINE GEOFISICA**

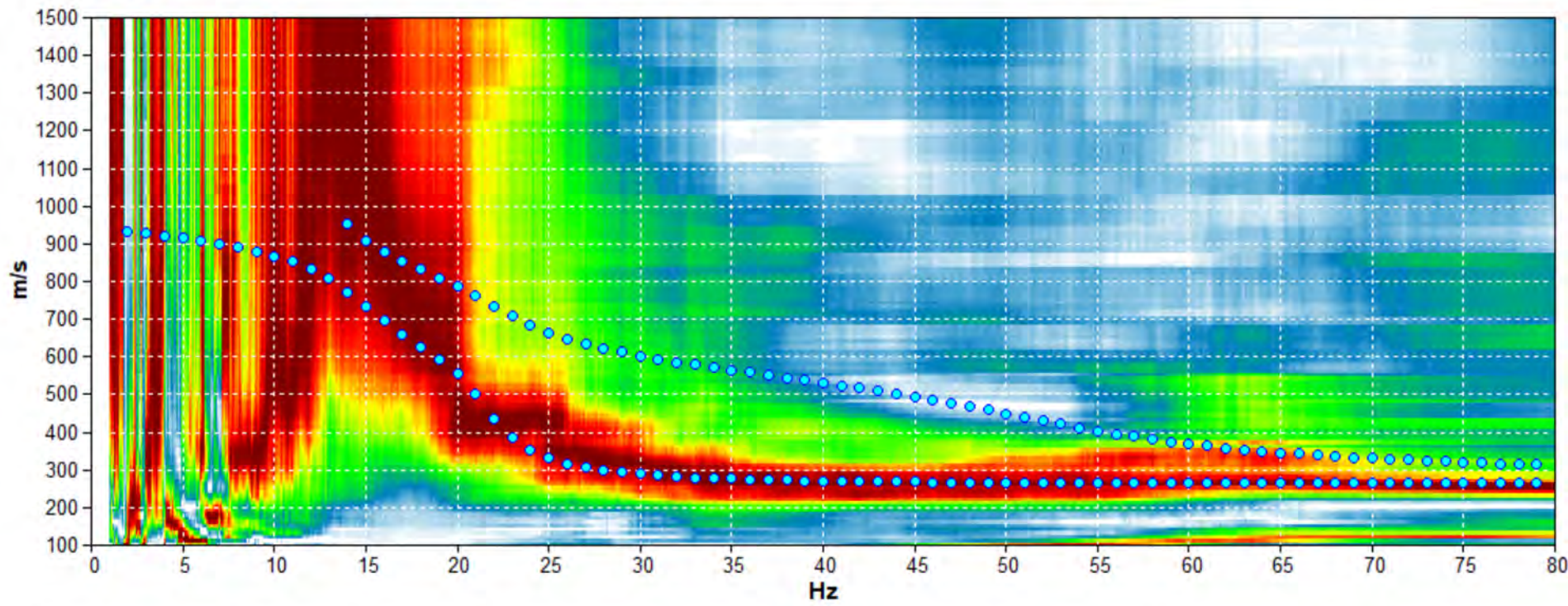
**Indagine sismica in array lineare**

Coord.: Lat. 41.097455° N - Lon. 9.239188° E (WGS-84)

**Comune di Luogosanto (SS)**

**Indagine sismica  
Re.Mi. L02b**

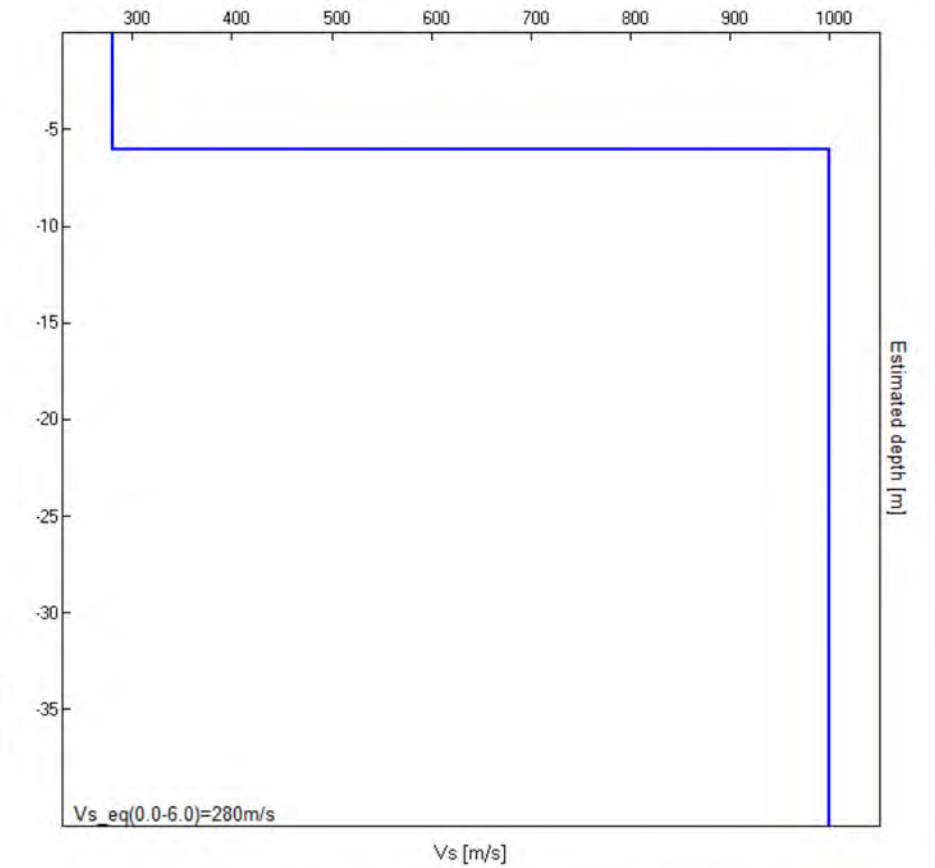
**Tav. 16**



**Spettro di velocità e curve sintetiche da indagine sismica in array (Re.Mi.)**

Indagine sismica Re.Mi. L07	Velocità onde di taglio [m/s]	Spessori [m]	Profondità [m]
I SISMOSTRATO	280	6,0	0,0 - 6,0
II SISMOSTRATO	1000	Semisp.	6,0 - Semisp.

**Modello sismo-stratigrafico interpretativo**



**Profilo verticale onde S (Vs)**

*Vs,eq calcolato dal p.c.*

0 m dal p.c.	280 m/s	<b>Categoria E</b>
--------------	---------	--------------------

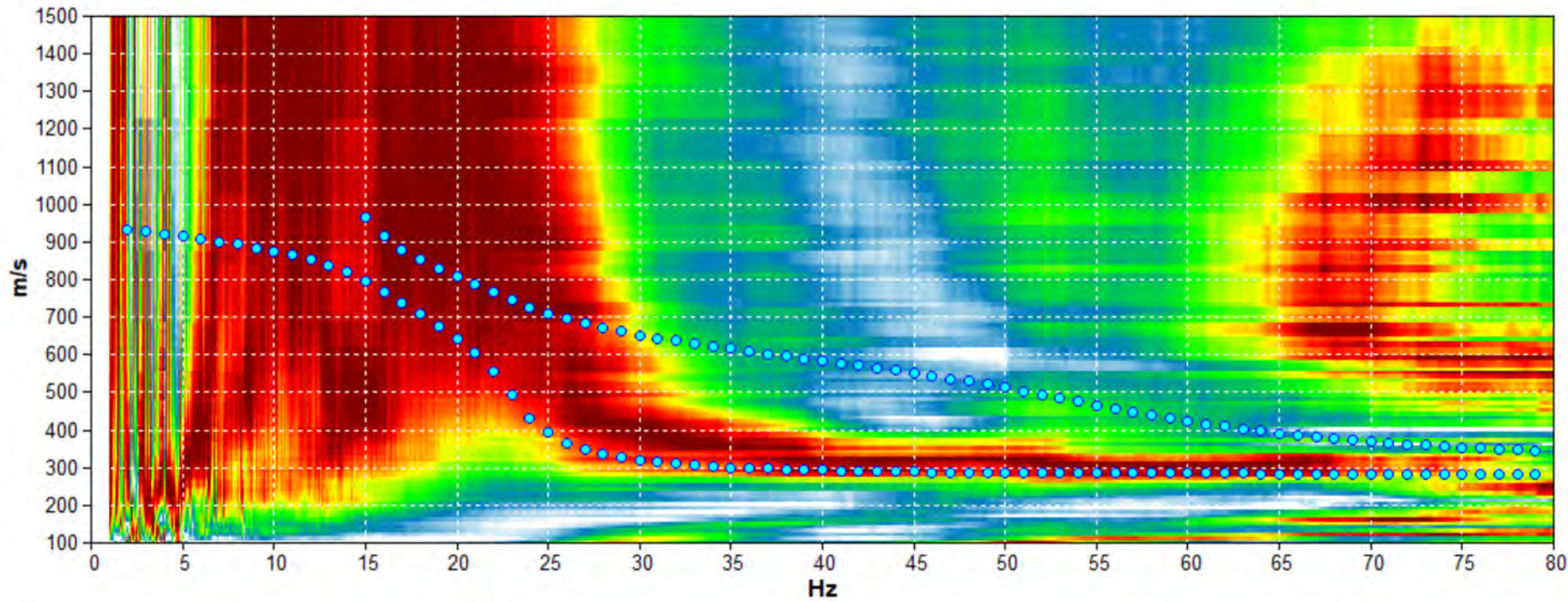
**INDAGINE GEOFISICA**

Indagine sismica in array lineare

Comune di Luogosanto (SS)

**Indagine sismica  
Re.Mi. L07**

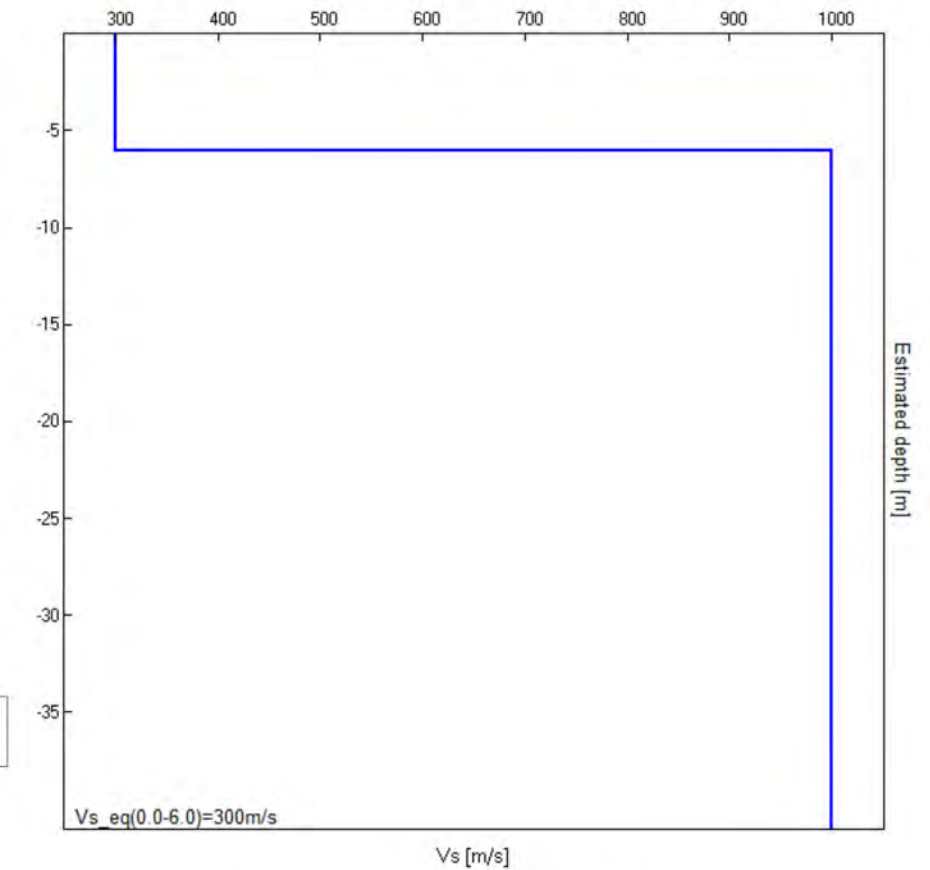
Tav. 17



**Spettro di velocità e curve sintetiche da indagine sismica in array (Re.Mi.)**

Indagine sismica Re.Mi. L09	Velocità onde di taglio [m/s]	Spessori [m]	Profondità [m]
I SISMOSTRATO	300	6,0	0,0 - 6,0
II SISMOSTRATO	1000	Semisp.	6,0 - Semisp.

**Modello sismo-stratigrafico interpretativo**



**Profilo verticale onde S (Vs)**

*Vs,eq calcolato dal p.c.*

0 m dal p.c.

300 m/s

**Categoria E**

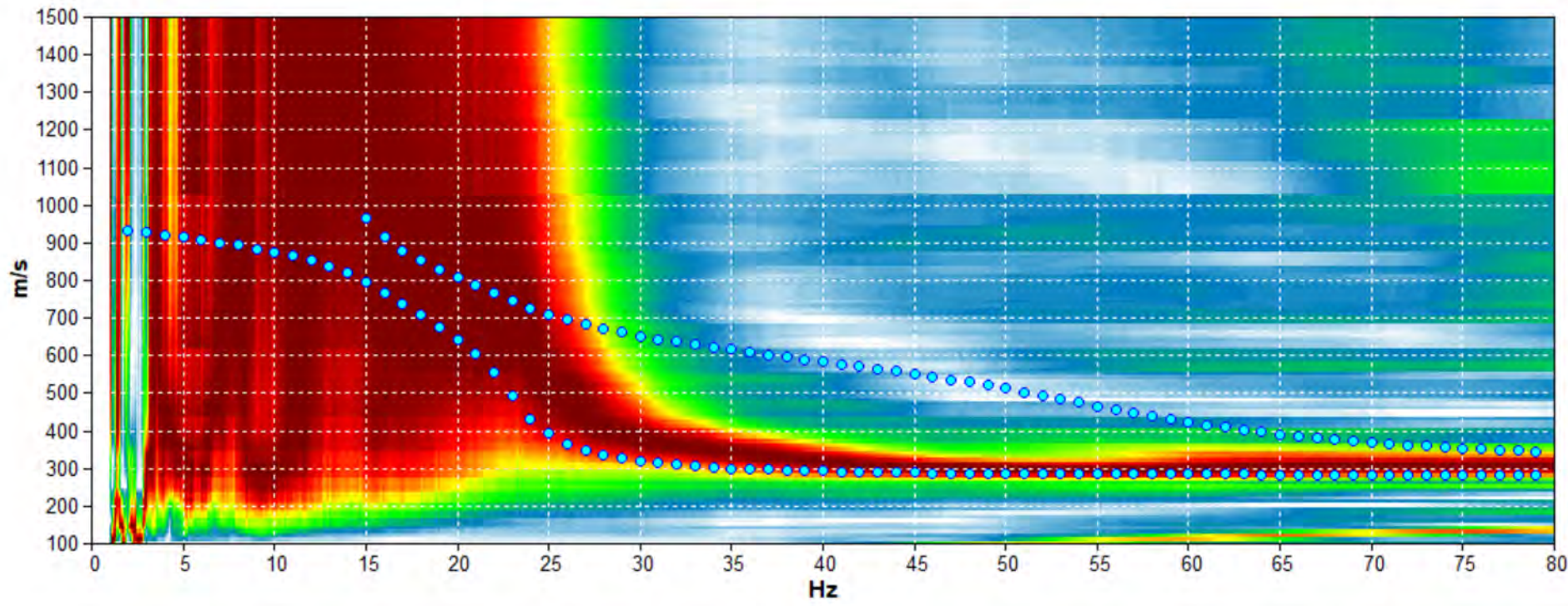
**INDAGINE GEOFISICA**

Indagine sismica in array lineare

Comune di Luogosanto (SS)

**Indagine sismica  
Re.Mi. L\_09**

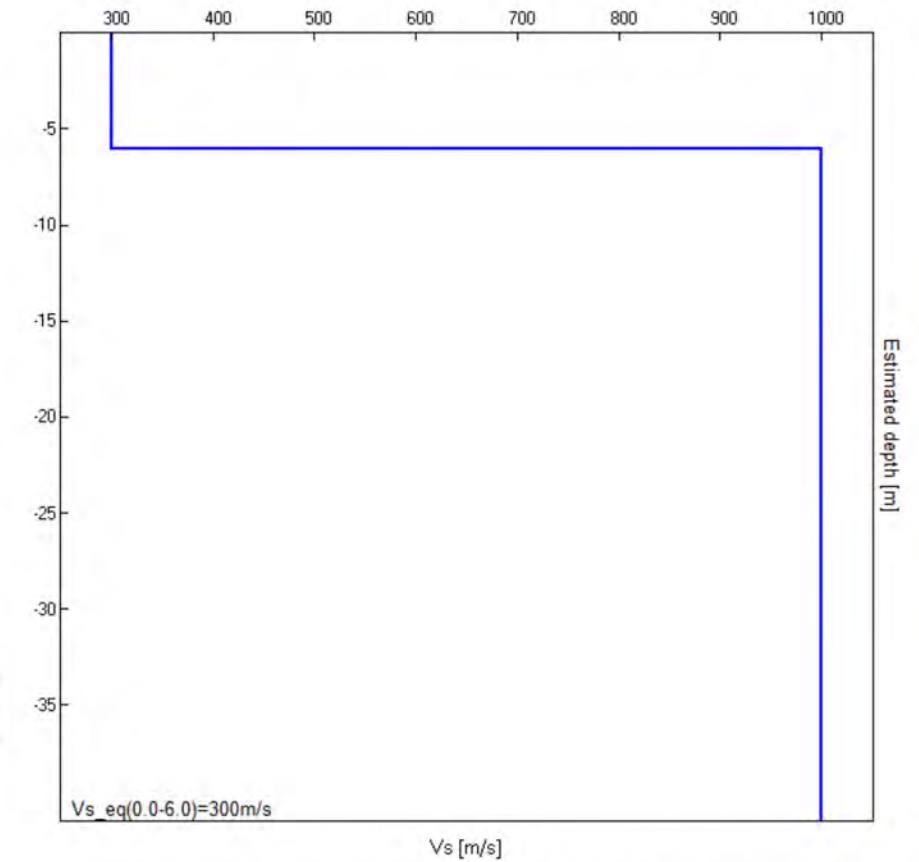
Tav. 18



**Spettro di velocità e curve sintetiche da indagine sismica in array (Re.Mi.)**

Indagine sismica Re.Mi. L10	Velocità onde di taglio [m/s]	Spessori [m]	Profondità [m]
I SISMOSTRATO	300	6,0	0,0 - 6,0
II SISMOSTRATO	1000	Semisp.	6,0 - Semisp.

**Modello sismo-stratigrafico interpretativo**



**Profilo verticale onde S (Vs)**

*Vs,eq calcolato dal p.c.*

0 m dal p.c.	300 m/s	<b>Categoria E</b>
--------------	---------	--------------------

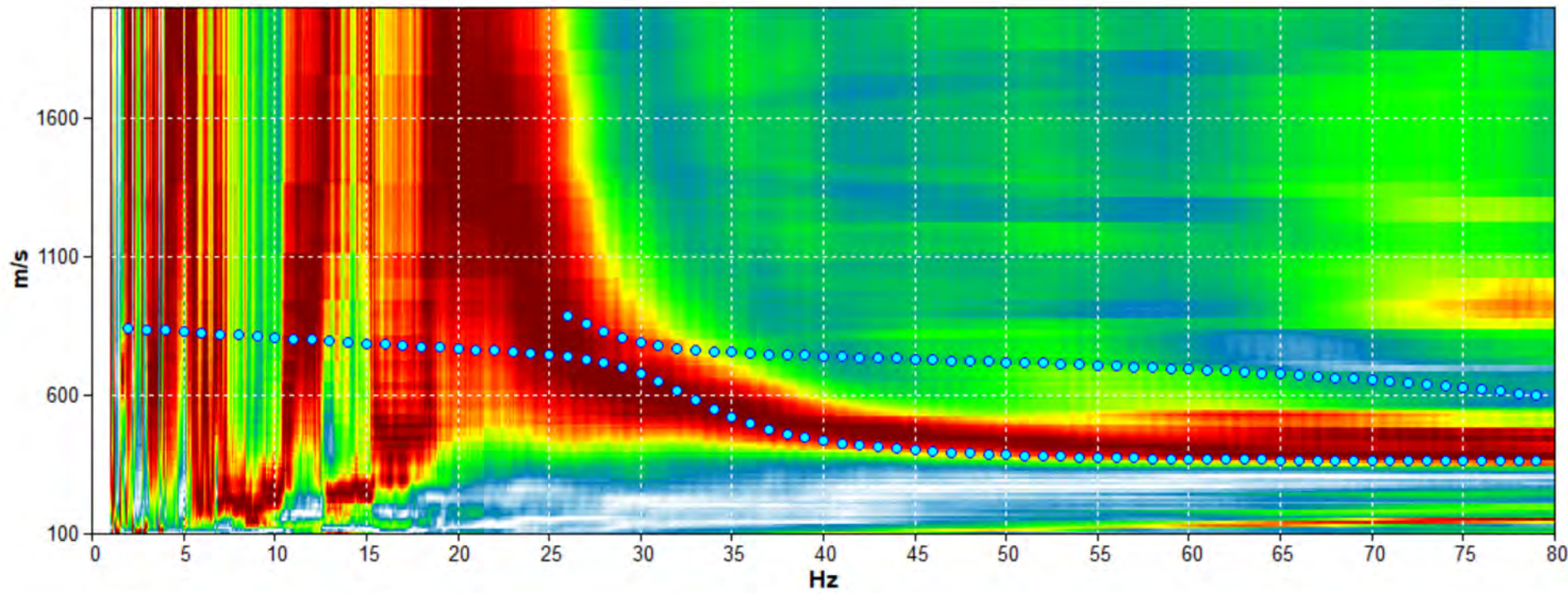
**INDAGINE GEOFISICA**

Indagine sismica in array lineare

Comune di Luogosanto (SS)

**Indagine sismica  
Re.Mi. L\_10**

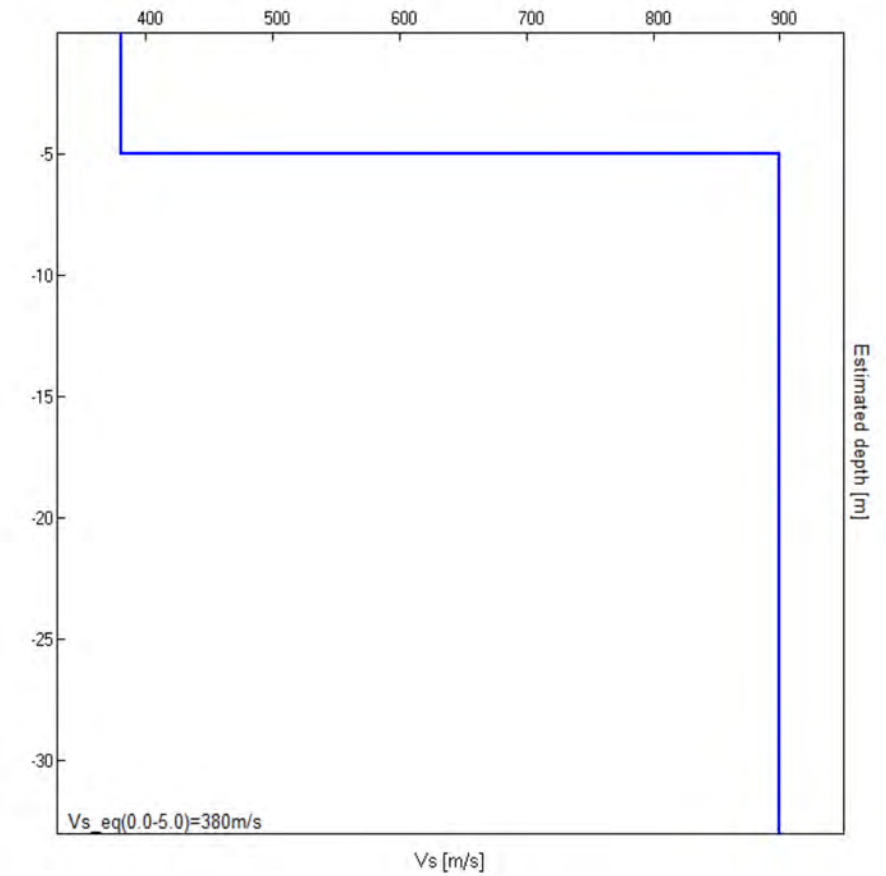
Tav. 19



**Spettro di velocità e curve sintetiche da indagine sismica in array (Re.Mi.)**

Indagine sismica Re.Mi. L11	Velocità onde di taglio [m/s]	Spessori [m]	Profondità [m]
I SISMOSTRATO	380	5	0,0 - 5,0
II SISMOSTRATO	900	Semisp.	5,0 - Semisp.

**Modello sismo-stratigrafico interpretativo**



**Profilo verticale onde S (Vs)**

*Vs,eq calcolato dal p.c.*

0 m dal p.c.	380 m/s	<b>Categoria B</b>
--------------	---------	--------------------

Ubicazione indagine



Documentazione fotografica



**INDAGINE GEOFISICA**

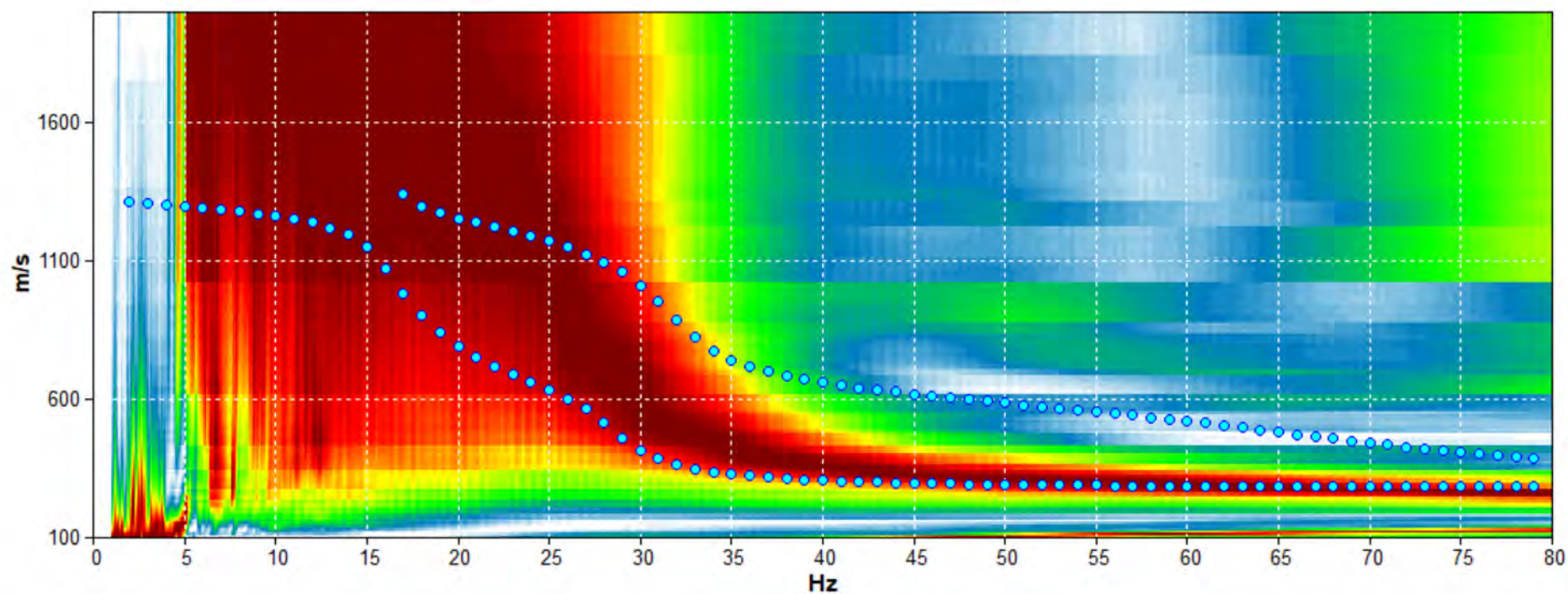
**Indagine sismica in array lineare**

Coord.: Lat. 41.100066° N - Lon. 9.282531° E (WGS-84)

**Comune di Luogosanto (SS)**

**Indagine sismica  
Re.Mi. L11**

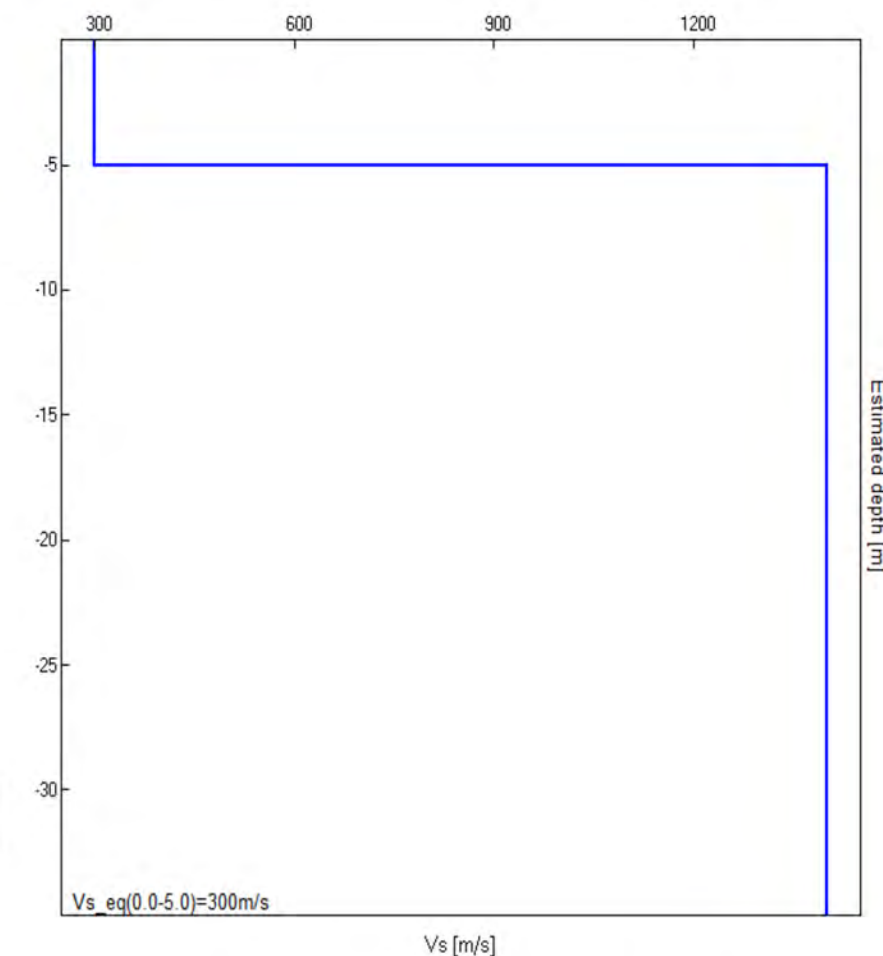
**Tav. 20**



**Spettro di velocità e curve sintetiche da indagine sismica in array (Re.Mi.)**

Indagine sismica Re.Mi. L12	Velocità onde di taglio [m/s]	Spessori [m]	Profondità [m]
I SISMOSTRATO	300	5	0,0 - 5,0
II SISMOSTRATO	1400	Semisp.	5,0 - Semisp.

**Modello sismo-stratigrafico interpretativo**

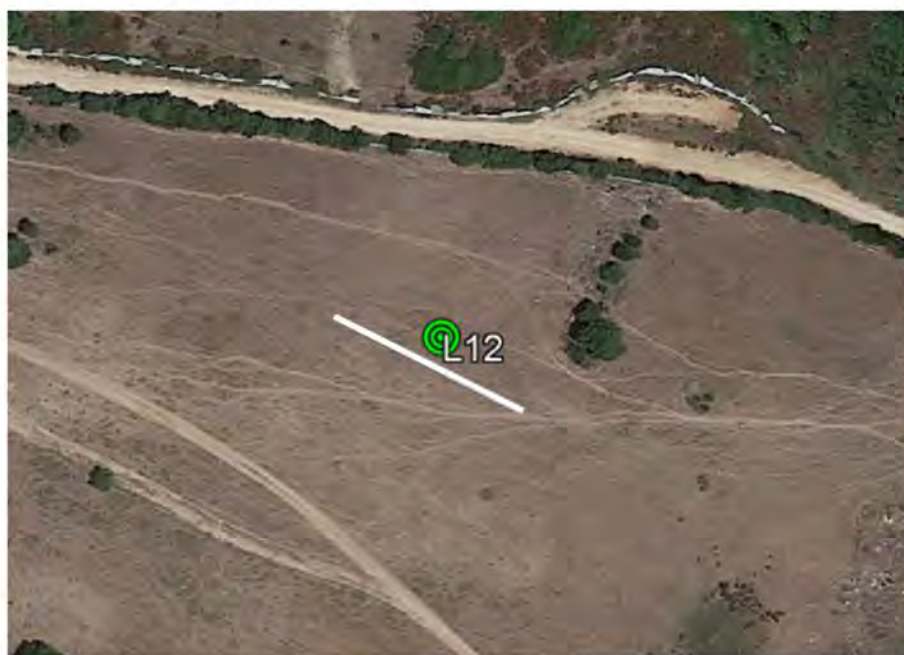


**Profilo verticale onde S (Vs)**

*Vs,eq calcolato dal p.c.*

0 m dal p.c.	300 m/s	<b>Categoria E</b>
--------------	---------	--------------------

Ubicazione indagine



Documentazione fotografica



**INDAGINE GEOFISICA**

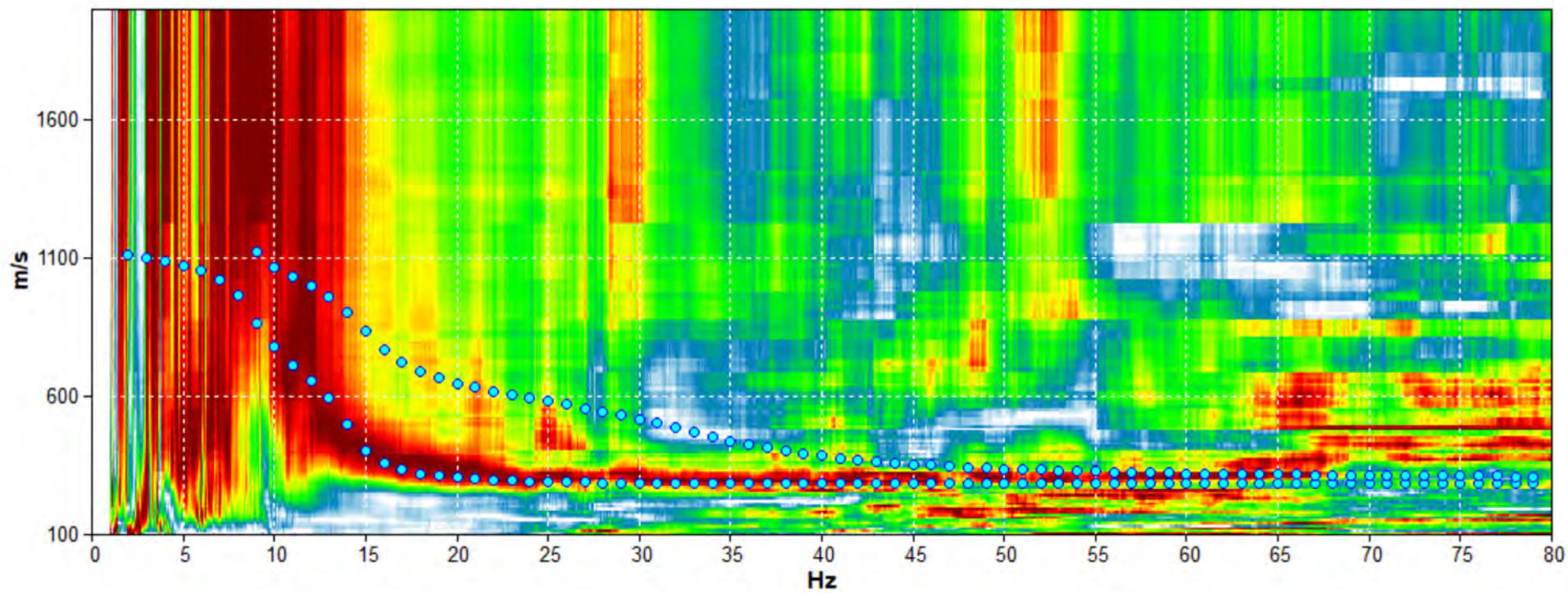
**Indagine sismica in array lineare**

Coord.: Lat. 41.102574° N - Lon. 9.279255° E (WGS-84)

**Comune di Luogosanto (SS)**

**Indagine sismica  
Re.Mi. L12**

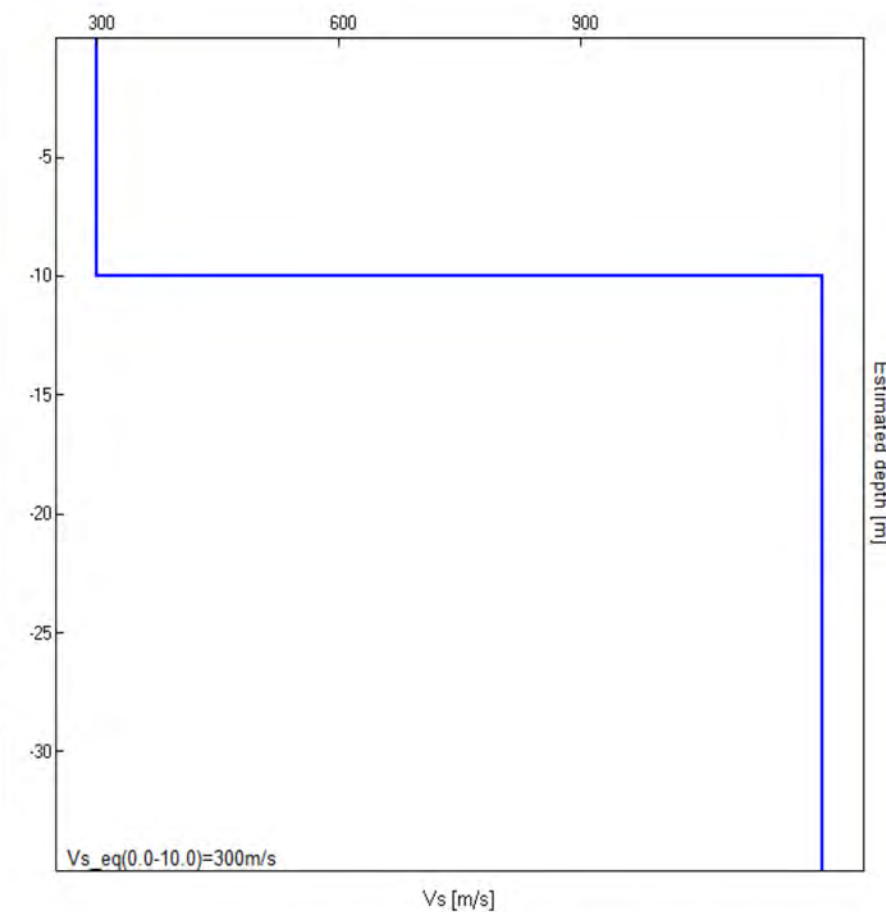
**Tav. 21**



**Spettro di velocità e curve sintetiche da indagine sismica in array (Re.Mi.)**

Indagine sismica Re.Mi. L13	Velocità onde di taglio [m/s]	Spessori [m]	Profondità [m]
I SISMOSTRATO	300	10	0,0 - 10,0
II SISMOSTRATO	1200	Semisp.	10,0 - Semisp.

**Modello sismo-stratigrafico interpretativo**



**Profilo verticale onde S (Vs)**

*Vs,eq calcolato dal p.c.*

0 m dal p.c.	300 m/s	<b>Categoria E</b>
--------------	---------	--------------------

Ubicazione indagine



Documentazione fotografica



**INDAGINE GEOFISICA**

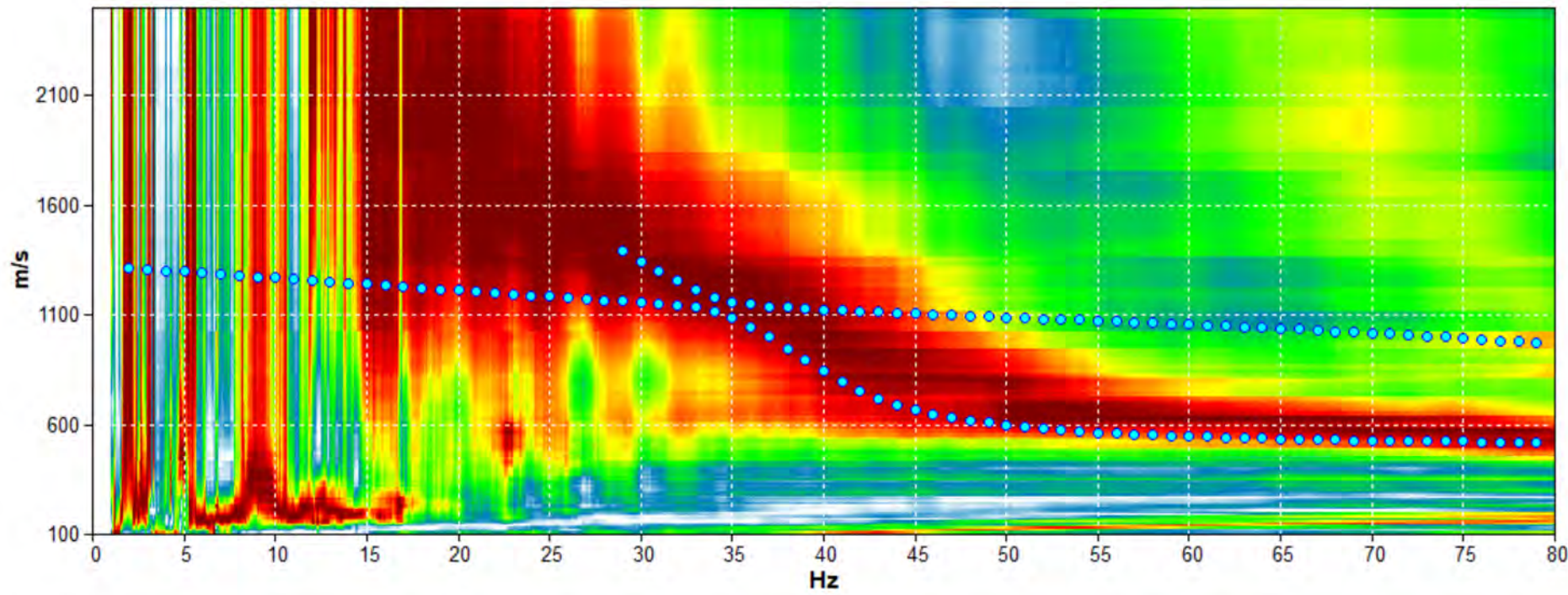
**Indagine sismica in array lineare**

Coord.: Lat. 41.102503° N - Lon. 9.289890° E (WGS-84)

Comune di Luogosanto (SS)

**Indagine sismica  
Re.Mi. L13**

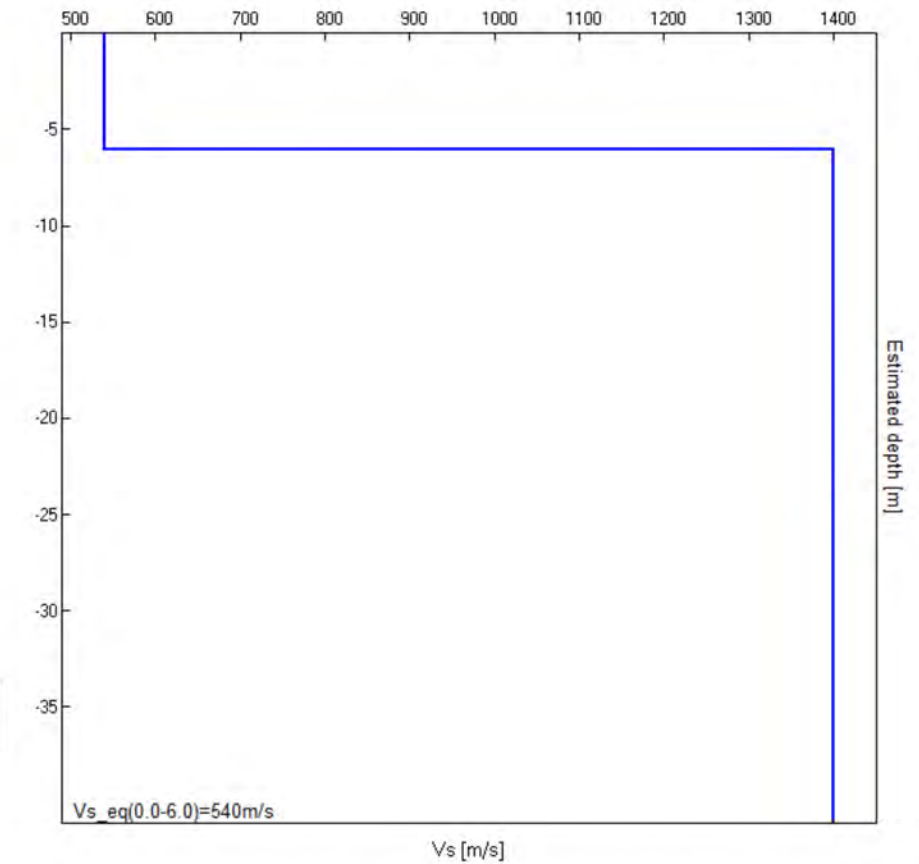
Tav. 22



**Spettro di velocità e curve sintetiche da indagine sismica in array (Re.Mi.)**

Indagine sismica Re.Mi. A	Velocità onde di taglio [m/s]	Spessori [m]	Profondità [m]
I SISMOSTRATO	540	6,0	0,0 - 6,0
II SISMOSTRATO	1400	Semisp.	6,0 - Semisp.

**Modello sismo-stratigrafico interpretativo**



**Profilo verticale onde S (Vs)**

*Vs,eq calcolato dal p.c.*

0 m dal p.c.	540 m/s	<b>Categoria B</b>
--------------	---------	--------------------

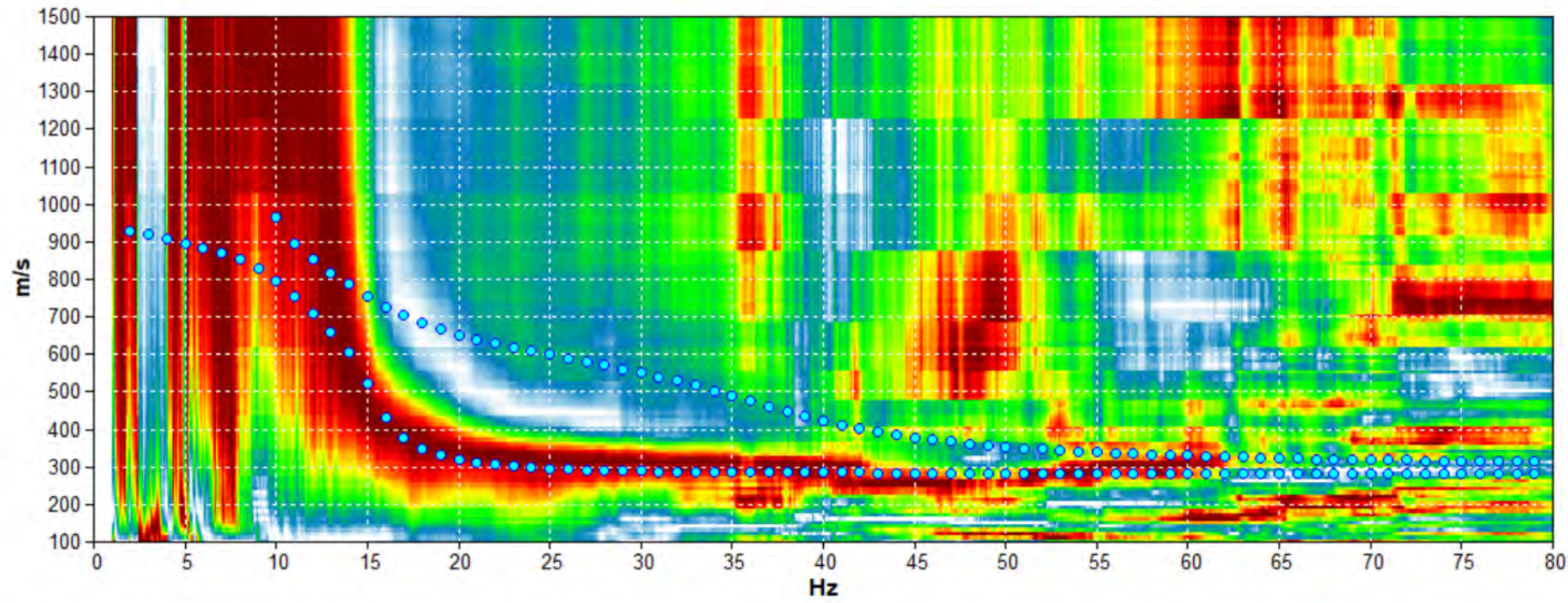
**INDAGINE GEOFISICA**

Indagine sismica in array lineare

Comune di Luogosanto (SS)

**Indagine sismica  
Re.Mi. A**

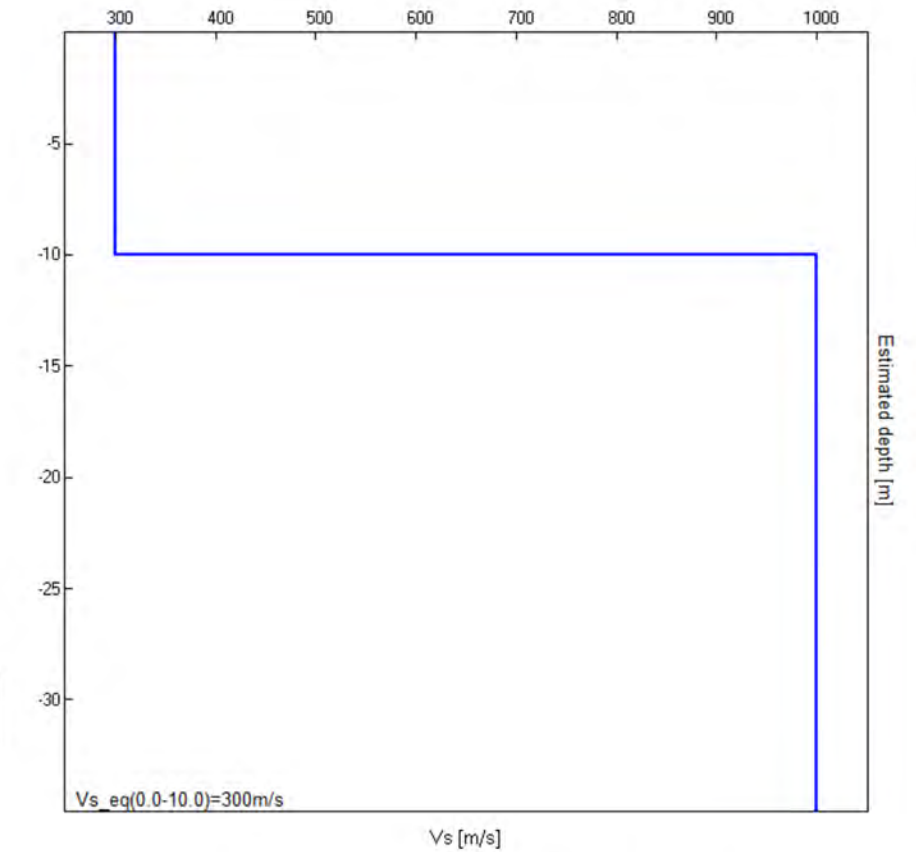
Tav. 23



**Spettro di velocità e curve sintetiche da indagine sismica in array (Re.Mi.)**

Indagine sismica Re.Mi. B	Velocità onde di taglio [m/s]	Spessori [m]	Profondità [m]
I SISMOSTRATO	300	10,0	0,0 - 10,0
II SISMOSTRATO	1000	Semisp.	10,0 - Semisp.

**Modello sismo-stratigrafico interpretativo**



**Profilo verticale onde S (Vs)**

*Vs,eq calcolato dal p.c.*

0 m dal p.c.	300 m/s	<b>Categoria E</b>
--------------	---------	--------------------

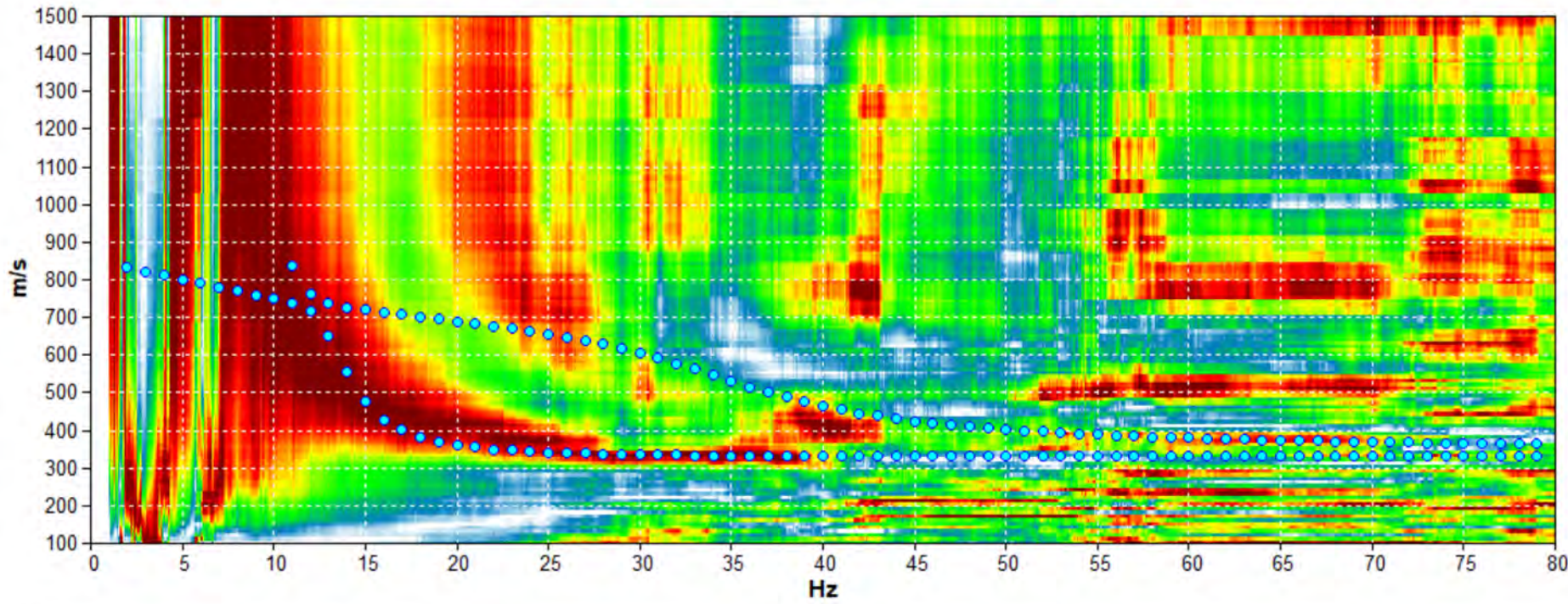
**INDAGINE GEOFISICA**

Indagine sismica in array lineare

Comune di Luogosanto (SS)

**Indagine sismica  
Re.Mi. B**

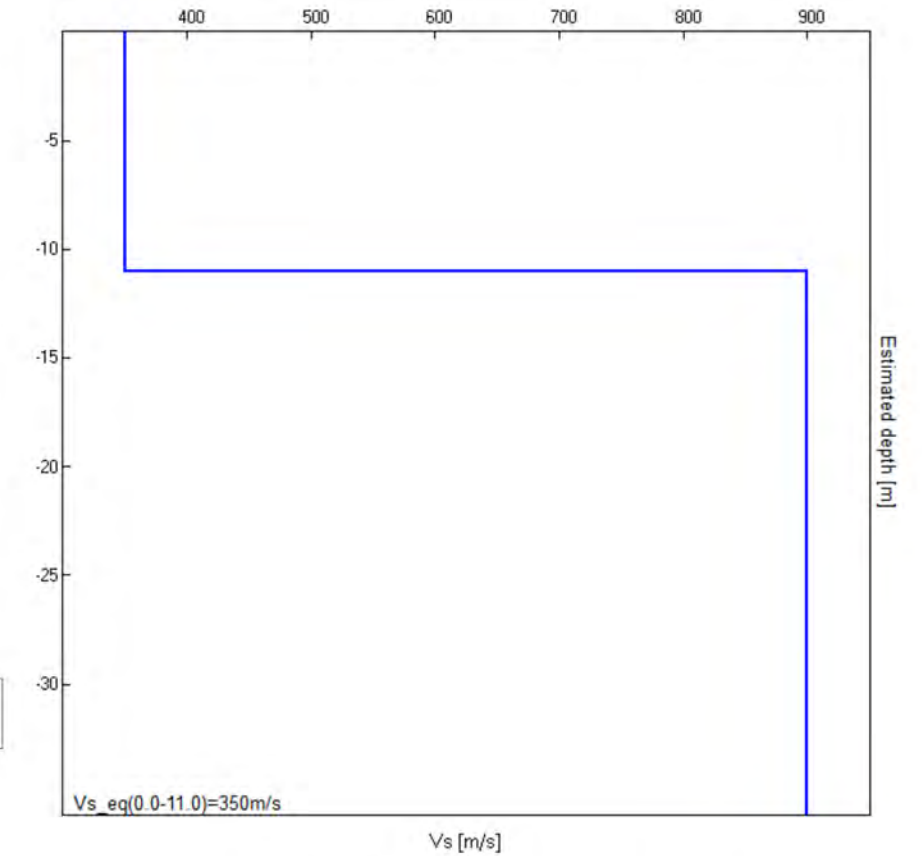
Tav. 24



**Spettro di velocità e curve sintetiche da indagine sismica in array (Re.Mi.)**

Indagine sismica Re.Mi. C	Velocità onde di taglio [m/s]	Spessori [m]	Profondità [m]
I SISMOSTRATO	350	11,0	0,0 - 11,0
II SISMOSTRATO	900	Semisp.	11,0 - Semisp.

**Modello sismo-stratigrafico interpretativo**



**Profilo verticale onde S (Vs)**

*Vs,eq calcolato dal p.c.*

0 m dal p.c.

350 m/s

**Categoria E**

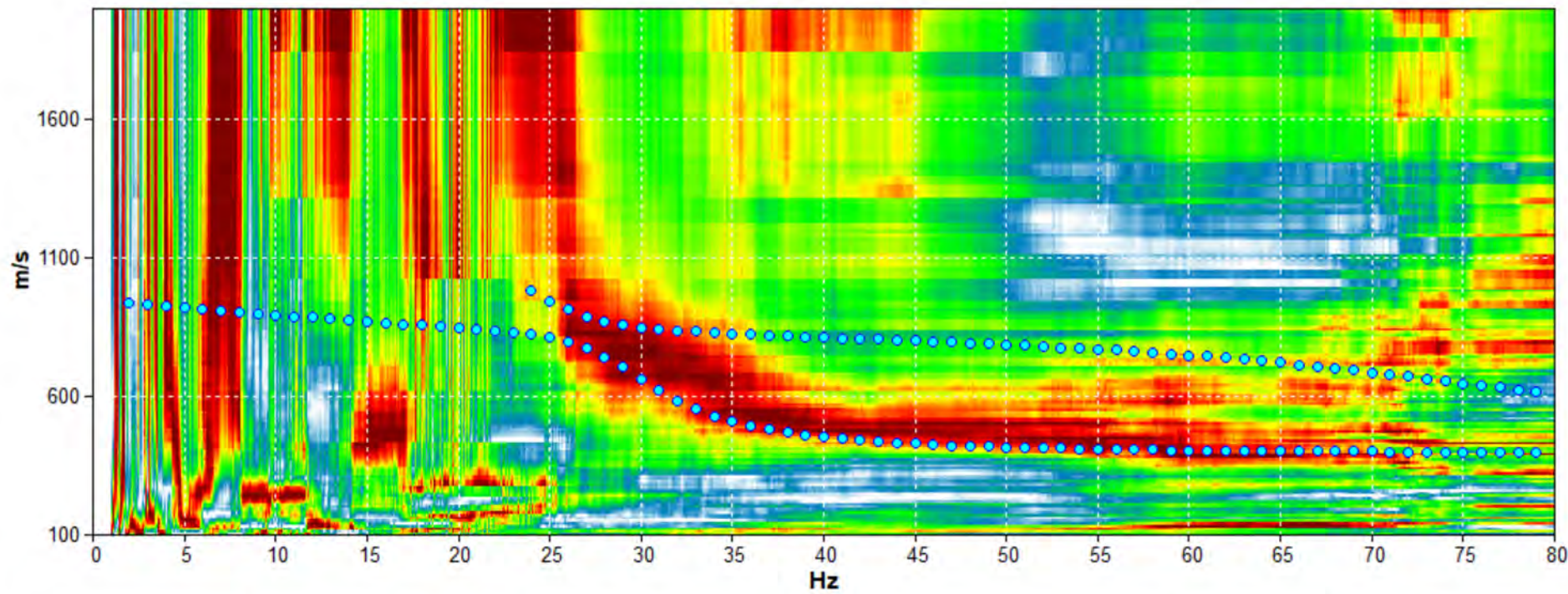
**INDAGINE GEOFISICA**

Indagine sismica in array lineare

Comune di Luogosanto (SS)

**Indagine sismica  
Re.Mi. C**

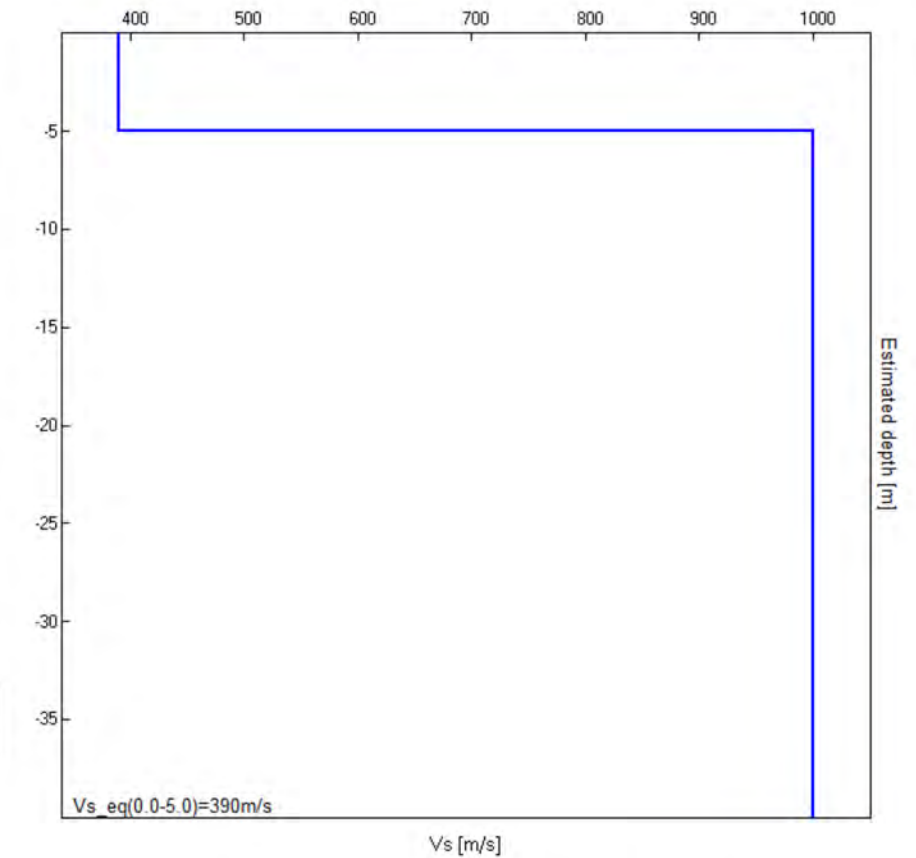
Tav. 25



**Spettro di velocità e curve sintetiche da indagine sismica in array (Re.Mi.)**

Indagine sismica Re.Mi. D	Velocità onde di taglio [m/s]	Spessori [m]	Profondità [m]
I SISMOSTRATO	390	5,0	0,0 - 5,0
II SISMOSTRATO	1000	Semisp.	5,0 - Semisp.

**Modello sismo-stratigrafico interpretativo**



**Profilo verticale onde S (Vs)**

*Vs,eq calcolato dal p.c.*

0 m dal p.c.	390 m/s	<b>Categoria B</b>
--------------	---------	--------------------

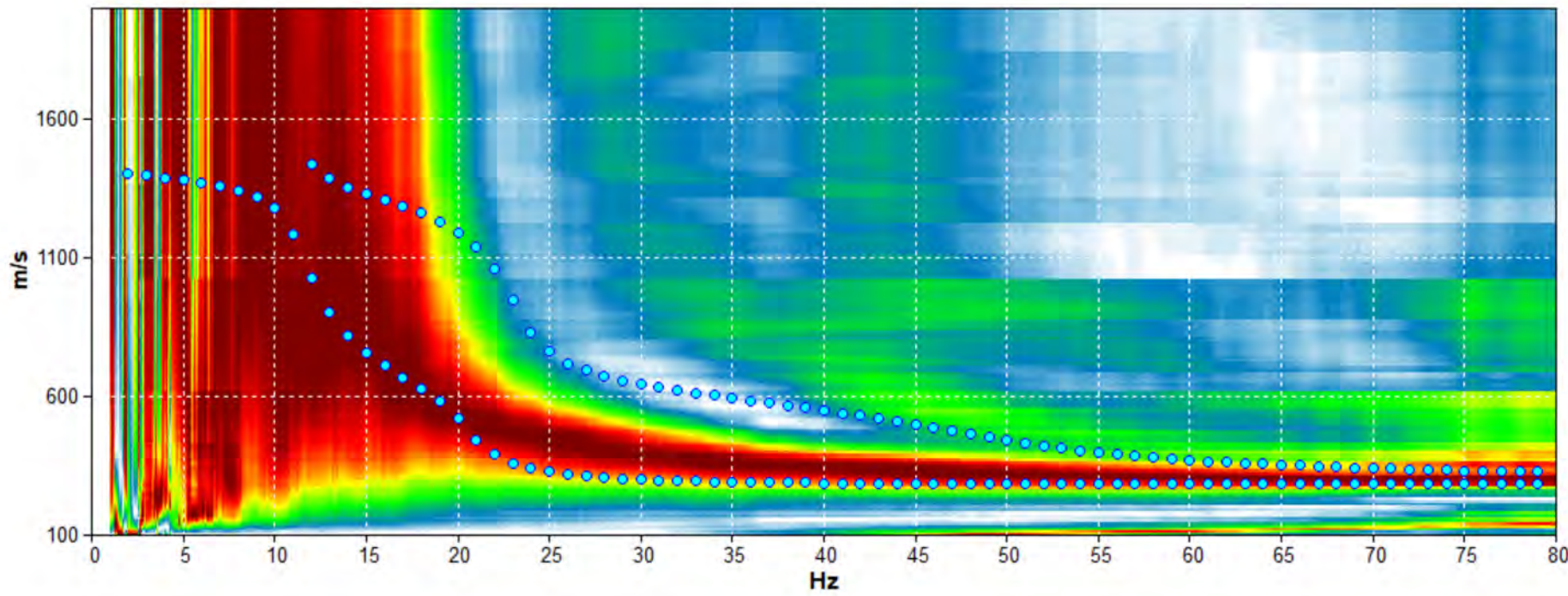
**INDAGINE GEOFISICA**

Indagine sismica in array lineare

Comune di Luogosanto (SS)

**Indagine sismica  
Re.Mi. D**

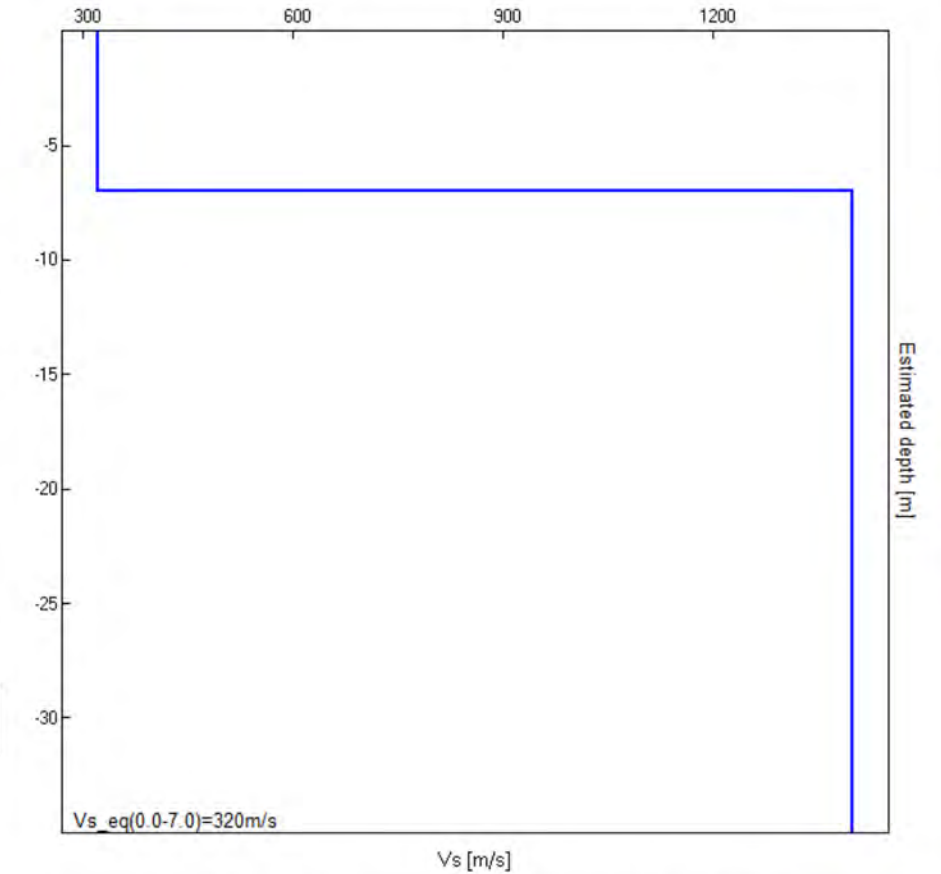
Tav. 26



**Spettro di velocità e curve sintetiche da indagine sismica in array (Re.Mi.)**

Indagine sismica Re.Mi. E	Velocità onde di taglio [m/s]	Spessori [m]	Profondità [m]
I SISMOSTRATO	320	7,0	0,0 - 7,0
II SISMOSTRATO	1400	Semisp.	7,0 - Semisp.

**Modello sismo-stratigrafico interpretativo**



**Profilo verticale onde S (Vs)**

*Vs,eq calcolato dal p.c.*

0 m dal p.c.	320 m/s	<b>Categoria E</b>
--------------	---------	--------------------

**INDAGINE GEOFISICA**

Indagine sismica in array lineare

Comune di Luogosanto (SS)

**Indagine sismica  
Re.Mi. E**

Tav. 27